

Three-body coupling effects in relativistic mean field for dense matter EOS

A. Ohnishi (YITP), K. Tsubakihara (Hokkaido Univ.)

YIPQS Molecule-type workshop on
“Nuclear equation of state and hypernuclear physics”
Jan.4-31, 2013, YITP, Kyoto, Japan

- Introduction: Massive Neutron Star Puzzle
- Three-body coupling in Relativistic Mean Field
- Effects on Neutron Star Matter EOS
- Summary

K. Tsubakihara, AO, arXiv:1211.7208



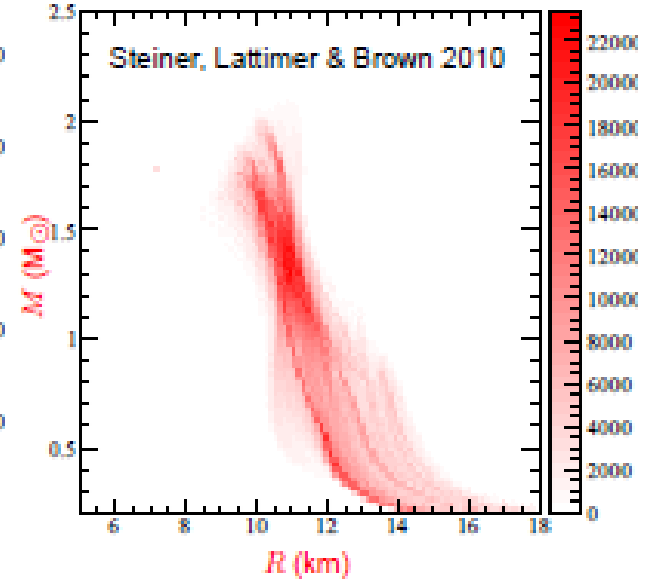
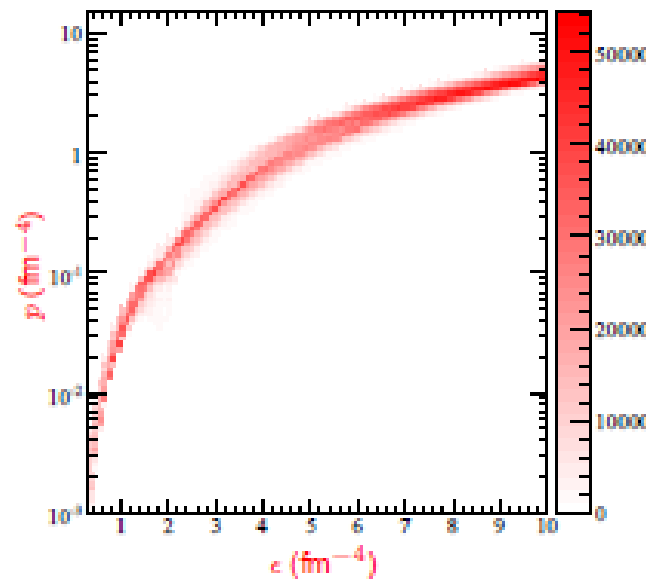
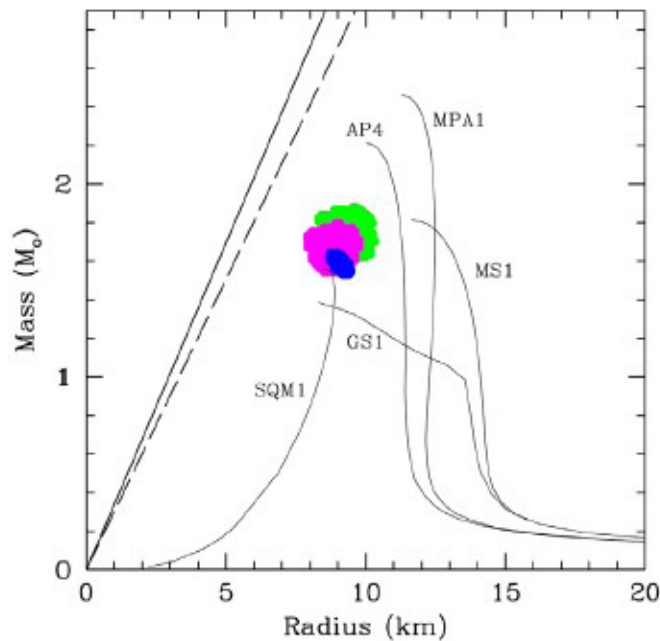
NFQCD 2010 Group photo (Jan.26) in the Astro part



NFQCD 2010, Jan.18-Mar.19, 2010, Kyoto, Japan
<http://www2.yukawa.kyoto-u.ac.jp/~nfqcd10/>
(Group photo at the Mini-Symposium on Nuclear Astrophysics, Jan.26, 2010)

Observational Neutron Star Physics

- We may have information both of M and R
→ Strong constraint on NS matter EOS
- Two important papers are published just after NFQCD2010.



Ozel, Baym & Guver,
PRD82('10)101301 [arXiv: 1002.3153]

Steiner, Lattimer, Brown, ApJ 722 (2010) 33
[arXiv:1005.0811]

Massive Neutron Star Puzzle

■ Discovery of Massive Neutron Star $1.97 \pm 0.04 M_{\odot}$ *Demorest+ (2010)*

● Naïve RMF-EOS with strange hadrons cannot support $2 M_{\odot}$ neutron star.

● G-matrix EOSs also have difficulty.

■ Proposed solutions

● Almost no hyperons or kaons in neutron stars.

Weissenborn+ (2011)

→ Needs consistency check with hypernuclear physics

● “Universal” Three-baryon repulsion

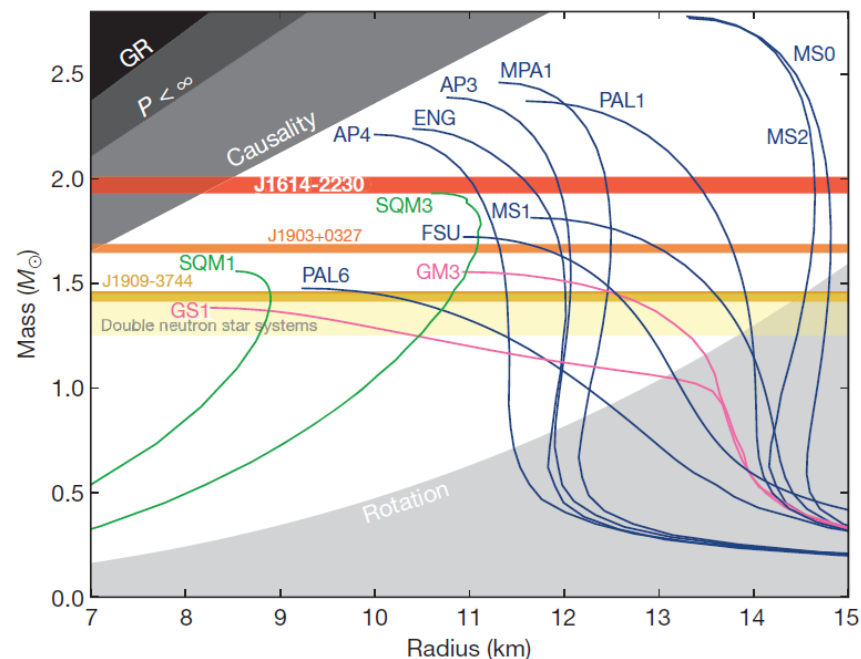
Nishizaki, Takatsuka, Yamamoto (2002)

Tsubakihara, AO, arXiv:1211.7208

● Crossover transition to quark matter

Masuda+ (2012) ;

Burgio, Baldo, Sahu, Schulze (2002)

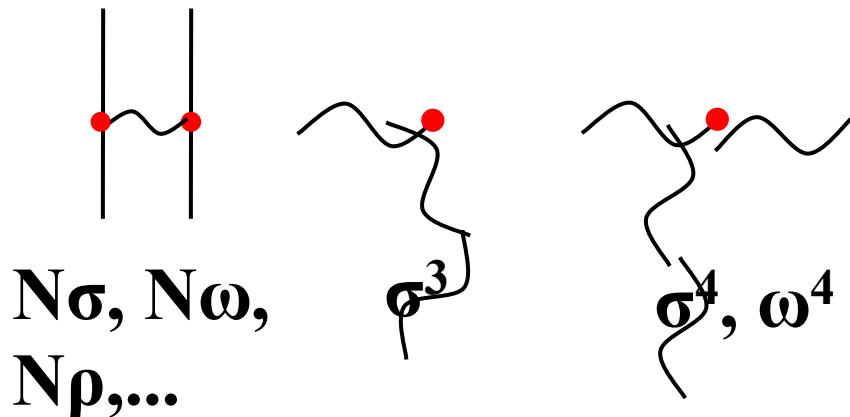


We consider three-body forces (couplings) in Relativistic Mean Field.

*Three-body couplings
in Relativistic Mean Field*

Many-body coupling in RMF (1)

- $\sigma\omega$ model *Serot, Walecka ('79, '86)*
- Strong attraction (σ) and repulsion (ω) \rightarrow Saturation + Strong LS
- EOS is too stiff ($K \sim 700$ MeV)
- Non-linear (higher order) terms of σ
Boguta, Bodmer ('77), NL1: Reinhardt+('86), NL3: Lalazissis+('97)
- Softer EOS, High precision nuclear binding energies
- Non-linear term of ω
Brockmann, Toki ('92), TM: Sugahara, Toki ('94).
- Simulates Dirac-Bruckner-Hartree-Fock results of vector potential



Many-body coupling in RMF (2)

- Three-body force from vector mass modification

Furumoto, Sakuragi, Yamamoto ('09)

- Effects on Nucleus-Nucleus Elastic Scattering

- Density-dependent coupling

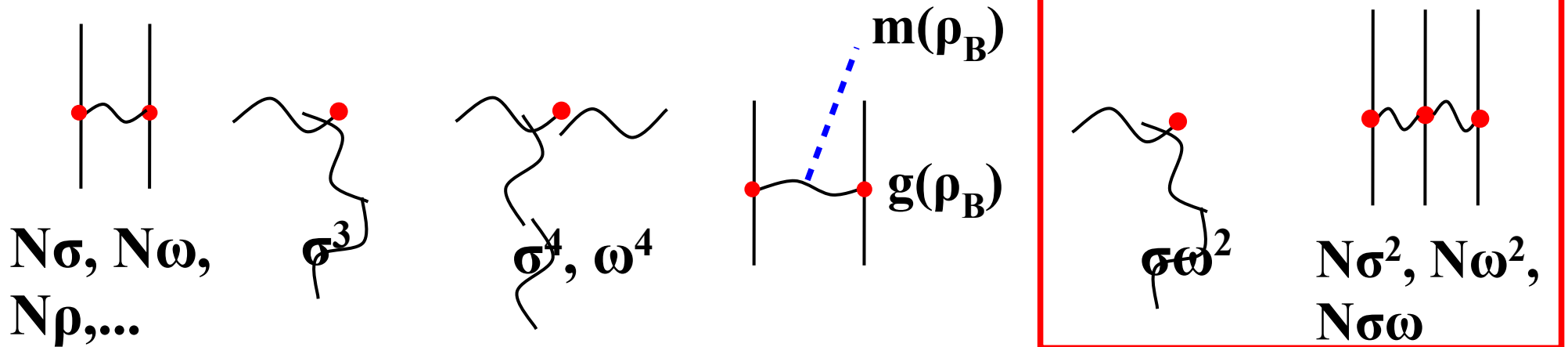
E.g. Roca-Maza+('11)

- Softer EOS, High precision nuclear binding energies

- Three-body coupling terms

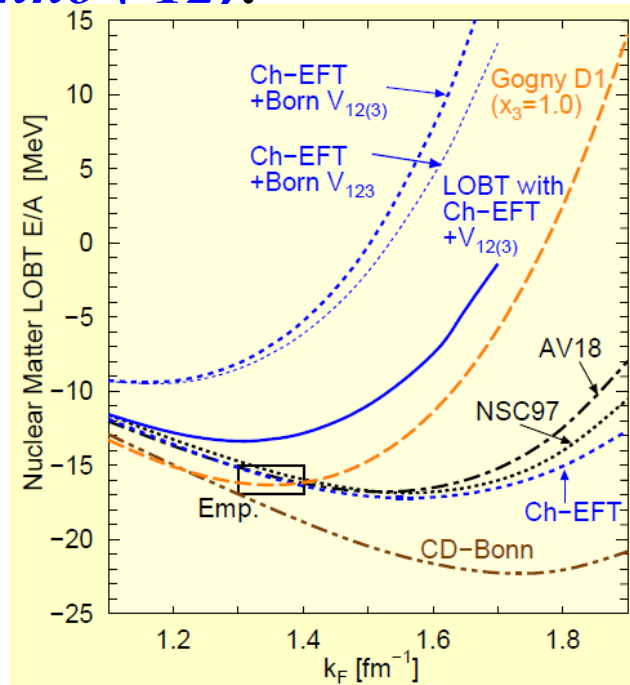
Tsubakihara, AO ('12)

- Simulate both of ρ_B dependent meson masses & ρ_B dependent coupling

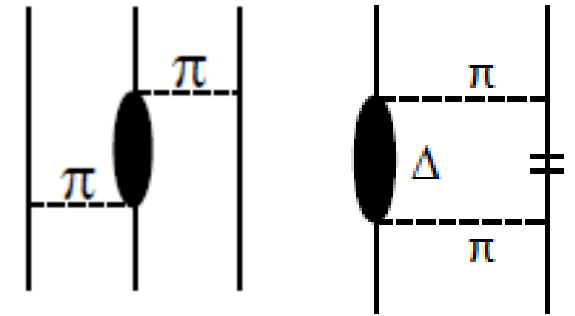


Why do we have in-medium mod. of coupling ?

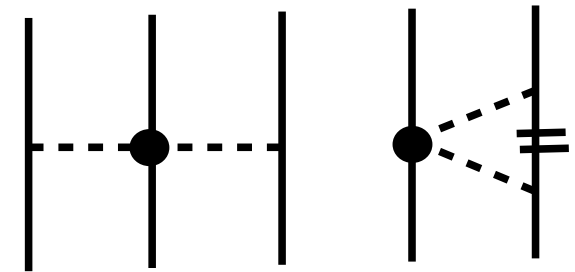
- Three-body force and ρ_B dep. coupling
- 3NF from Δ is known to be important to explain ${}^3\text{H}$ and ${}^3\text{He}$ B.E.
- 2NF from the same coupling will suffer from Pauli blocking, generating strong density dep. repulsion, and explains nuclear matter saturation. *Kohno ('12)*.



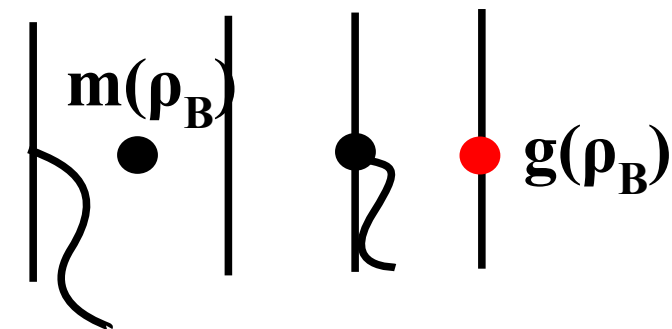
Physical Picture



χ EFT



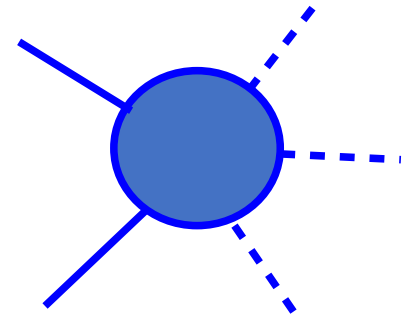
RMF



Criteria for higher order terms in Effective Lagrangian

- RMF = Effective theory to give density functional
- No need of renormalizability → How to constrain higher order terms ?

$$\mathcal{L}_{\text{int}} \sim \sum_{l,m,n,p} \frac{C_{lmnp}}{m!n!p!} \left(\frac{\bar{\psi}\Gamma\psi}{f_\pi^2\Lambda} \right)^l \left(\frac{\varphi}{f_\pi} \right)^m \left(\frac{\omega}{f_\pi} \right)^n \left(\frac{\rho}{f_\pi} \right)^p (f_\pi\Lambda)^2$$

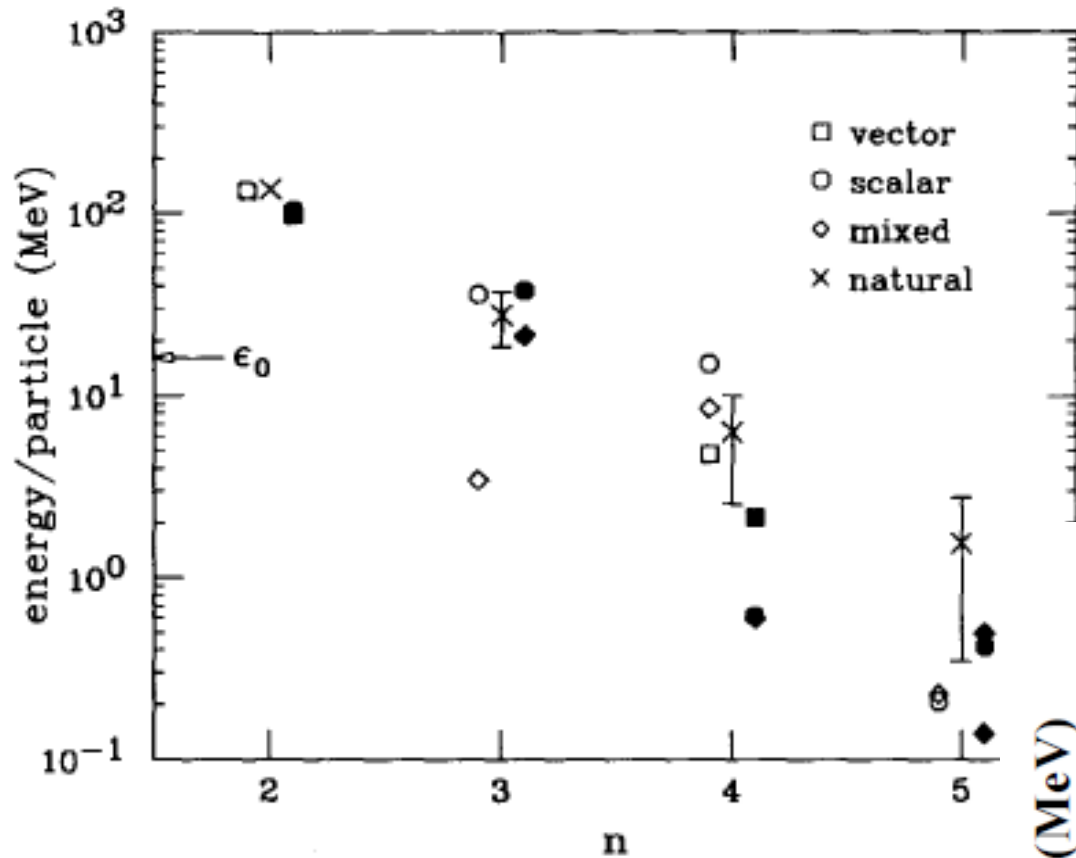


- Naive dimensional analysis (NDA) and Naturalness
Manohar, Georgi ('84); Furnstahl, Serot, Tang ('97)

- Eff. Lag. is natural when $C_{lmnp} \sim \mathcal{O}(1)$
- Assumption: Vertex appears from quark & gluon diagrams, and there is no gluon internal line (perturbative).
- *We should NOT request naturalness for $U(\sigma)$, because SSB of χ -sym. is NOT described perturbatively.*

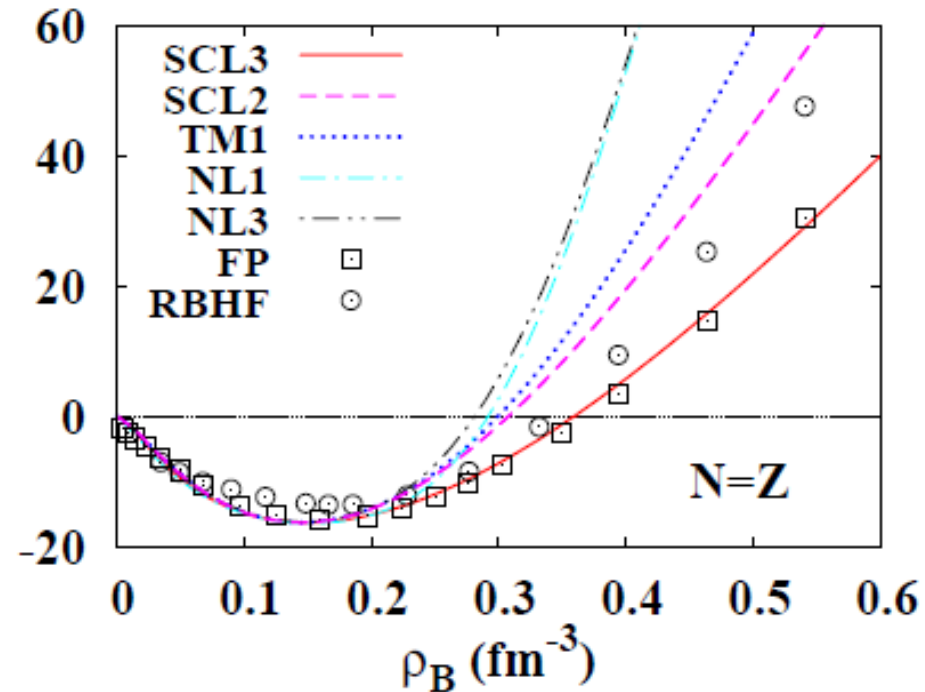
- Field redefinition: ~~No need to introduce $N_\sigma \sigma$ coupling ?~~
Furnstahl, Serot, Tang ('97)

Many-body coupling effects



Furnstahl, Serot, Tang ('97)

Higher n couplings give smaller contributions at ρ_0 , but significant differences are found at higher density.



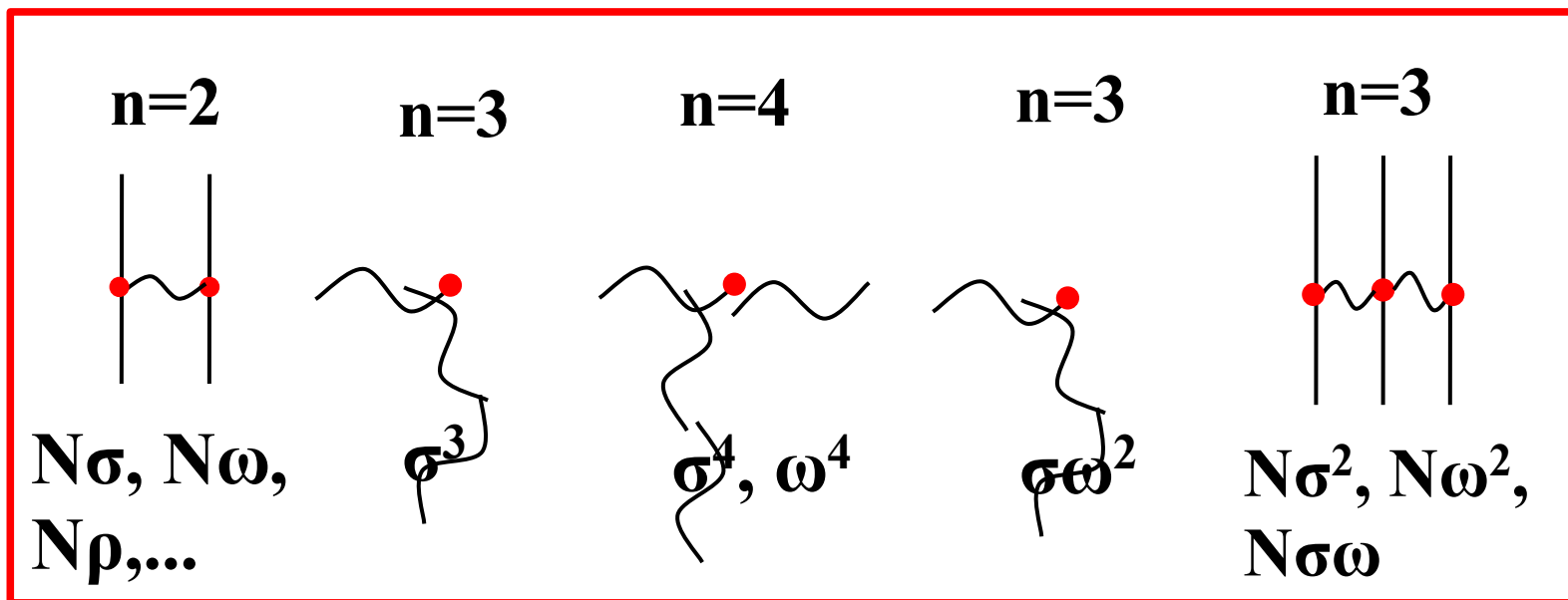
*Effects of Three-body couplings
in Nuclear & Neutron Star matter EOS*

RMF with Three-Body couplings

■ Definition of “three-body” coupling : “n=3” terms where

$$n = B/2 + M + D$$

(B: # of baryon fields, M: # of non-NG meson fields, D: # of derivatives)



■ Three-body coupling terms relevant to symmetric matter

$$\delta L = -U_\sigma(\sigma) + \frac{1}{4}c_\omega(\omega_\mu\omega^\mu)^2 - \frac{1}{2}c_{\sigma\omega}\sigma\omega_\mu\omega^\mu$$

ω mass mod.

$$- \sum_B \bar{\Psi}_B [g_{\sigma\sigma B}\sigma^2 + g_{\sigma\omega B}\sigma\omega_\mu\gamma^\mu + g_{\omega\omega B}\omega_\mu\omega^\mu]\Psi_B$$

BMM couplings

Symmetric Nuclear Matter in TB-RMF

Two parameter sets:

TB-a (Weakly repulsive 3BC)

TB-b (Stroger repulsion)

Results are compared with

SCL3 (No 3BC)

Tsubakihara+('10)

Density dep. of vector potential in relativistic BHF (RBHF)

is simulated in

$\omega^4, \sigma\omega\omega, B\sigma\omega$

terms.

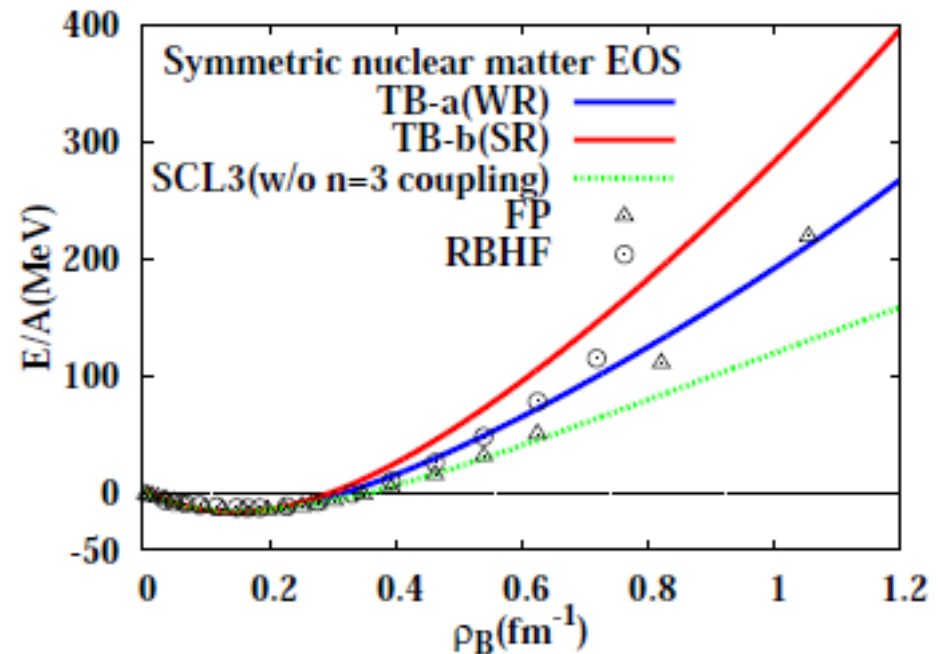
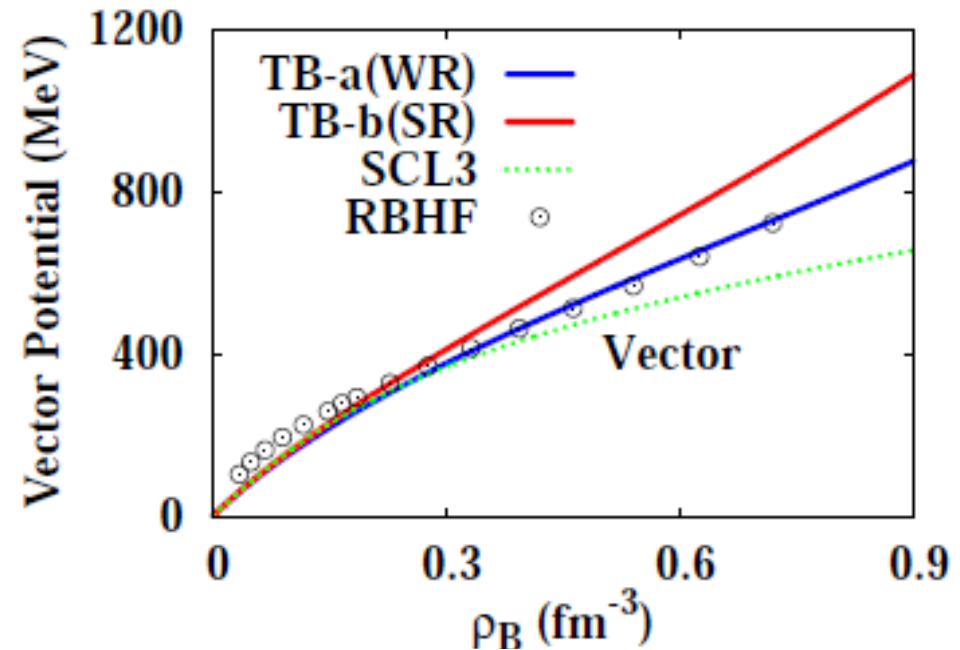
Symmetric Matter EOS

SCL3 ~ FP

TB-a ~ RBHF

TB-b > RBHF

Tsubakihara, AO ('12)



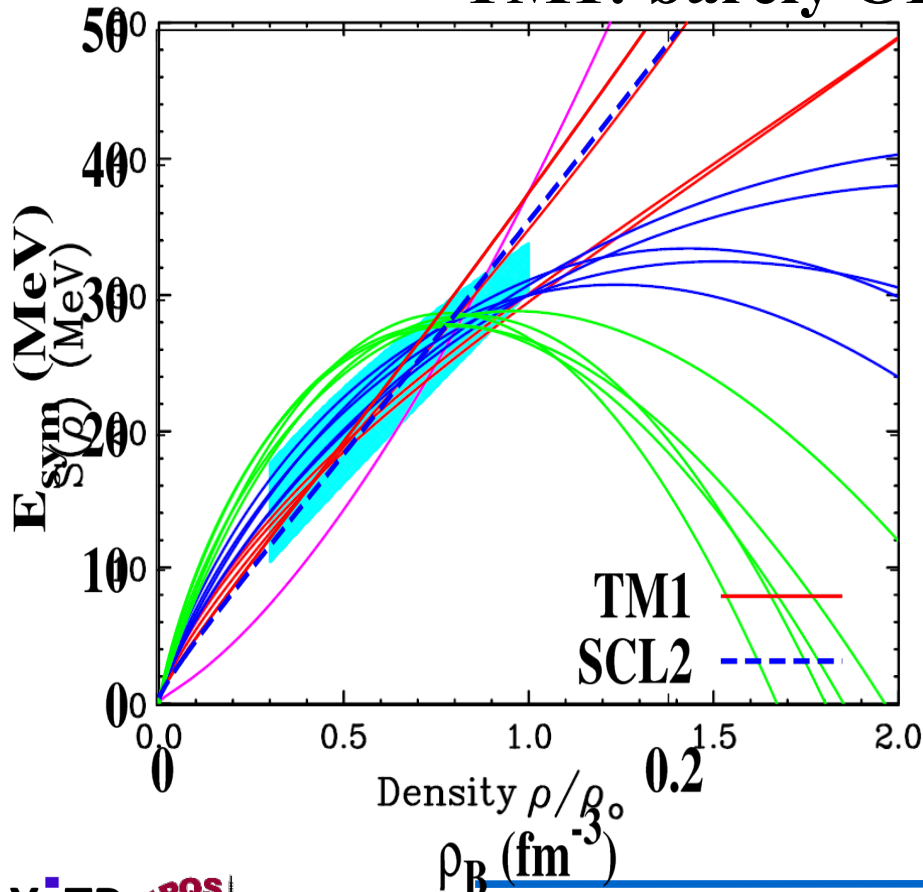
Symmetry Energy in 3BC-RMF

■ Only with n=2 terms, Symmetry energy is almost linear in density,
 → L=3 S, High Sym. E at high density (c.f. Hu's question 2 years ago)

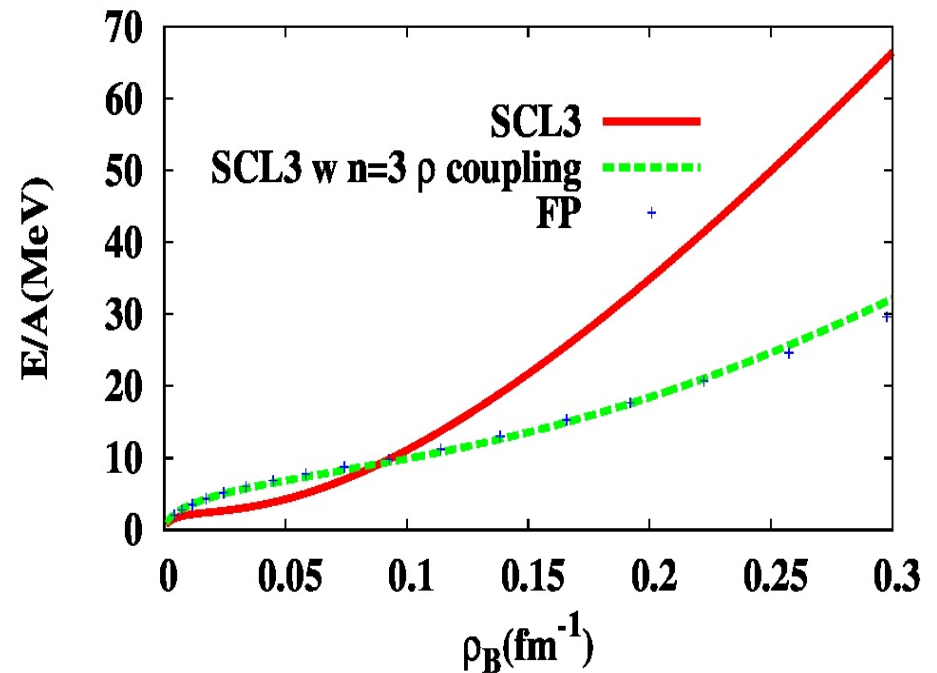
■ 3BC with ρ mesons → We CAN control ρ_B dependence of Sym. E.

$$\delta L = -\frac{1}{2} c_{\sigma\omega} \sigma \rho_{\mu}^a \rho_a^{\mu} - \sum_B \bar{\Psi}_B [g_{\sigma\rho B} \sigma \rho_{\mu}^a \tau_a \gamma^{\mu}] \Psi_B$$

TM1: barely OK



Pure neutron matter EOS



Tsubakihara et al., in prep.

FP: Friedman, Pandharipande ('81)

Normal Nuclei and Hypernuclei

Normal nuclei (n, p)

- B.E./A is well reproduced, especially in the large mass region.

- Both TB-a and TB-b underestimate the LS strength.

(We may need to prepare parameter sets for lighter nuclei.

e.g. TM1 and TM2)

Hypernuclei

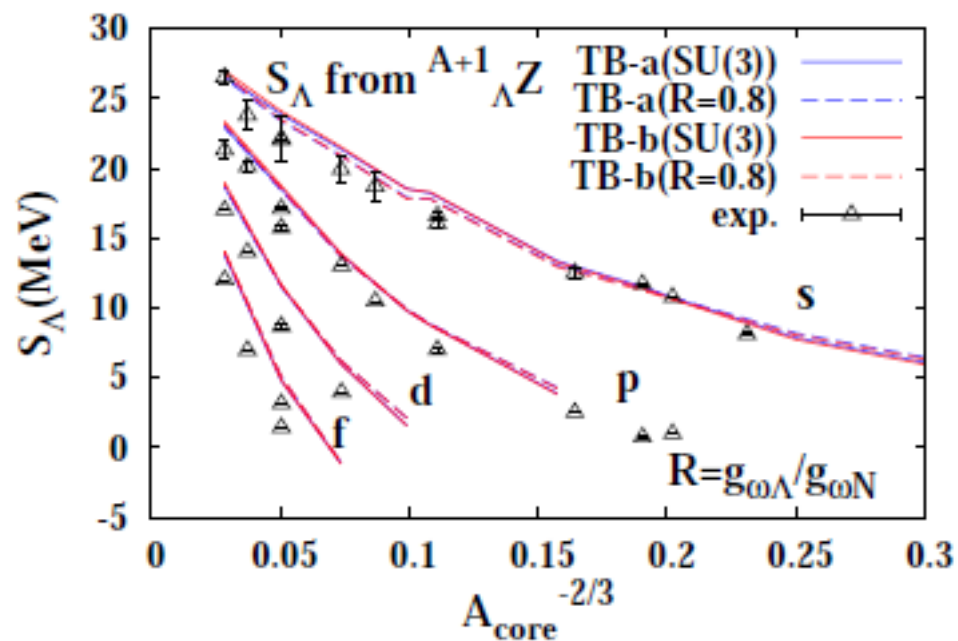
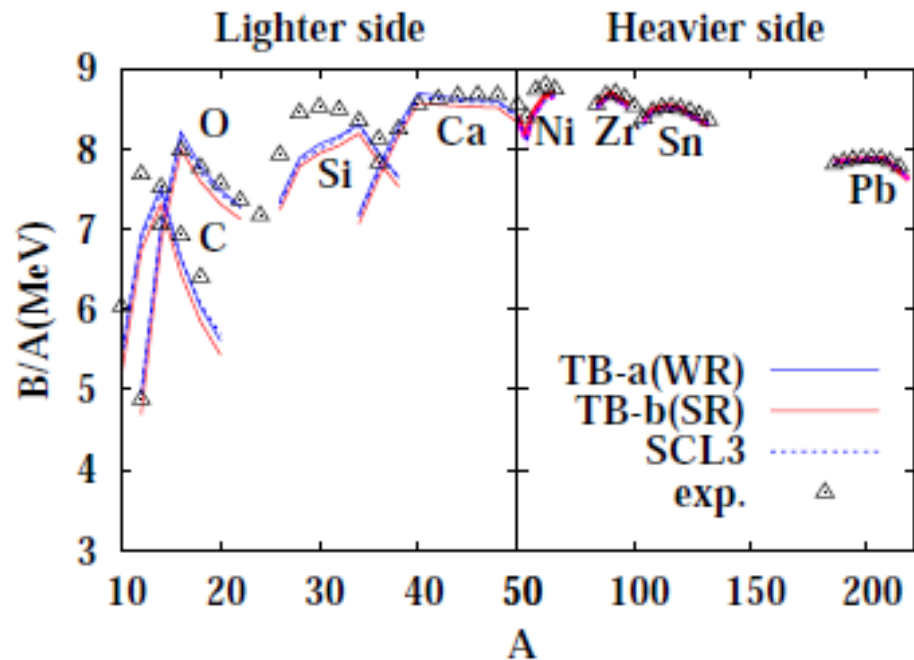
- $\Lambda\omega$ coupling is modified from SU(6) value,

$$R = g_{\omega\Lambda} / g_{\omega N} \sim 2/3 \text{ (SU(6))}$$

$$\sim 0.8 \text{ (present)}$$

- S_Λ is more sensitive to R rather than to $3BC$.

Isubakihara, AO ('12)



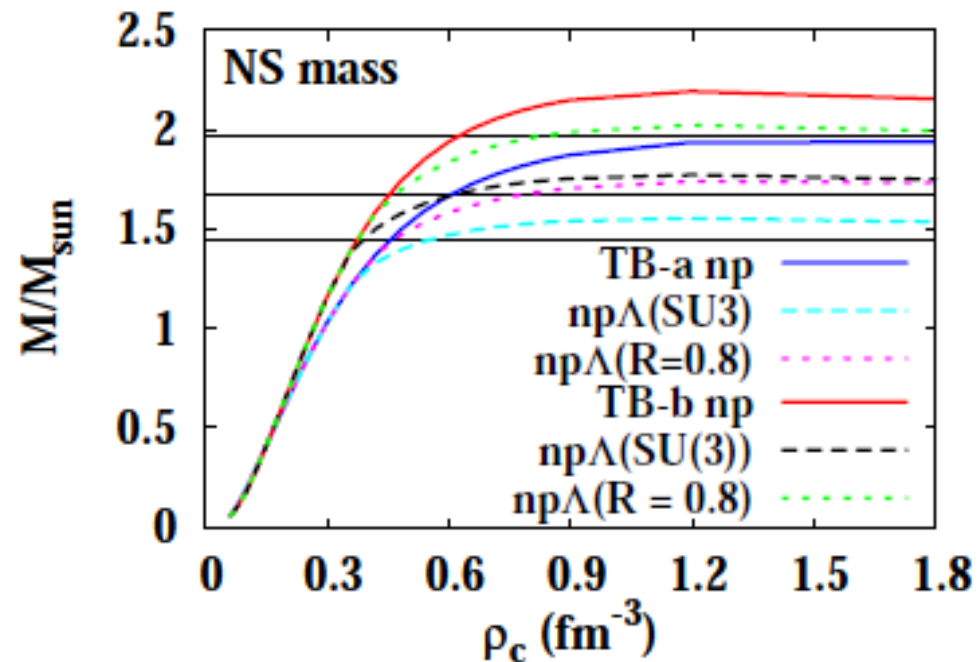
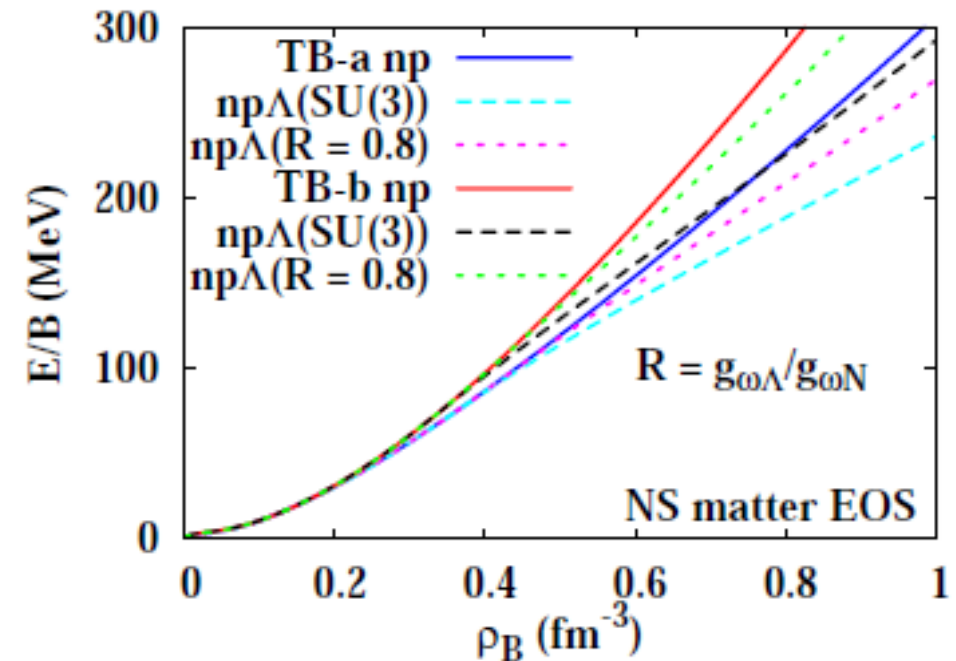
Neutron Star matter EOS

■ Neutron star matter
 = Cold ($T=0$), Charge neutral,
 β equilibrium, ν -less matter

■ Large effects of 3BC terms
 at high density.

■ With $R \sim 0.8$, we can support
 $2 M_{\odot}$ neutron star with hyperons
 included.

→ We have (at least several)
 solutions of the massive
 neutron star puzzle.



Tsubakihara, AO ('12)

How can we fix 3BC terms ?

■ Many *free* parameters in 3BC-RMF. How can we fix it ?

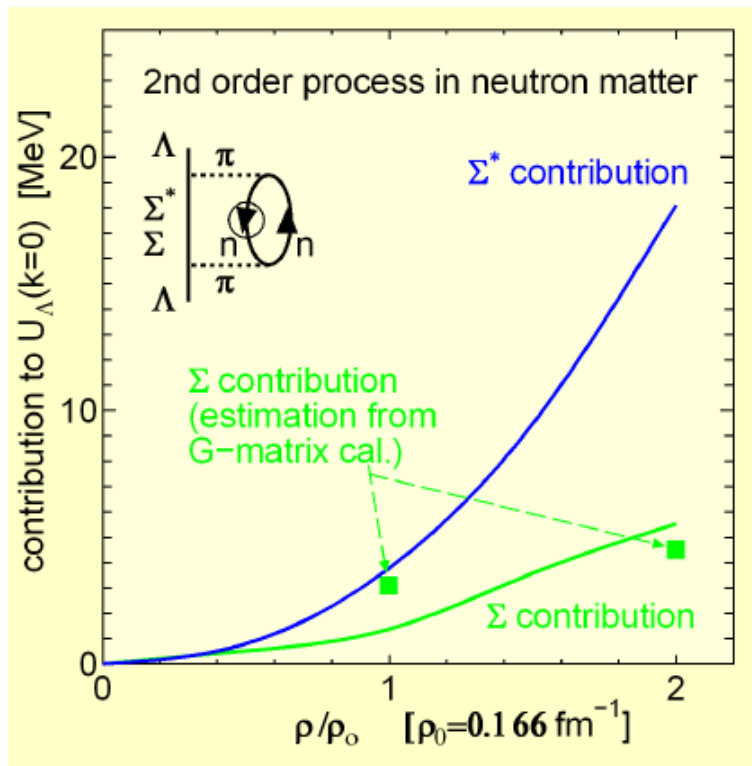
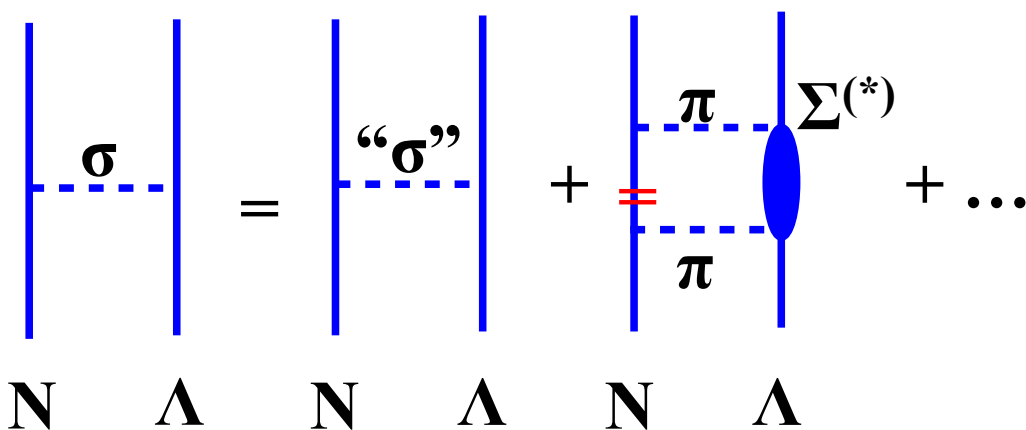
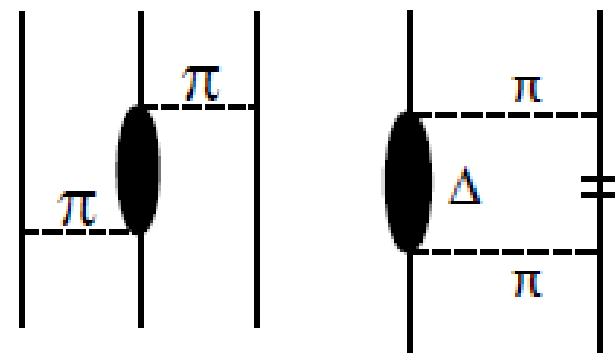
→ We need *ab initio* evaluation !

■ One idea: Pauli blocking

σ in RMF includes
 2π exchange contributions !

→ $g_{\sigma B}$ coupling should be suppressed
 from Pauli blocking.

(Ueda, AO, Schulze started working ...)



by Kohno (Kick-off meeting)

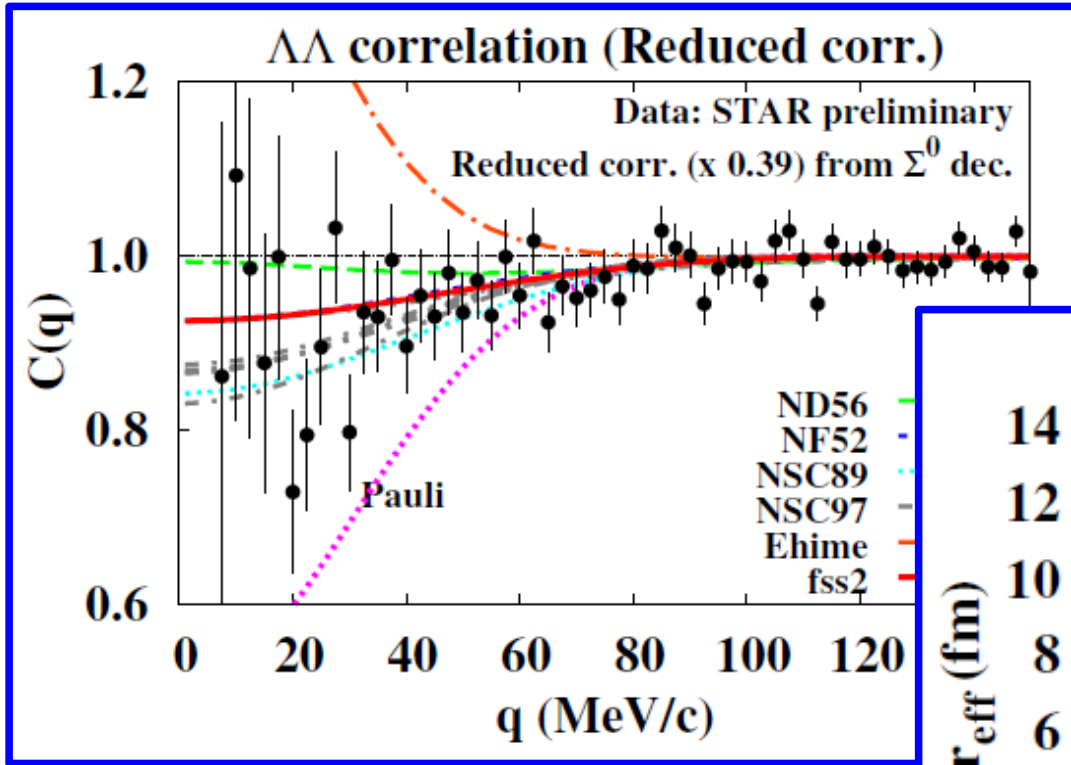
Summary

- Three-body coupling terms are introduced in relativistic mean field (RMF) model, and their effects are considered.
- Effects on finite nuclei are not large, but large effects at high density are expected and found.
- We have some solutions of the massive neutron star puzzle:
We can parametrize hyperonic matter EOS which is stiff enough to support $2 M_{\odot}$ neutron star AND consistent with finite nuclear data.
- In order to fix parameters,
we need experiments and ab initio calculations
- BB interactions: J-PARC, GSI-FAIR, RHIC/LHC, Lattice QCD
- 2 pion exchange force related to Fujita-Miyazawa type three-body force + Pauli blocking \rightarrow density dependent coupling in RMF.

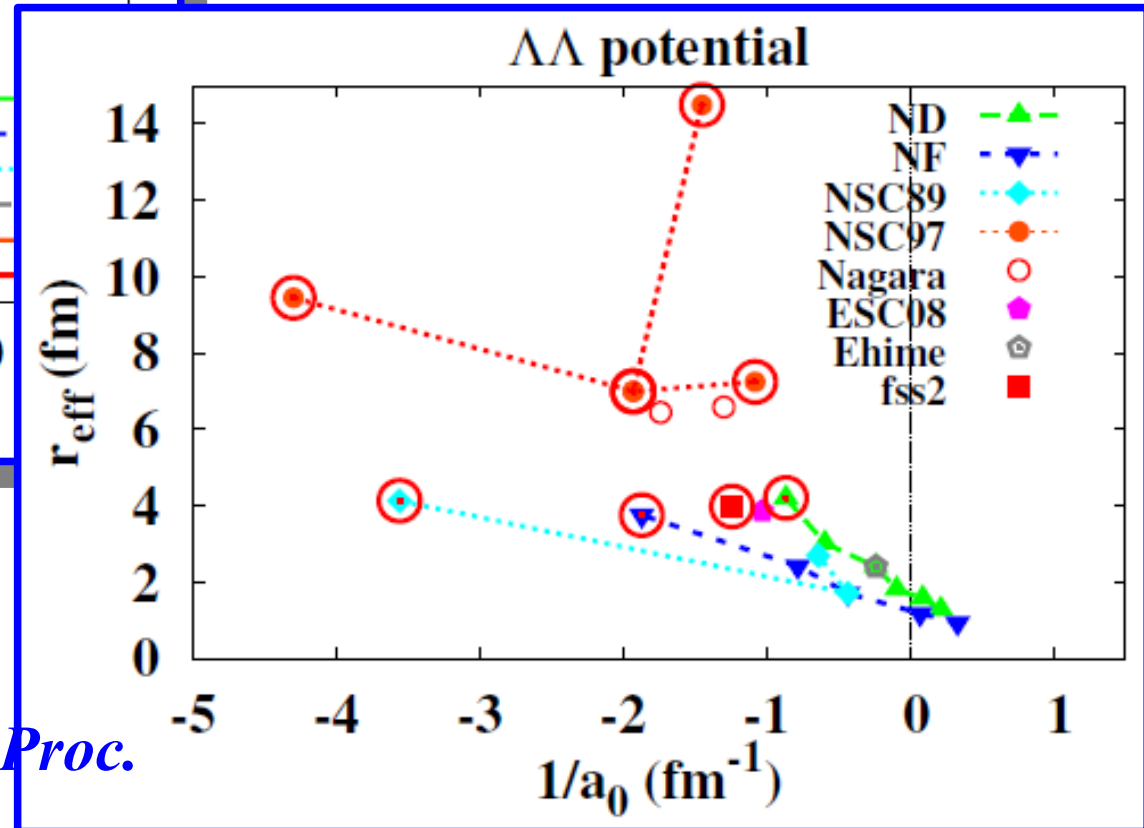
Preferred $\Lambda\Lambda$ Interaction

■ STAR data choose some of the $\Lambda\Lambda$ interaction

→ $1/a_0 < -0.8 \text{ fm}^{-1}$ ($-1.2 \text{ fm} < a_0 < 0$), $r_{\text{eff}} > 3 \text{ fm}$ seems to be preferred.



*Nijmegen (Rijken),
Fujiwara+, Ueda+,
Filikhin-Gal; Hiyama+*



*AO+ (ExHIC collab.), Hyp 2012 Proc.
/AO, Furumoto, Morita, in prep.*

Summary

- Three-body coupling terms are introduced in relativistic mean field (RMF) model, and their effects are considered.
- Effects on finite nuclei are not large, but large effects at high density are expected and found.
- We have some solutions of the massive neutron star puzzle:
We can parametrize hyperonic matter EOS which is stiff enough to support $2 M_{\odot}$ neutron star AND consistent with finite nuclear data.
- In order to fix parameters,
we need experiments and ab initio calculations
- BB interactions: J-PARC, GSI-FAIR, RHIC/LHC, Lattice QCD
- 2 pion exchange force related to Fujita-Miyazawa type three-body force + Pauli blocking → density dependent coupling in RMF.
- Researches by using Grant-in-Aid for Scientific Research on Innovative Area, “Neutron Star matter EOS”, will be (should be!) useful !

Thank you for your attention !

RMF with three-body coupling

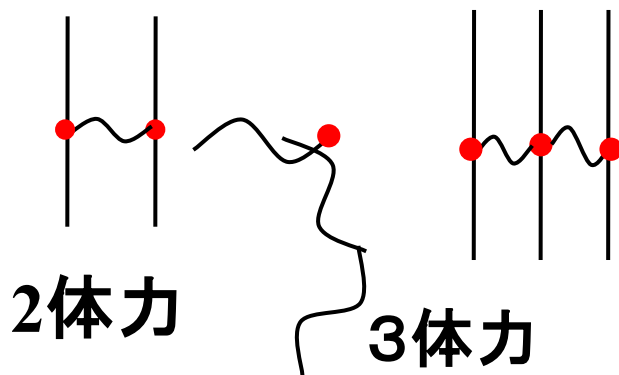
■RMFにおける陽な3体結合の導入

→ 斥力の増大

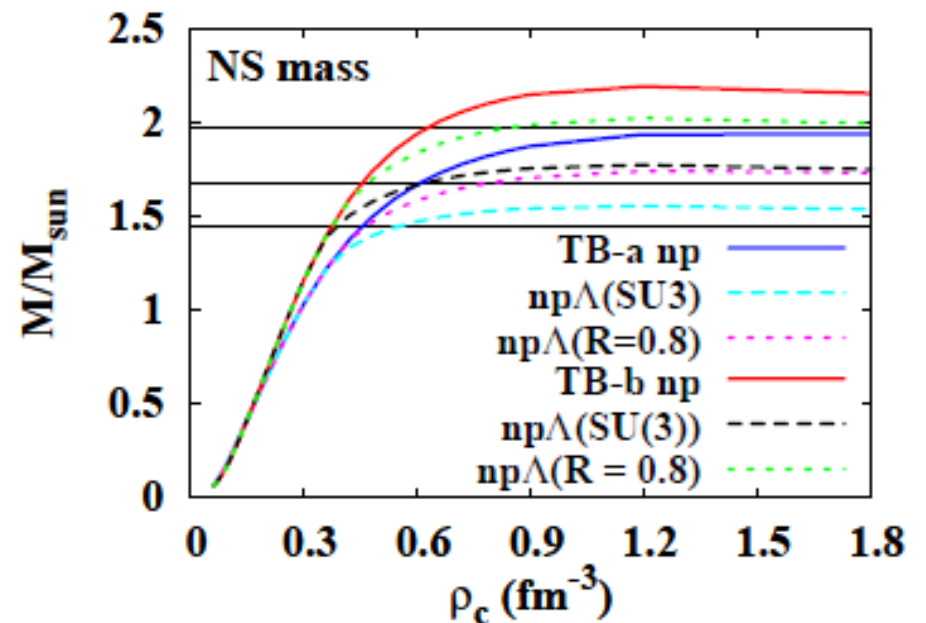
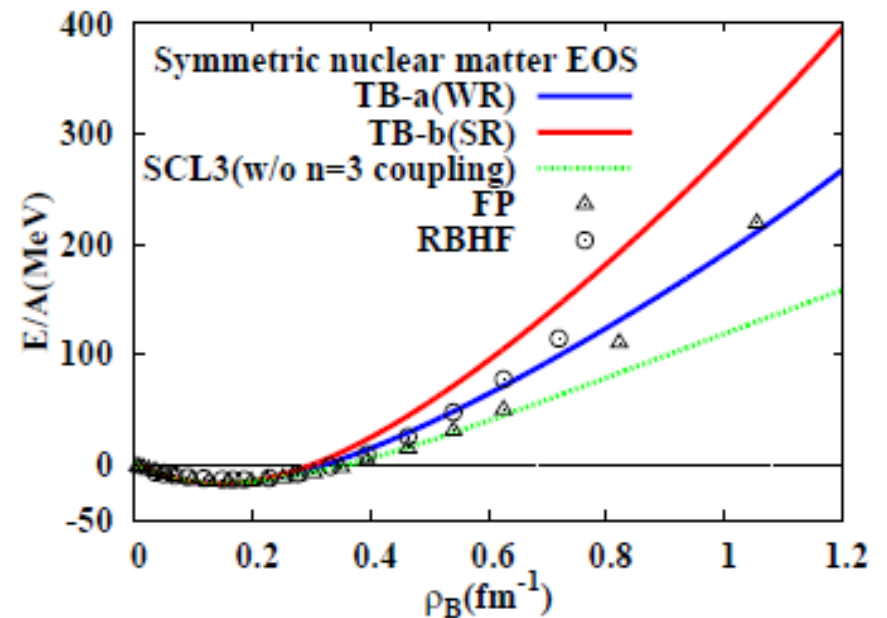
→ $2 M_{\odot}$ の中性子星を支えられる

$$\delta L = -U_{\sigma}(\sigma) + \frac{1}{4} c_{\omega} (\omega_{\mu} \omega^{\mu})^2 - \frac{1}{2} c_{\sigma\omega} \sigma \omega_{\mu} \omega^{\mu}$$

$$- \sum_B \bar{\psi}_B [g_{\sigma\sigma B} \sigma^2 + g_{\sigma\omega B} \sigma \omega_{\mu} \gamma^{\mu} + g_{\omega\omega B} \omega_{\mu} \omega^{\mu}] \psi_B$$



結合定数はどのように与えるか？

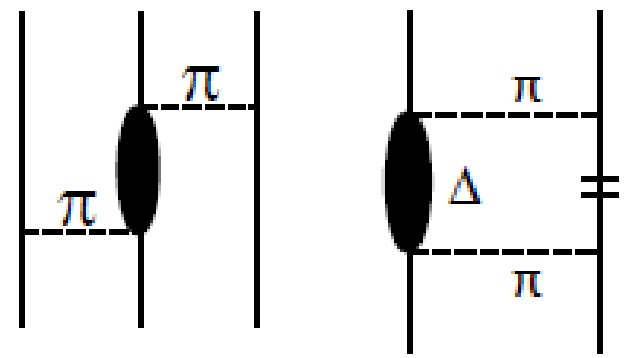


3体結合と飽和性

飽和性を出す機構の新しい提案

M. Kohno, 2012

- Δ 経路の3体力と同じ結合から現れる2体力
- 媒質中では Pauli blocking を受ける
- 強い「斥力」効果

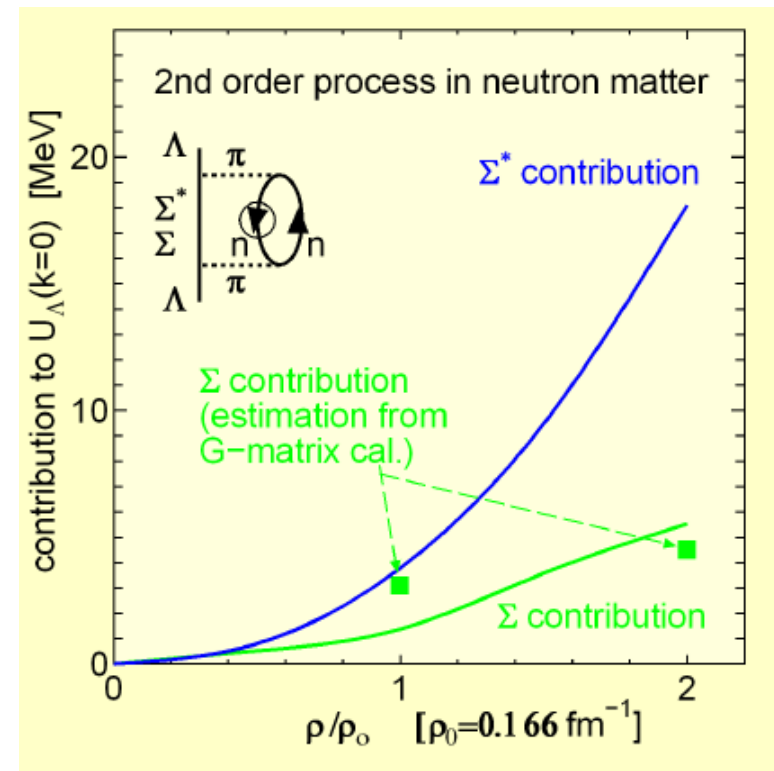
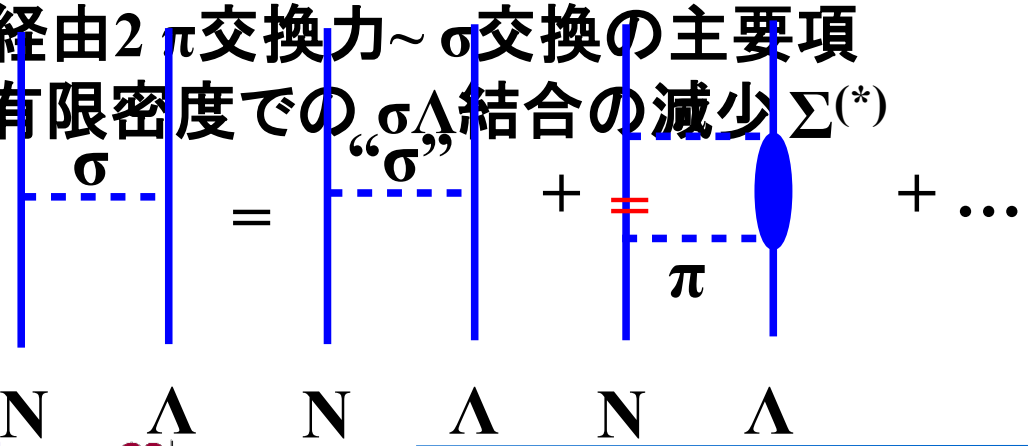


斥力を加える → 引力を減らす

- Hyperon を含む場合は Σ 、 Σ^* 経路の2体力が減少

RMFにおける現象論的解釈

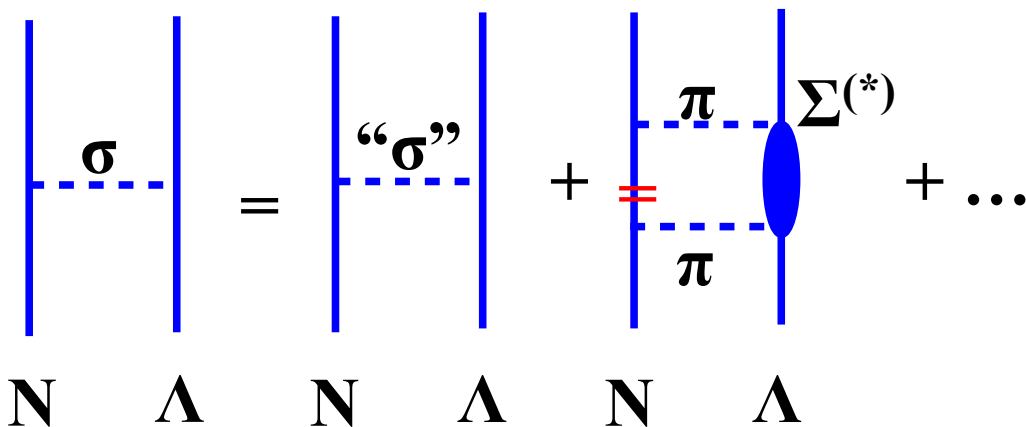
- Δ 経路 2π 交換力 $\sim \sigma$ 交換の主要項
- 有限密度での $\sigma\Delta$ 結合の減少 $\Sigma^{(*)}$



by Kohno (Kick-off meeting)

提案:g-matrix でEOSの $\Lambda\sigma$ 結合定数依存性を調べる

- Catania group のg-matrix 計算(Nijmegen, Bonn, Paris, ...)において $\Lambda\sigma$ 結合定数が数10%変化した場合に、
 Λ の一粒子エネルギー、ハイペロンを含む物質のEOSの変化を調べる。
- Nijmegen模型の σ 交換がB*(decuplet)経由2 π 交換力を含むなら媒質中にて抑制を受けるはず。
 (Σ 経由は既にg-matrix計算に含まれる)
- 飽和性、バリオン間力の実体論、高密度での斥力、
 → 同じ起源かもしれない。



Ueda, AO, Schulze, ...

有限温度EOSについて

■超新星物質EOSにおいて温度はどのように扱われているか？

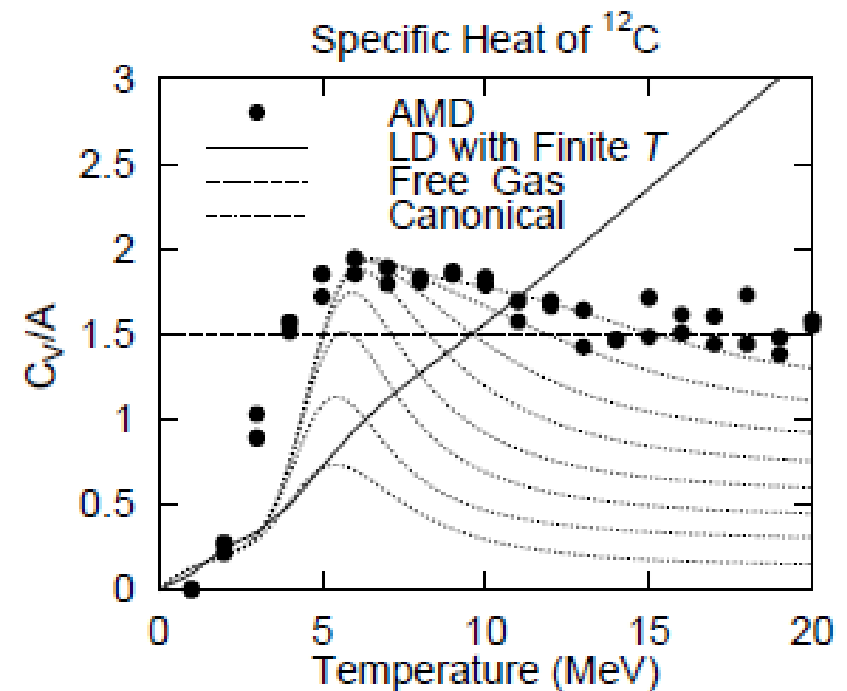
●Shen EOS → 有限温度 RMF の結果を利用

●平均場的取扱いでは、低温での励起が小さい

$$E^* \sim AT^2 / 16 \text{ (Fermi gas)}, E^* \sim AT^2 / 8 \text{ (empirical)}$$

●collective modeの存在により、低励起状態における状態密度は Fermi gas に比べて大きい

宇宙の方の計算結果について
聞いていると、
低温でのEOSの振る舞いを変えると、
それなりの影響があるような
気がします。



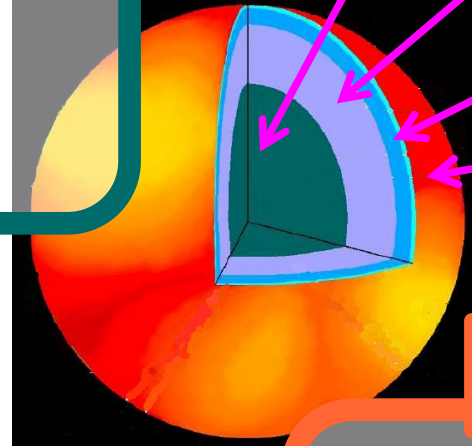
AO, Randrup ('94)

実験と観測で解き明かす中性子星の核物質

高密度領域

ハイパー核、K中間子核、
YN, YY 相互作用、
有効相互作用、
(重イオン衝突)、

J-PARC



Hyperons, mesons, quarks

Asym. nuclear matter
+elec.+μ

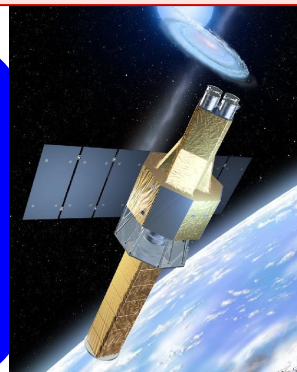
Nuclei+neutron gas+elec.

Nuclei + elec.

低密度領域

対称エネルギー、
対相関ギャップ、
BEC-BEC cross over、
冷却原子系とのつながり、

ASTRO-H



天体現象

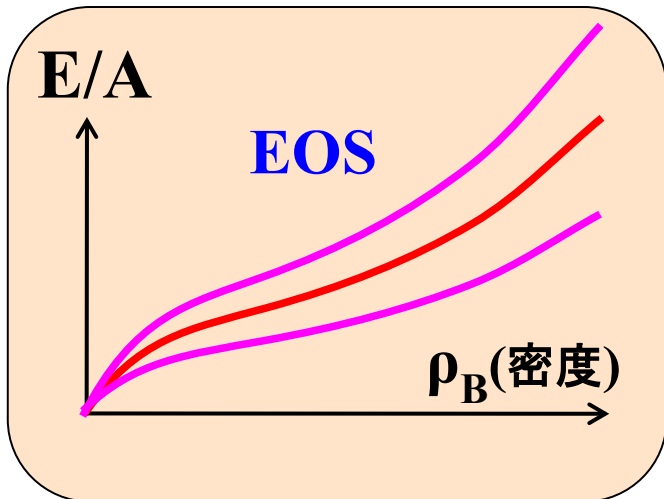
半径、質量、
温度(時間依存性)、
星震、パスタ、

RIBF

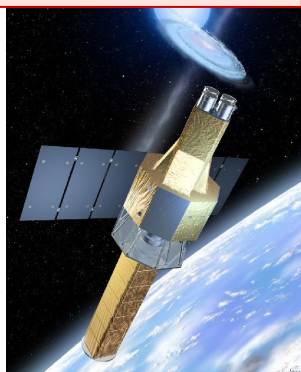


中性子星の質量と半径

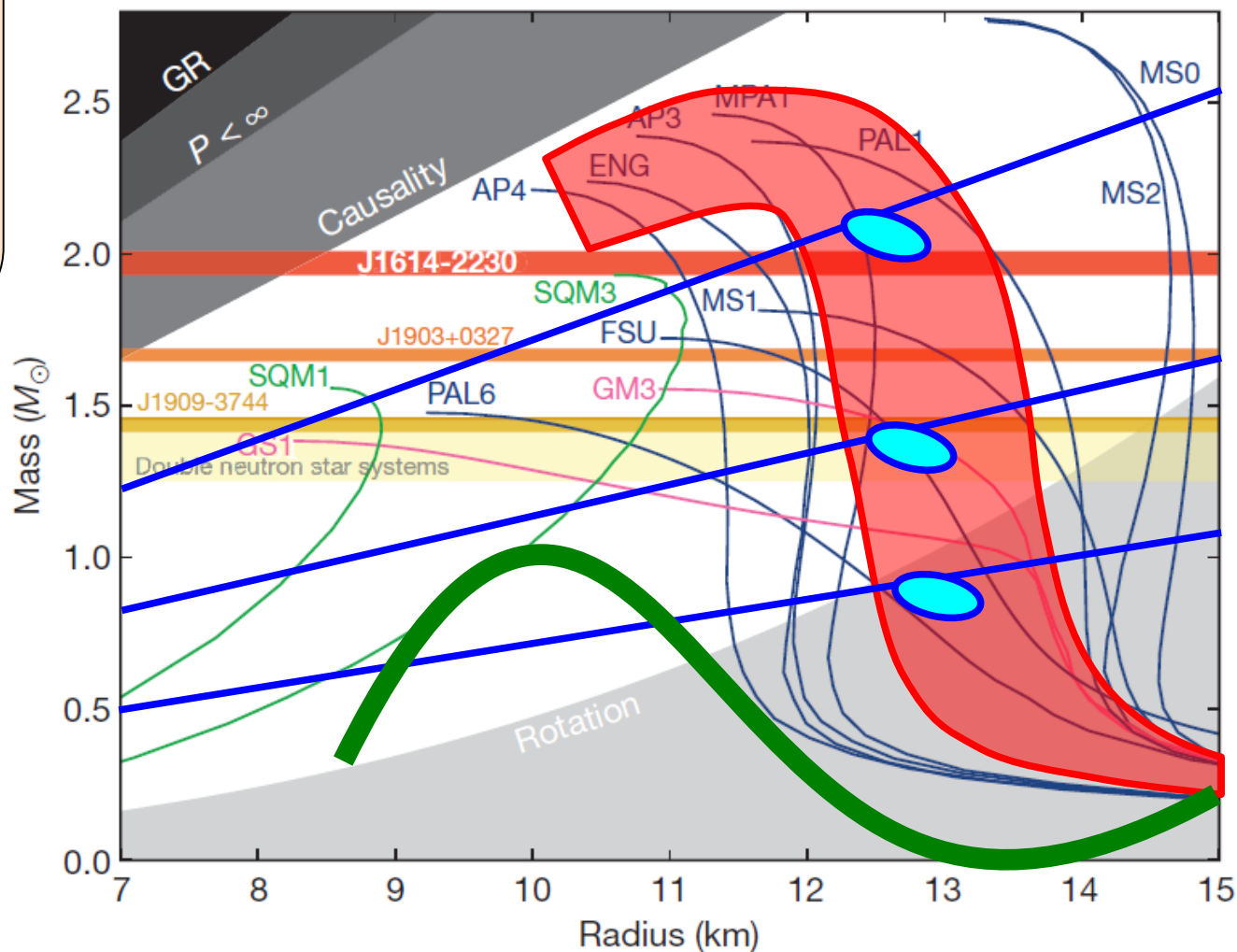
静水圧平衡(TOV方程式)



ASTRO-H



Red shift (line)から
M/Rを決定



Demorest et al., Nature 467 (2010) 1081 (Oct.28, 2010).

中性子星と核物質の理論研究(理論計画班)

高密度領域

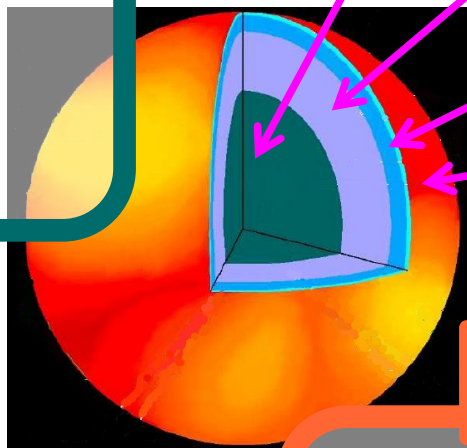
原田(Prod.)、
木村(Structure)、
土手(Kaon Nucl.)

Hyperons, mesons, quarks

Asym. nuclear matter
+elec.+ μ

Nuclei+neutron gas+elec.

Nuclei + elec.



J-PARC



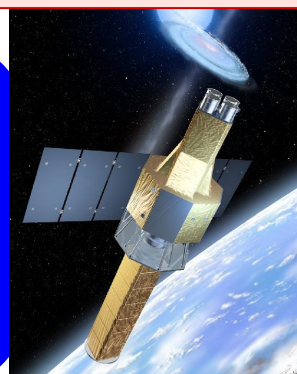
低密度領域

中田(Sym.E)、
松尾(EOS)、
小野(HIC)、

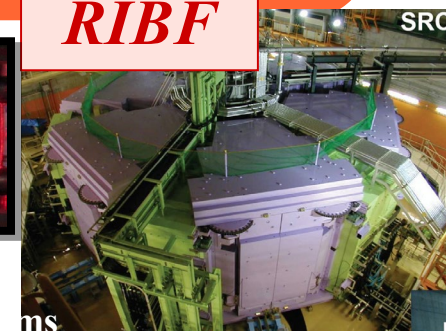
天体現象

飯田(Phen.)、
巽(Quark)、
中里(Pasta)

ASTRO-H



RIBF



連携: 国広、西崎、親松、丸山、阿武木、大橋、柴崎、中務(C)

高密度物質状態方程式と 中性子星最大質量

$1.97 \pm 0.04 M_{\odot}$ Neutron Star

■重い中性子星(2倍の太陽質量)の観測

Demorest et al., Nature 467 (2010) 1081 (Oct.28, 2010).

PSR J1614-2230 (NS-WD binary), $1.97 \pm 0.04 M_{\text{sun}}$

●一般相対性理論(Shapiro delay)に基づく質量決定

●幸運な公転面の向き+美しい観測結果

■高密度状態方程式(EOS)に強い制限

●Strange Hadron

(ハイペロン・K中間子)

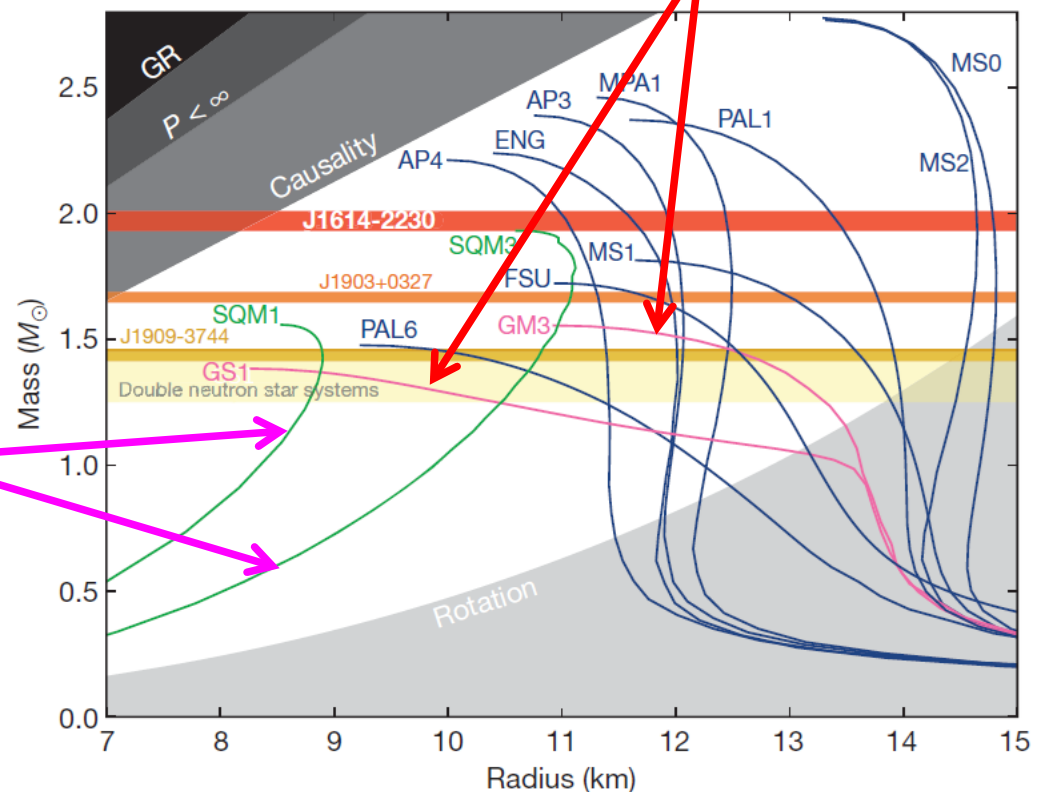
凝縮を含むEOSは棄却(?)

●クォーク物質でも

相互作用に制限

クォーク物質
のEOS

Strange Hadron
を含むEOS



ハイペロンを含むRMFの例(1)

Ishizuka, AO, Tsubakihara, Sumiyoshi, Yamada, *J. Phys. G35(08),085201*

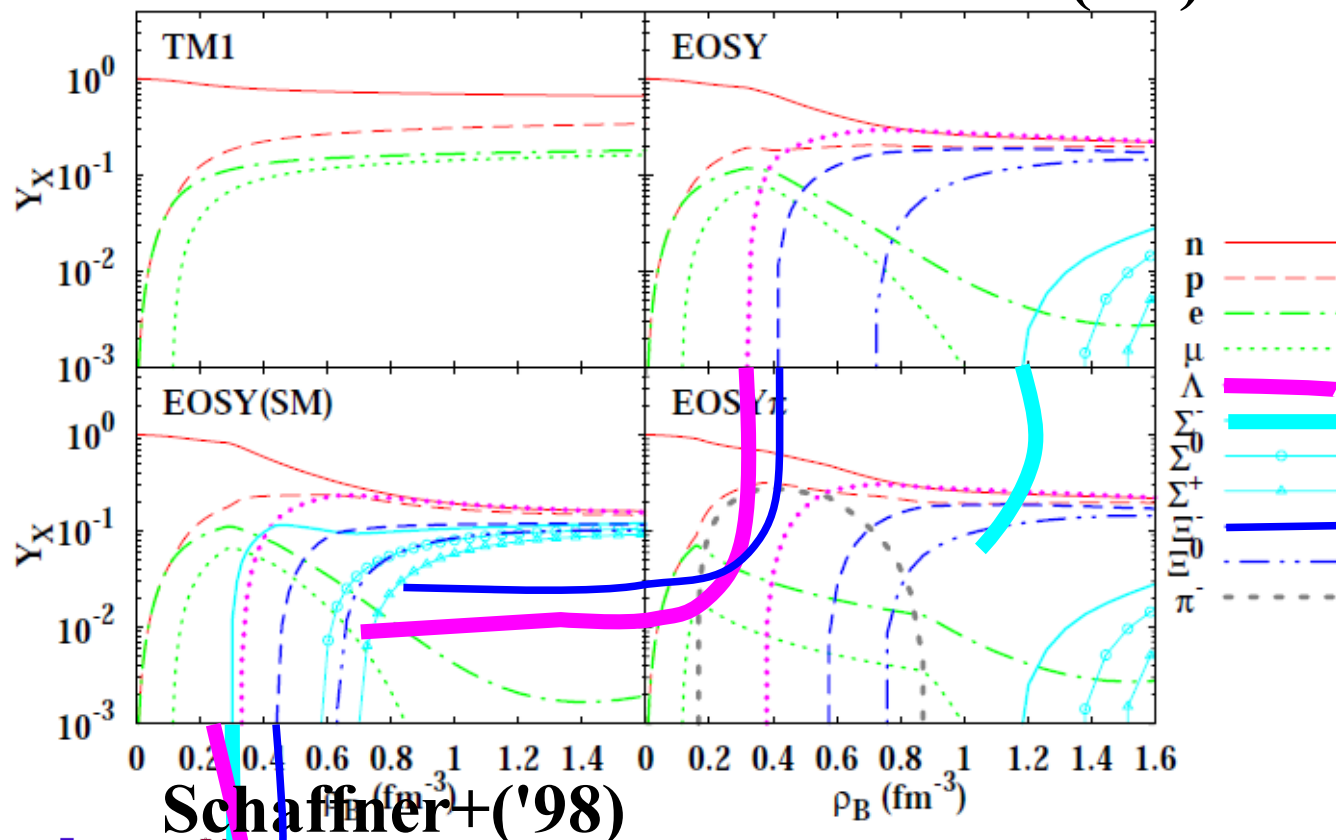
Hyperon Effect is DRASTIC

$M_{\max} = 2.1 M_{\odot} \rightarrow 1.56 M_{\odot}$

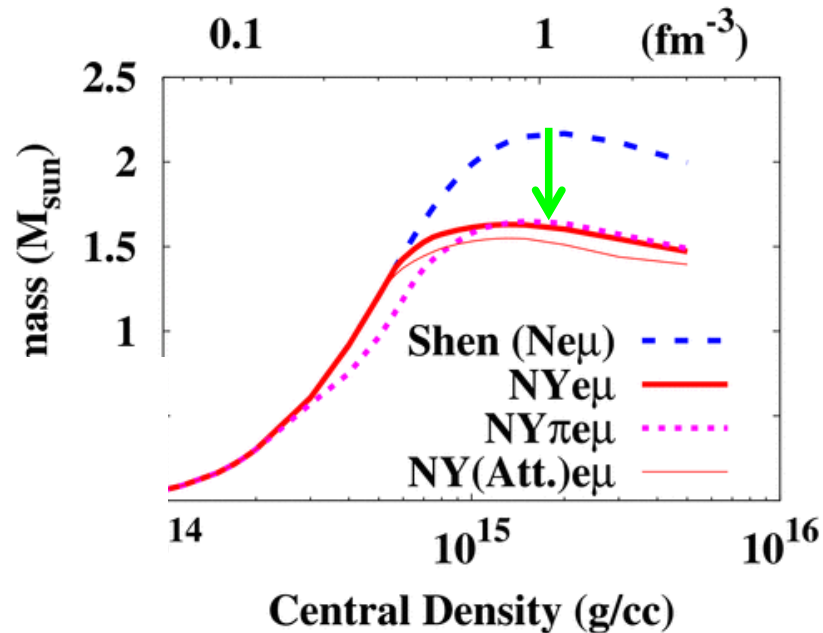
Composition $Y_{\Lambda} \sim Y_n$

Large fraction of Ξ

Neutron Star Matter **Ishizuka+('08)**



Schaffner+('98)



c.f. H. Shen+('09)

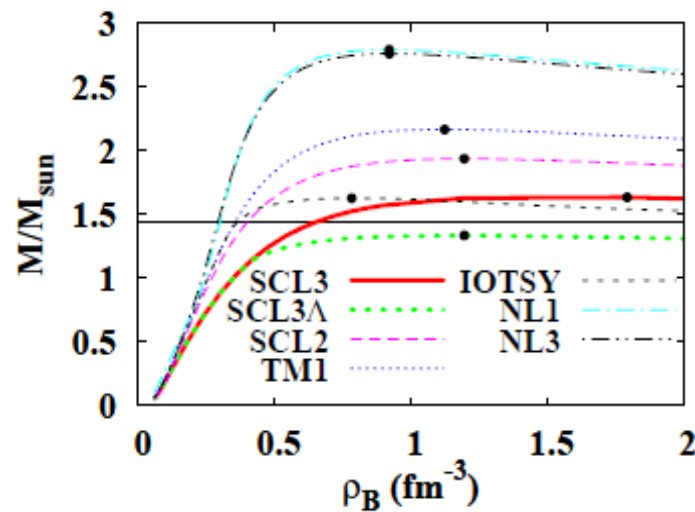
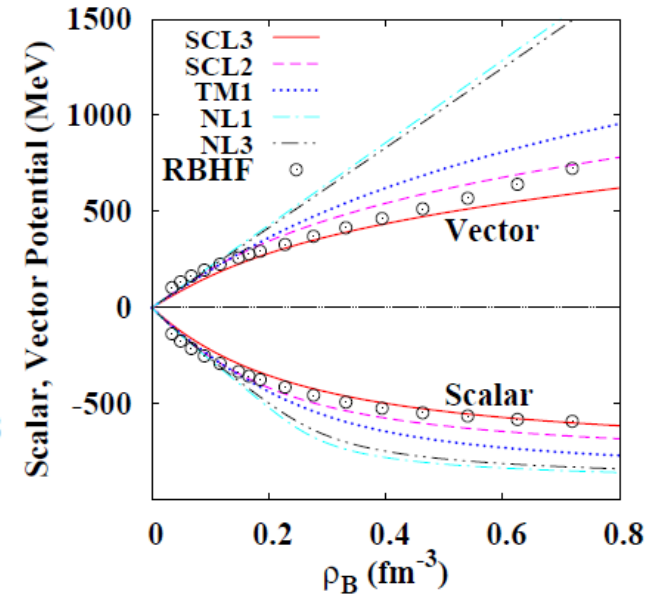
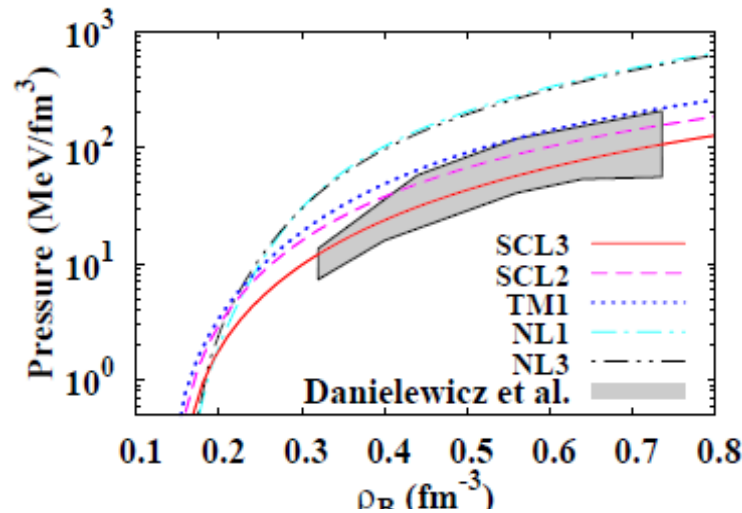
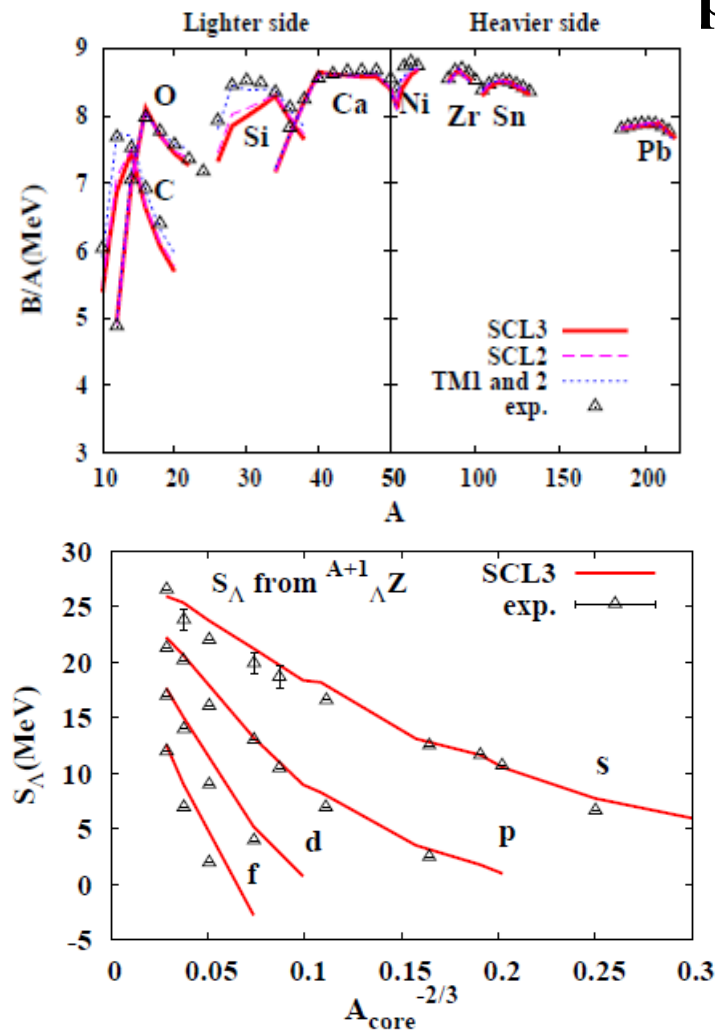
$\rightarrow n, p, \Lambda$ EOS

ハイペロンを含むRMFの例(2)

Fit as many as known observables

K. Tsubakihara, H. Maekawa, H. Matsumiya, AO, PRC81('10)065206.

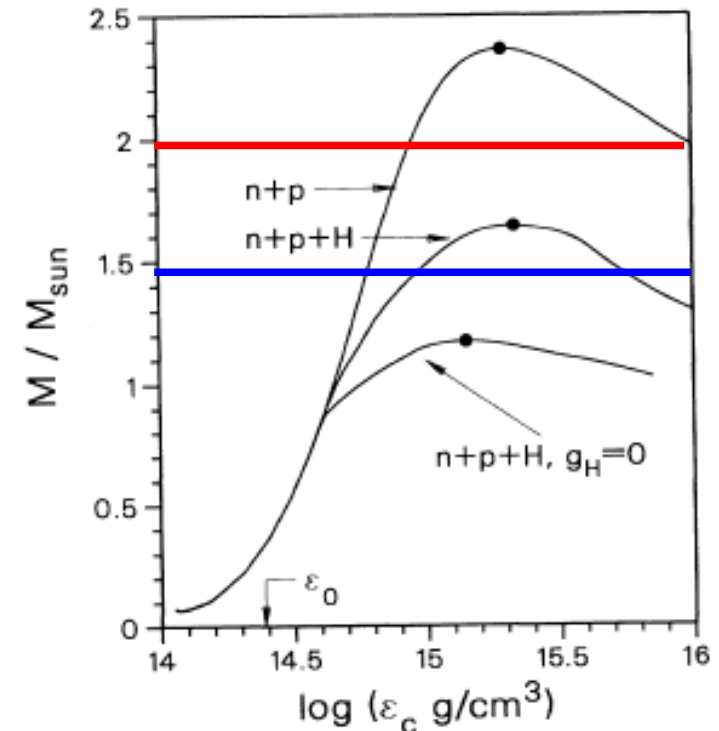
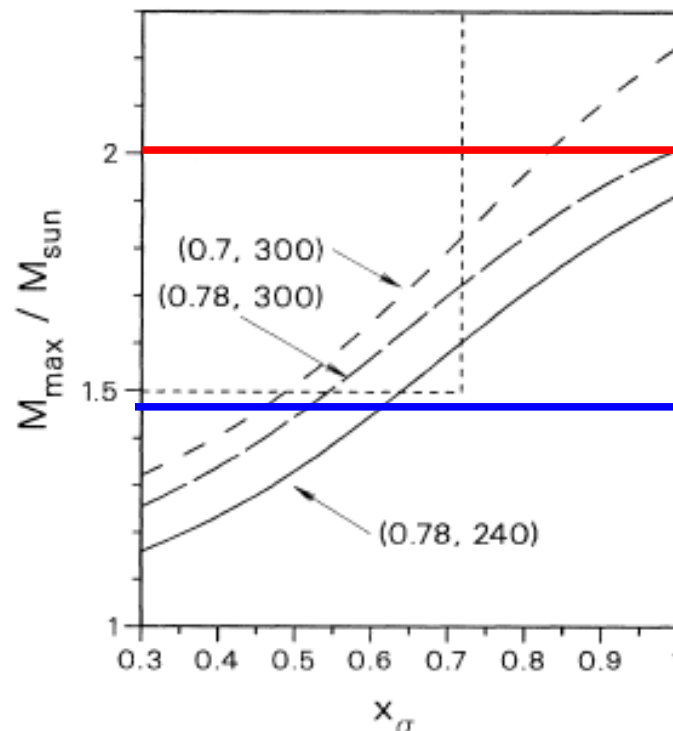
EOS, Nuclear B.E., High density EOS from HIC, Vector potential in DDME, Hypernuclear Separation Energy Neutron Star, ...



*P. Danielewicz et al.,
Science 298('02)1592.
R. Brockmann,
R. Machleidt,
PRC 42('90)1965.*

ハイペロンと重い中性子星

- 中性子星における One of the Two Serious Problems (高塚)
- 「柔らかいEOSは否定されたが、exoticな構成粒子が否定されたわけではない。」(Lattimer)
- 否定されたハイペロン・K中間子を含むEOS
= 相対論的平均場理論(RMF)において結合定数をほぼSU(6)にしたがって選んだもの ($g_{\sigma\Lambda} / g_{\sigma N} \sim 2/3$)

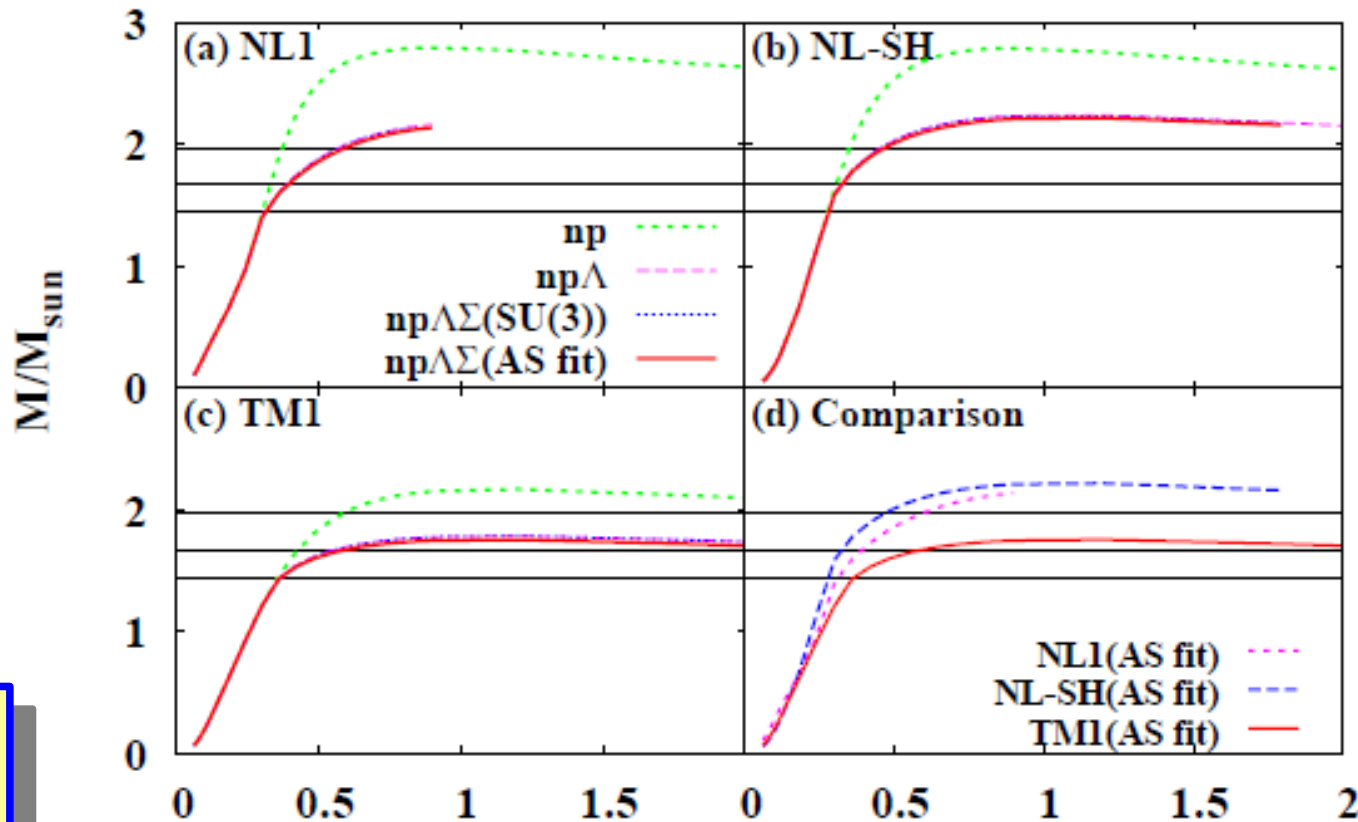


N.K.Glendenning, S.A.Moszkowski, PRL67('91)2414

ハイペロンと重い中性子星

- ハイペロンを含み、重い中性子星を支えるRMF
- ハイパー核情報を尊重： Λ の一粒子エネルギー、ダブルハイパー核の相互作用エネルギー、 Σ -原子のatomic shift
- NL1, NL-SH 等のRMFパラメーターではハイペロンを含んでも中性子星最大質量は $2 M_{\odot}$ を越える！
- TM1を基にした場合、最大質量は $1.7M_{\odot}$ 程度

Calculated Neutron Star Mass



Tsubakihara, AO, to be submitted

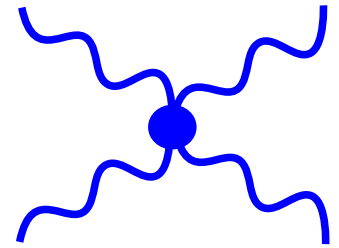
その違いは？

→ meson self-energy

Meson self-energy 効果

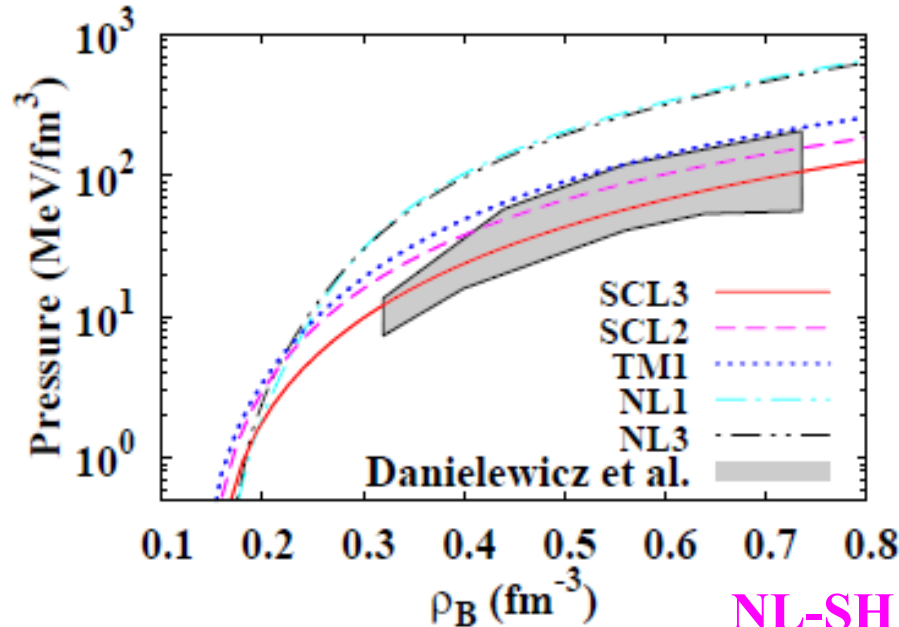
■ベクトル中間子の自己エネルギー項

$$L_\omega = \frac{1}{4} \omega_{\mu\nu} \omega^{\mu\nu} - \frac{1}{2} m_\omega^2 \omega_\mu \omega^\mu - \frac{1}{4} c_\omega (\omega_\mu \omega^\mu)^2$$

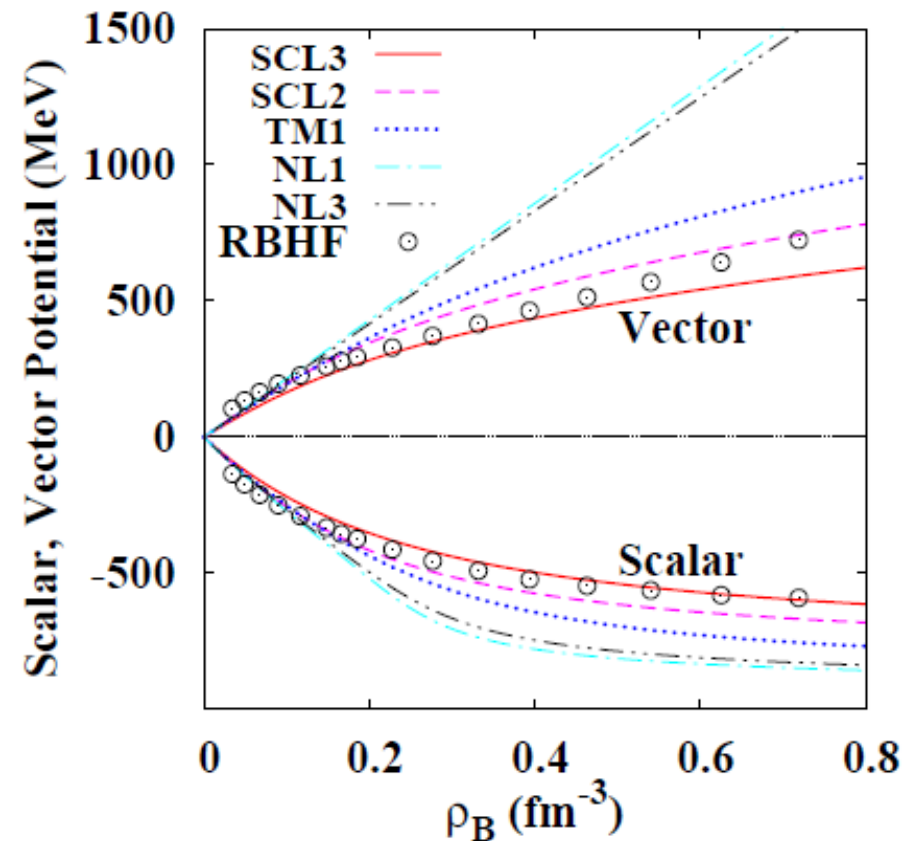


●第一原理計算(RBHF)、重イオン衝突からの制限のクリアに必要なだが

NT 1 NT_SH には今まわていたい



P. Danielewicz et al., Science 298('02)1592;
R. Brockmann, R. Machleidt, PRC 42('90)1965.
K. Tsubakihara, H. Maekawa, H. Sumiyama, AO, PRC 81('10)065206



Short Summary

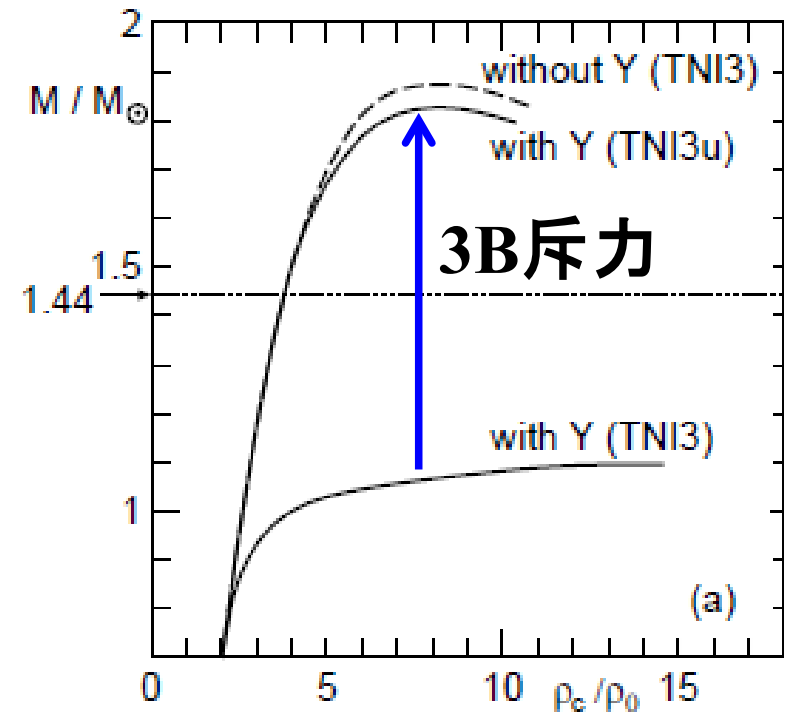
■問題点

●Demorest et al. (2010) では核子以外の自由度によるEOSの軟化の問題を指摘。

●非相対論的理論ではハイペロンを含むUniversalな斥力が必要。

●相対論的平均場(RMF)では相対論効果から現れるUniversalな斥力が存在するので問題はややまし。しかし第一原理計算の結果や重イオン衝突からの制限を課すと、 $2 M_{\odot}$ を支えるには同様にハイペロンを含む“Extra Repulsion”が必要。

●→ 3体力(多体力)を含むEOS理論へ！



*S. Nishizaki, T. Takatsuka,
Y. Yamamoto, PTP108('02)703.*

3体力を含む相対論的平均場理論 *(Progress Report)*

3体力を含むRMF

3体力を含む相互作用項

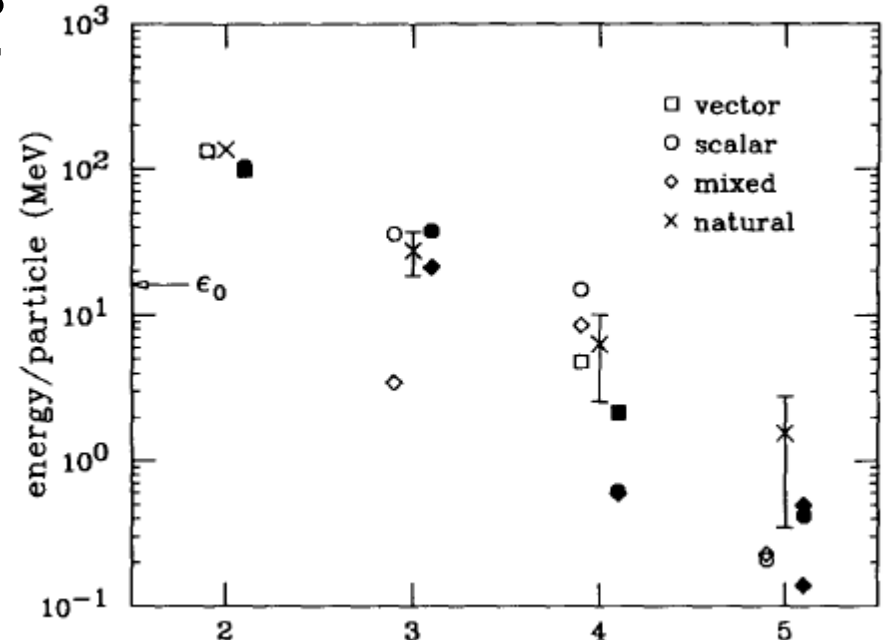
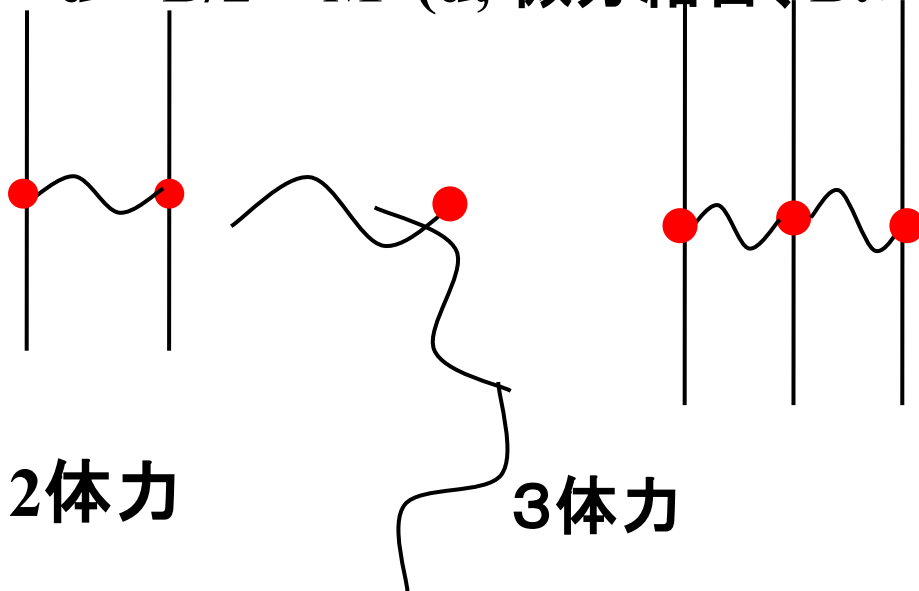
$$\delta L = -\frac{1}{2} c_{\sigma\omega} \sigma\omega_\mu\omega^\mu - \sum_B \bar{\Psi}_B [g_{\sigma\sigma B} \sigma^2 + g_{\sigma\omega B} \sigma\omega_\mu\gamma^\mu + g_{\omega\omega B} \omega_\mu\omega^\mu] \Psi_B$$

●BBMM相互作用項は標準的なRMFでは無視

(場の再定義により他の項に吸収可能) *Furnstahl, Serot, Tang ('97)*

しかし場の再定義はNaïve dimensional analysis (NDA)の次数を変え、高密度ではn体力が重要な役割を果たす。

$$n = d + B/2 + M \quad (d; \text{微分結合}, B: \text{バリオ})$$



Furnstahl, Serot, Tang ('97)

RMF with 3BF + SU(3)_f “violation”

Tsubakihara et al., in prep.

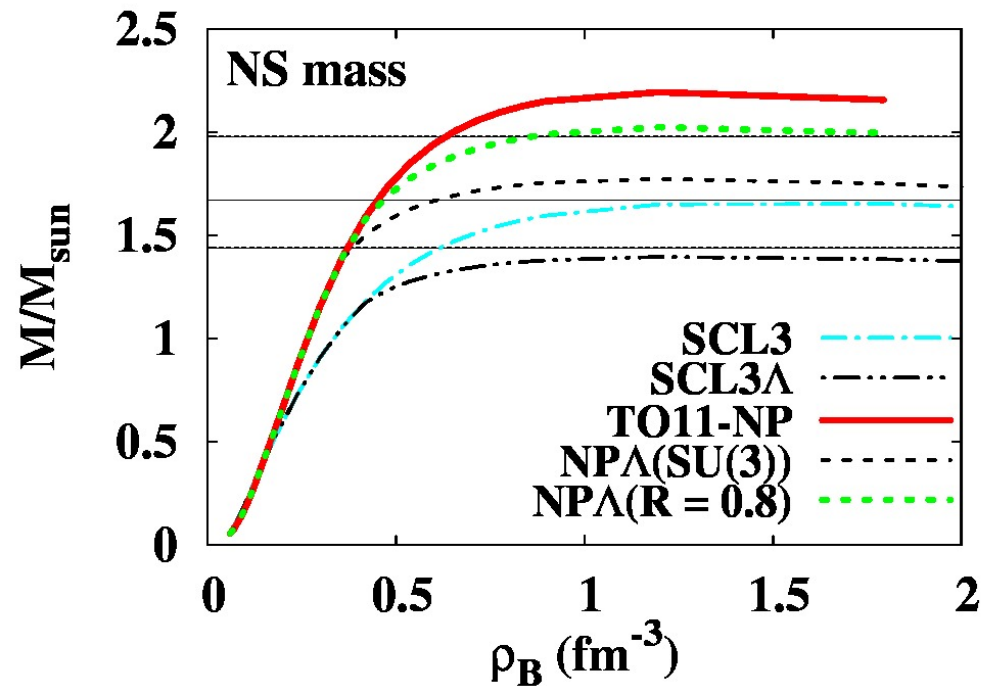
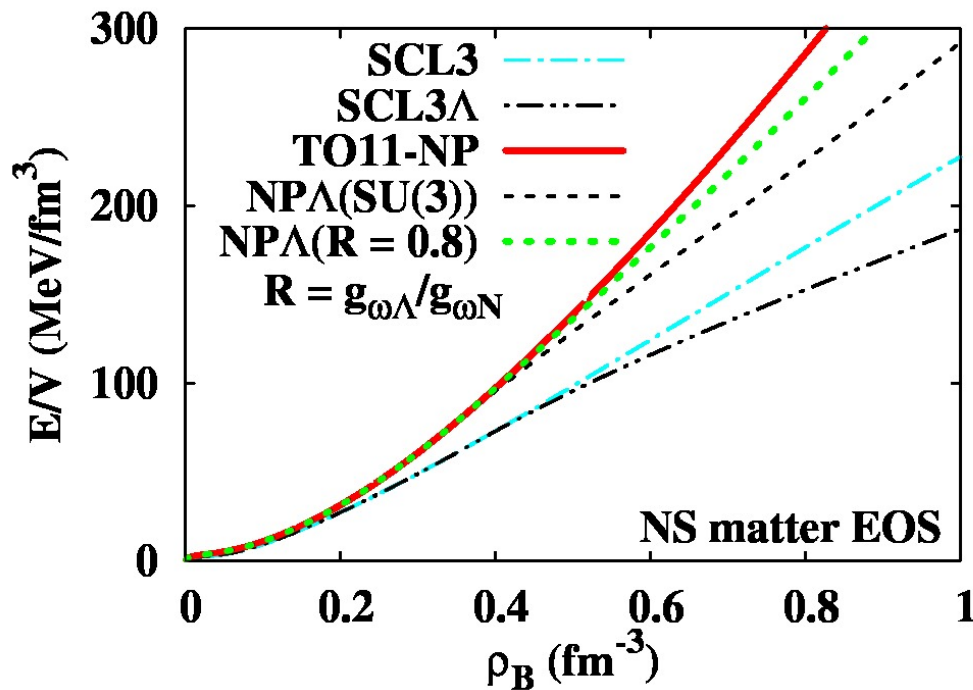
Two types of modification

3-baryon repulsion → EOS becomes stiff gradually at high density.

(Fitting meson mass (E325) and U_v in RBHF)

$R = g_{\omega\Lambda} / g_{\omega N} \sim 0.8$ ($> 2/3$ (SU(3)))

→ $M_{\max} \sim 2.02 M_{\odot}$ with hyperons ($\sim 1.4 M_{\odot}$ w/o 3BF, violation)



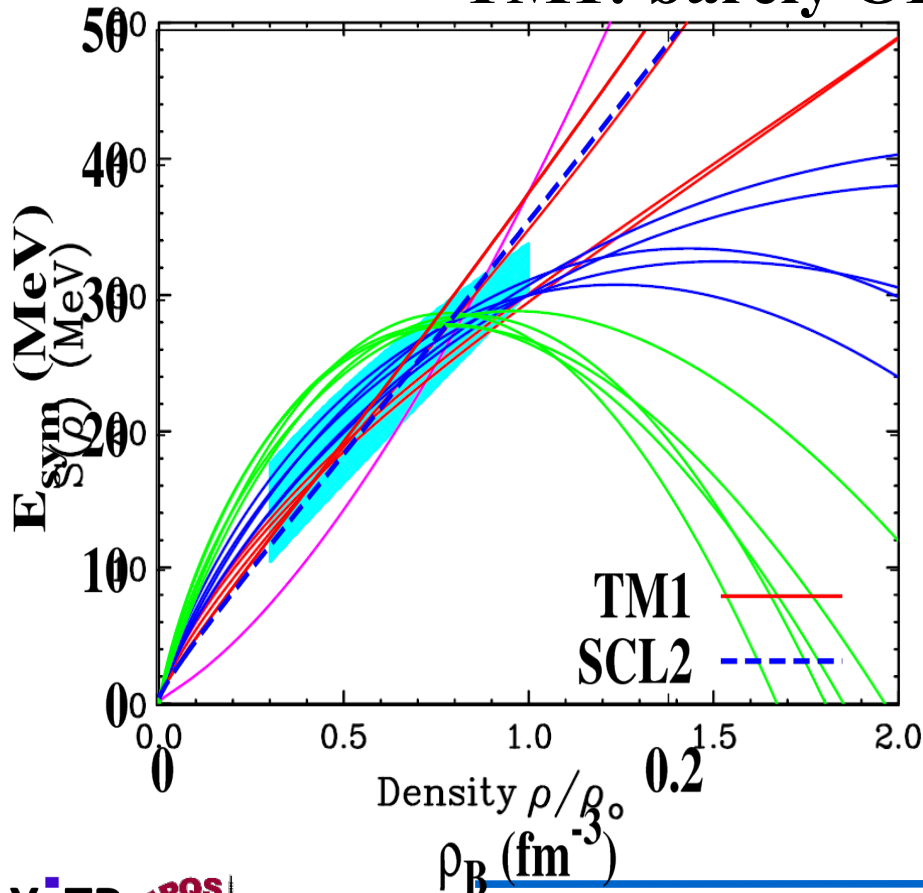
Symmetry Energy in 3BC-RMF

■ Only with n=2 terms, Symmetry energy is almost linear in density,
 → L=3 S, High Sym. E at high density

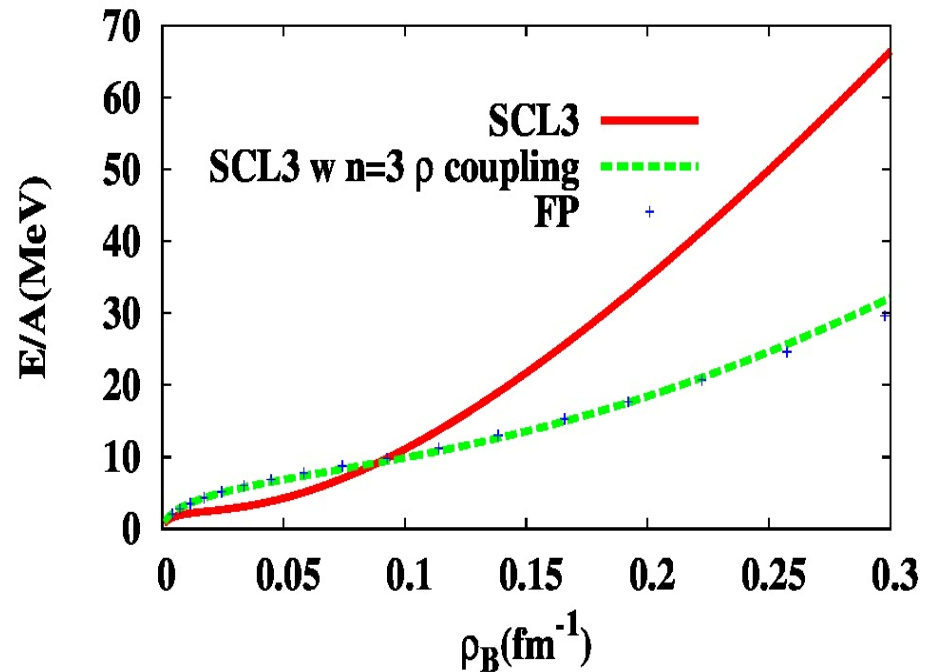
■ 3BC with ρ mesons → We CAN control ρ_B dependence of Sym. E.

$$\delta L = -\frac{1}{2} c_{\sigma\omega} \sigma \rho_{\mu}^a \rho_a^{\mu} - \sum_B \bar{\Psi}_B [g_{\sigma\rho B} \sigma \rho_{\mu}^a \tau_a \gamma^{\mu}] \Psi_B$$

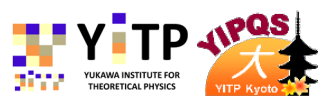
TM1: barely OK



Pure neutron matter EOS



Tsubakihara et al., in prep.
FP: Friedman, Pandharipande ('81)



Summary

- 新学術領域「実験と観測で解き明かす中性子星の核物質」
- 低密度核物理、高密度核物理、天体物理の協力により中性子星の性質を明らかに！
- 理論班: 実験・観測に対応してEOS情報を引き出す体制
- 冷却、磁場、QCD相転移、格子QCD等、多くの課題がカバー出来ていません。→ 公募研究への応募、よろしくお願いします。
- ハイペロンを含む状態方程式と重い中性子星
- ハイペロンを含み、2倍の太陽質量を越える中性子星を支えるモデルは存在する。
- 他の実験データとconsistentであるためには、単純な相対論効果を越える何らかの3体力(多体力)効果が必要。
- 3体力を含む相対論的平均場理論では重い中性子星を支えるとともに、対称エネルギーの密度依存性をコントロールできる。
- 実験・観測・第一原理計算からどのように決められるか？

Many-body coupling in RMF (2)

■ Three-body force from vector mass modification

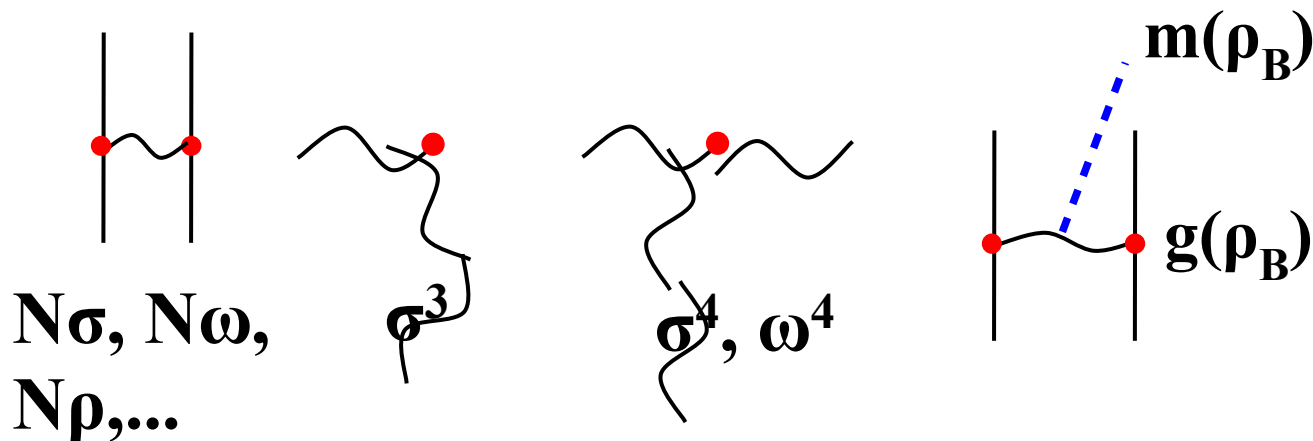
Furumoto, Sakuragi, Yamamoto ('09)

● Effects on Nucleus-Nucleus Elastic Scattering

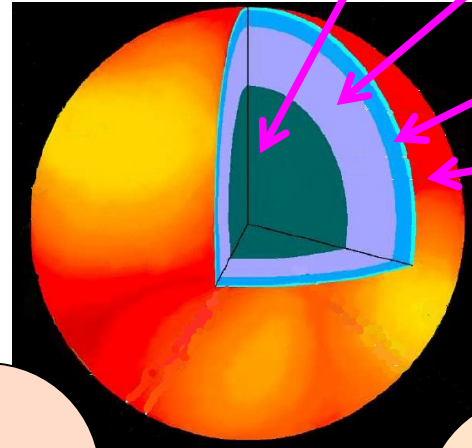
■ Density-dependent coupling

E.g. Roca-Maza+('11)

● Softer EOS, High precision nuclear binding energies



中性子星の組成・MR曲線と状態方程式

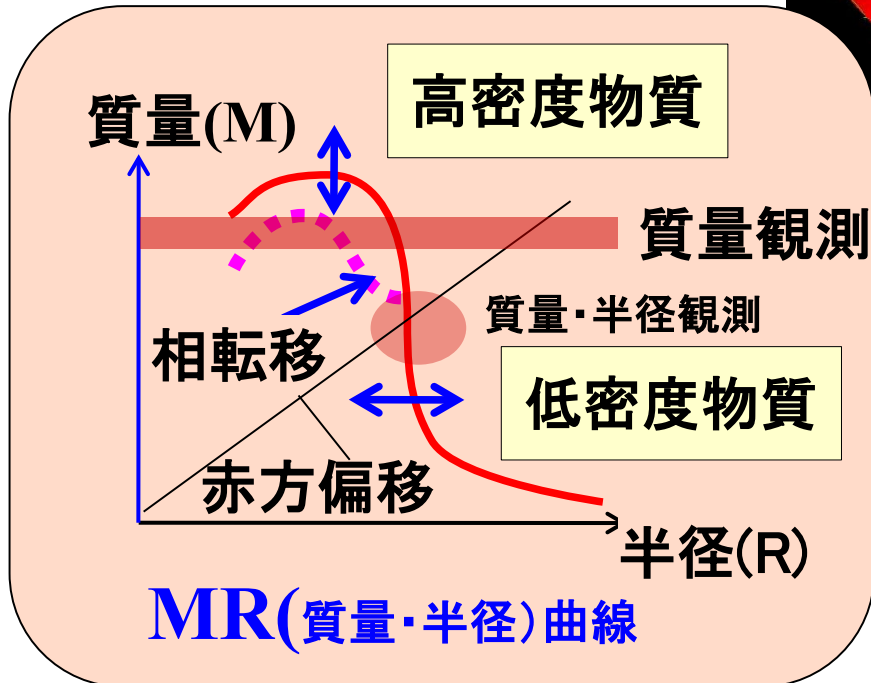


Hyperons, mesons, quarks

Asym. nuclear matter
+elec.+ μ

Nuclei+neutron gas+elec.

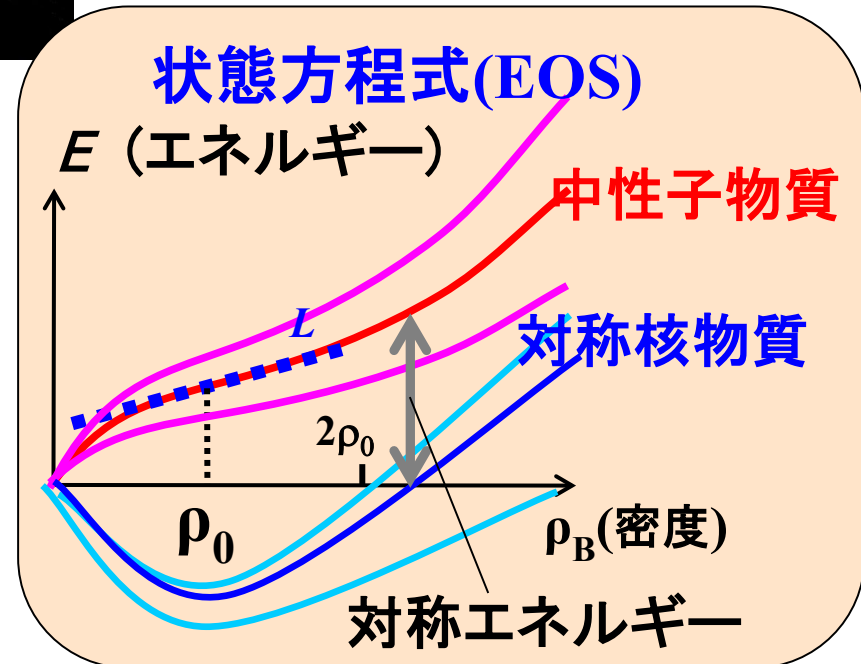
Nuclei + elec.



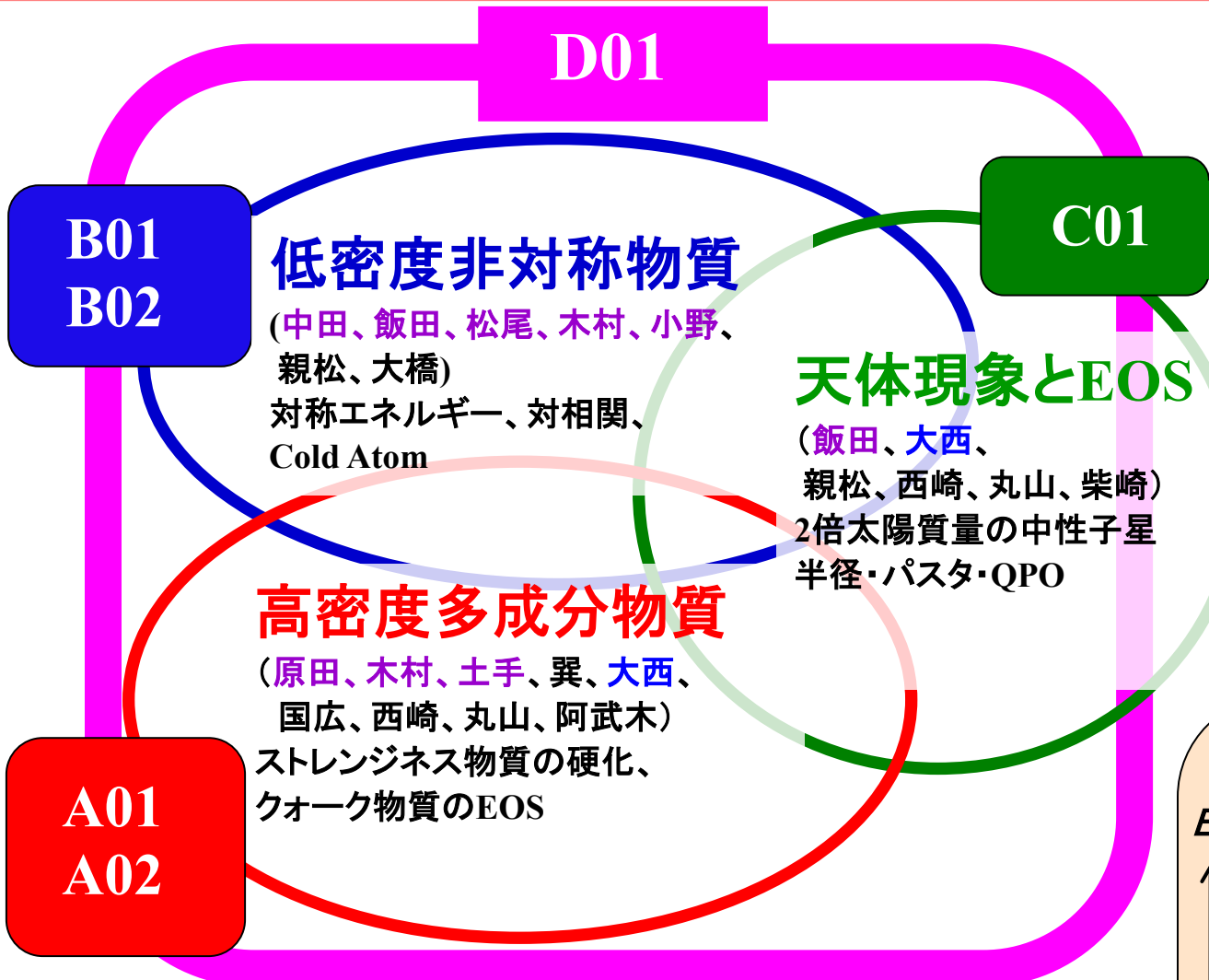
TOV
方程式

⇔

重力と
圧力の
釣り合い



D01: 中性子星と核物質の理論研究



低密度非対称物質

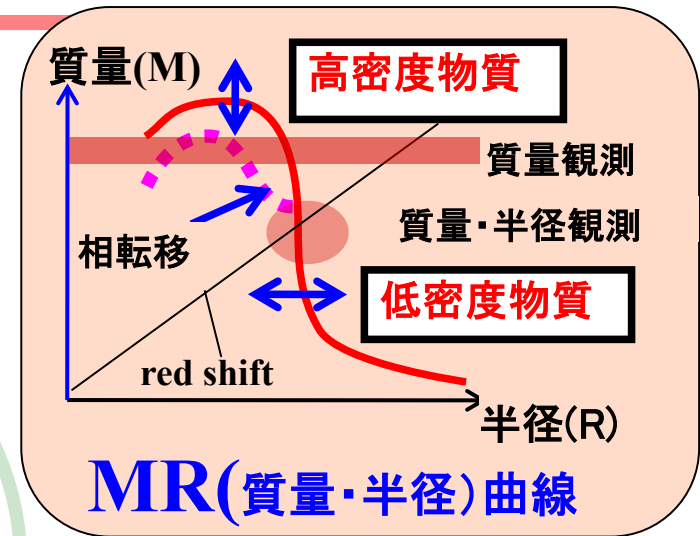
(中田、飯田、松尾、木村、小野、親松、大橋)
対称エネルギー、対相関、Cold Atom

高密度多成分物質

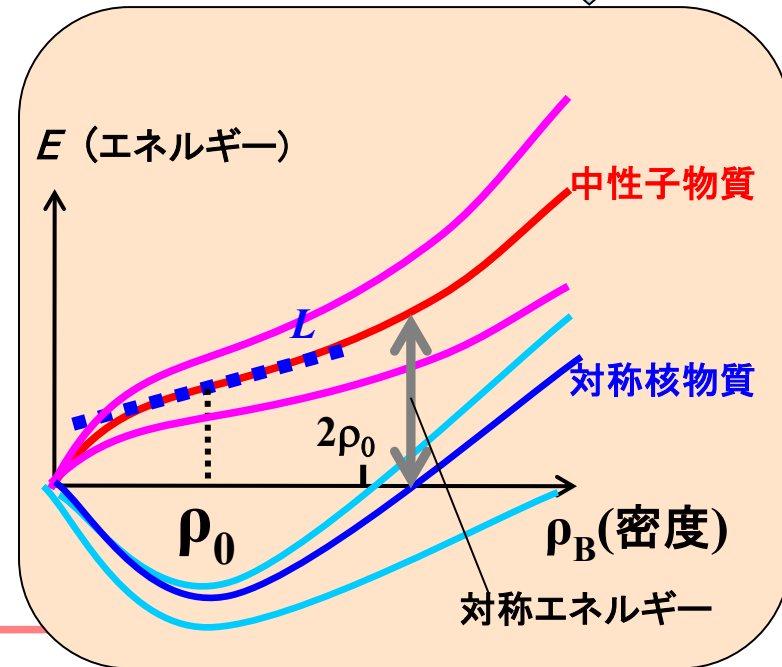
(原田、木村、土手、巽、大西、国広、西崎、丸山、阿武木)
ストレンジネス物質の硬化、クォーク物質のEOS

天体現象とEOS

(飯田、大西、親松、西崎、丸山、柴崎)
2倍太陽質量の中性子星
半径・パスタ・QPO

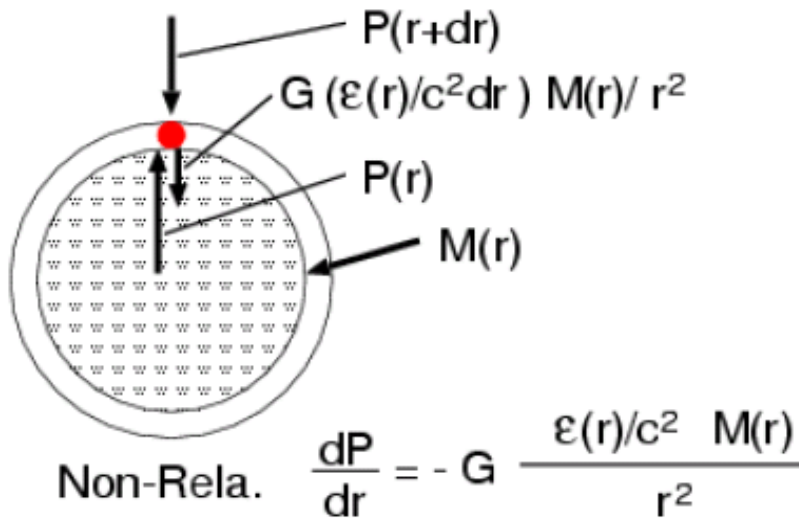


TOV方程式



理論の立場から、
ストレンジネス核物理、中性子過剰核物理、
冷却原子物理、天体物理を結びつけ、
現象に裏付けられた **"The EOS"** を決定する。

Tolman-Oppenheimer-Volkoff equation



$$\frac{dP}{dr} = -G \frac{(\epsilon/c^2 + P/c^2)(M + 4\pi r^3 P/c^2)}{r^2(1 - 2GM/rc^2)}$$

$$\frac{dM}{dr} = 4\pi r^2 \epsilon/c^2, \quad \frac{dP}{dr} = \frac{dP}{d\epsilon} \frac{d\epsilon}{dr}$$

$$P = P(\epsilon), \quad \frac{dP}{d\epsilon} = \frac{dP}{d\epsilon}(\epsilon) \quad (\text{EOS})$$

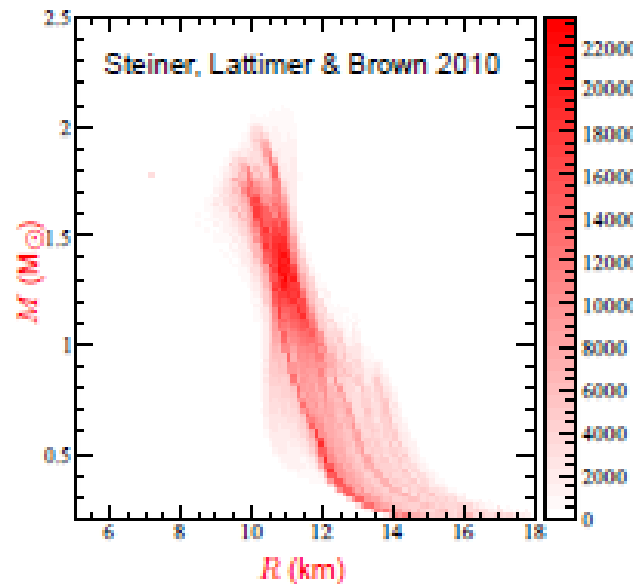
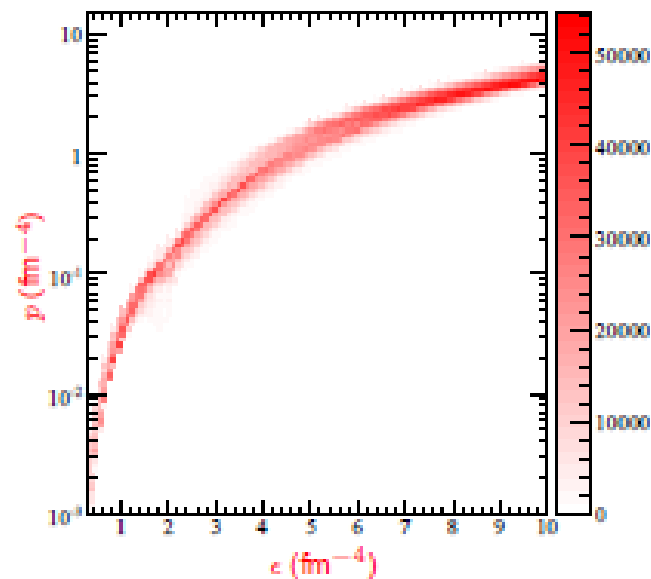
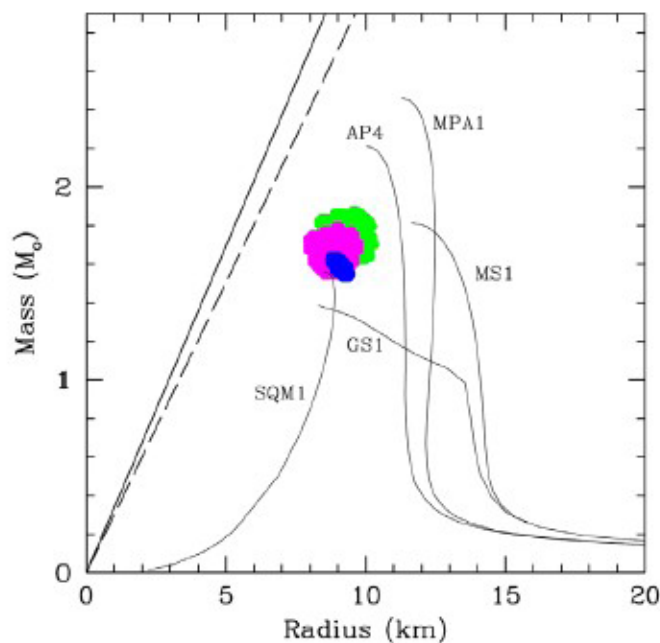
When you make a new EOS, please check the NS mass !

なぜ今、中性子星か？

- 近年の実験の進展が面白い！
- ストレンジネス核物理の進展 – NY, YY相互作用(高橋(俊))
- 高エネルギー重イオン衝突による相図探索(坂口)
- 中性子過剰核---対称エネルギー---対相関(中村)
- 高エネルギー重イオン衝突における $\Lambda\Lambda$ 相関と $\Lambda\Lambda$ 力
- 近年の理論の進展が面白い！
- 格子QCDバリオン間力(根村)
- 中性子星物質中の対相関・対称エネルギー・パスタ(飯田)
- 最近の天体観測結果が面白い！
- 1.97 M_{\odot} 中性子星の発見 (Demorest+, 2010)
- 半径の測定 (高橋(忠))
- 速い冷却の発見 (Page+, 2011)

最近の中性子星観測の話題

- 中性子星の質量・半径同時測定
- TOV方程式を使うと M (質量)- R (半径)関係式と EOS は1対1対応
- M , R が同時に決まると、EOS に非常に強い制限
[観測された(M , R) の”点”を通る必要がある！]
- X線バースト観測 → 半径(+質量)の情報

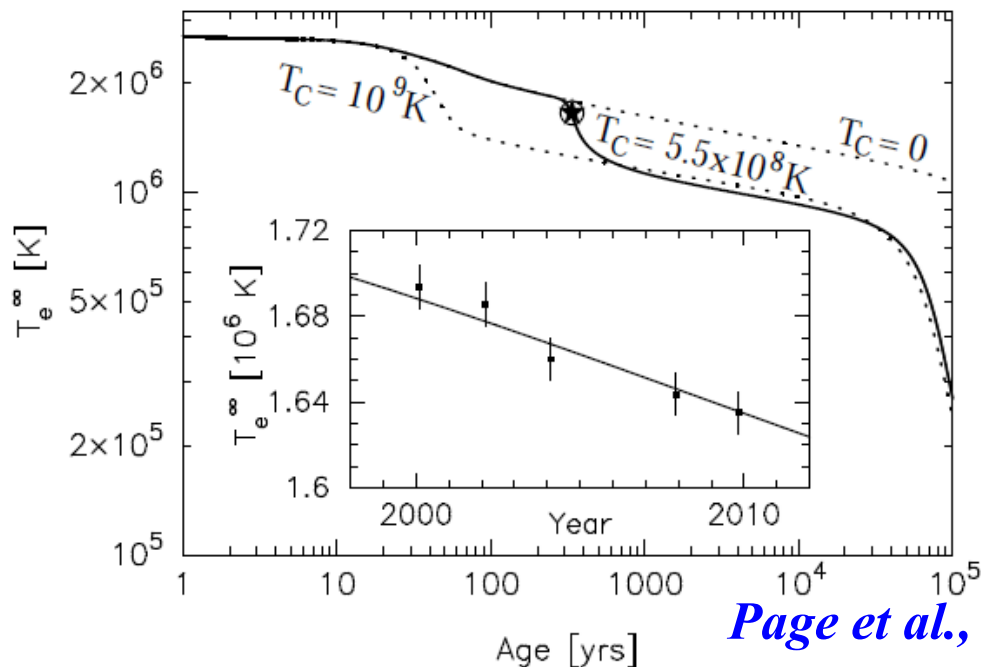


Ozel, Baym & Guver,
PRD82('10)101301 [arXiv: 1002.3153]

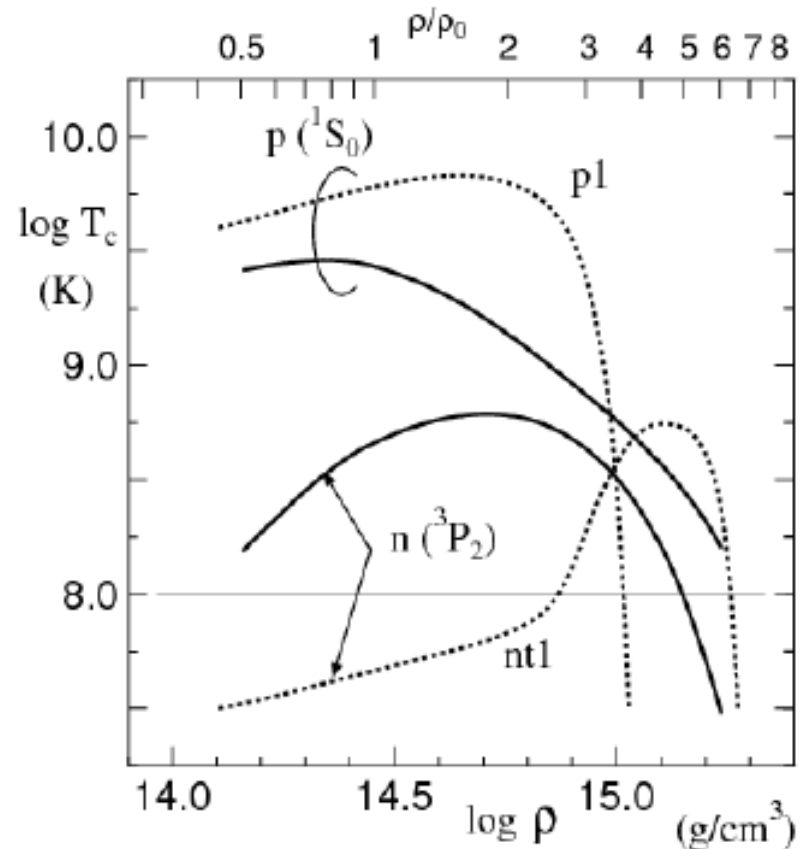
Steiner, Lattimer, Brown, *ApJ 722 (2010) 33*
[arXiv:1005.0811]

核子超伝導状態と冷却曲線

- 表面温度測定と冷却曲線
- 超伝導状態 → ギャップ → ν 放出の抑制
- Cas A の正確な温度測定と冷却率の測定
Heinke, Ho, ApJ 719('10) L167 [arXiv:1007.4719]
Page et al., PRL 106 ('11) 081101 [arXiv:1011.6142]
- neutron pair のbreaking & formation
- 核物理への宿題: $5\rho_0$ 程度までのギャップを正確



Page et al., 2011



Takatsuka

Symmetry Energy(対称エネルギー)

■ Summary of Nuclear Symmetry Energy workshop

NuSym11 <http://www.smith.edu/nusym11>

$$E_{\text{sym}}(\rho_0) = 31\text{-}34 \text{ MeV}, L = 50\text{-}110 \text{ MeV}$$

extracted from various observations.

● Mass formula Moller ('10)

● Isobaric Analog State

Danielewicz, Lee ('11)

● Pygmy Dipole Resonance

Carbone+ ('10)

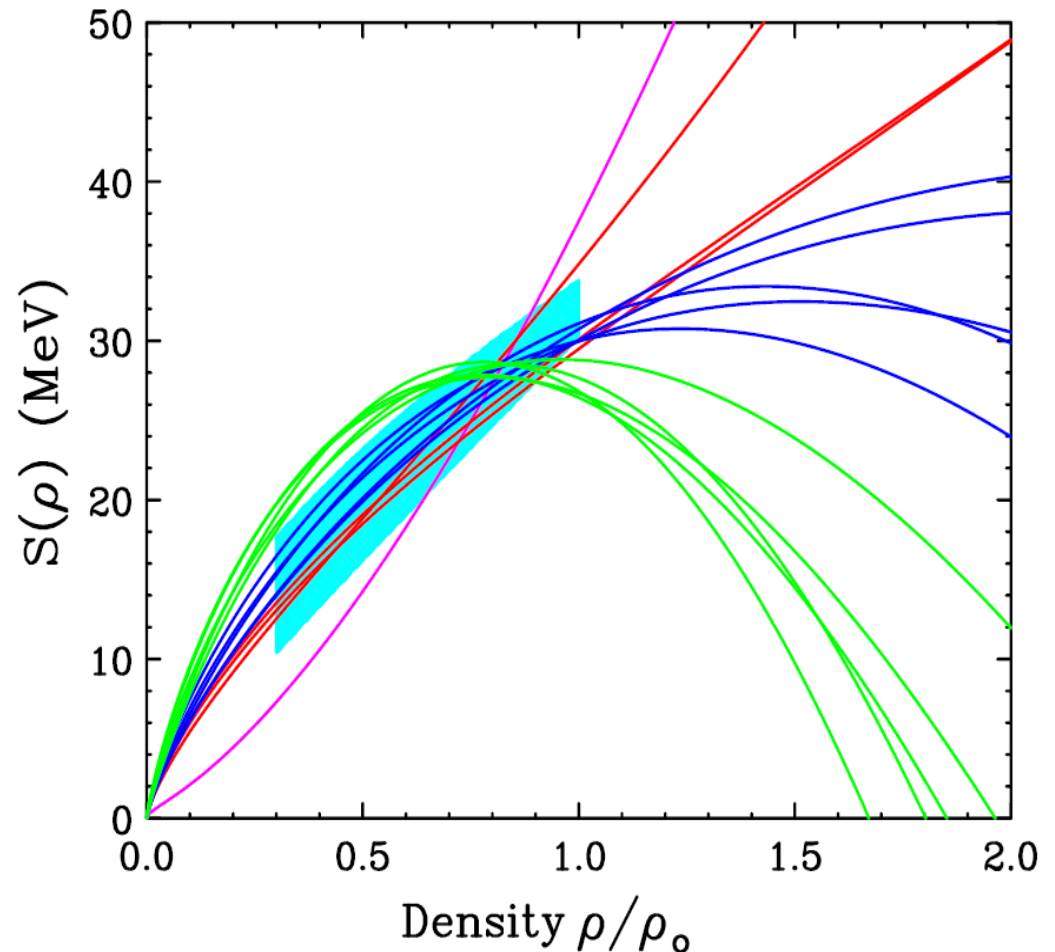
● Isospin Diffusion

NSCL/MSU group

● Neutron Skin thickness

J.Zenihiro+ ('10)

■ 注意: これらは全て ρ_0 以下の密度での E_{sym} に敏感。



中性子星核物質状態方程式

■第一原理的計算

Akmal, Pandharipande, Ravenhall ('98), Kanzawa, Oyamatsu, Sumiyoshi, Takano ('07)
Brockmann, Machleidt ('90), Schulze, Polls, Ramos, Vidana ('06),
Nishizaki, Takatsuka, Yamamoto ('02), ...

●現実的な核力から出発して、多体問題を直接解く(GFMC, Variational)
あるいは有効相互作用を導出(DBHF, G-matrix)

●飽和性の説明には一般に現象論的3体力・密度依存斥力などが必要

●ハイペロンを導入するとさらに軟化 → Universal 3B Repulsion (NTY)

■非相対論的平均場模型 *E.g. Lattimer, Swesty ('91), Nakada ('08)*

●密度依存力(Skyrme力、M3Y)平均場+圧縮性液滴

■相対論的平均場模型

Muller, Serot ('96), Glendenning, Moszkowski ('91), Shen, Toki, Oyamatsu, Sumiyoshi,
('98), Ishizuka, AO, Tsubakihara, Sumiyoshi, Yamada('08)

●相対論的平均場(RMF)+非一様性(Thomas-Fermi近似)

●相対論効果による斥力

ハイペロンを導入しても1.5 M_☉程度の中性子星を支える *Appendix*

Glendenning & Moszkowski (1991)

RMF with hyperons

$n, p, Y, \sigma, \omega, \rho / \sigma^3, \sigma^4$

Give $x_\sigma = g_{\sigma Y} / g_{\sigma N}$ and fix $x_\omega = g_{\omega Y} / g_{\omega N}$ to fit Λ separation energy.

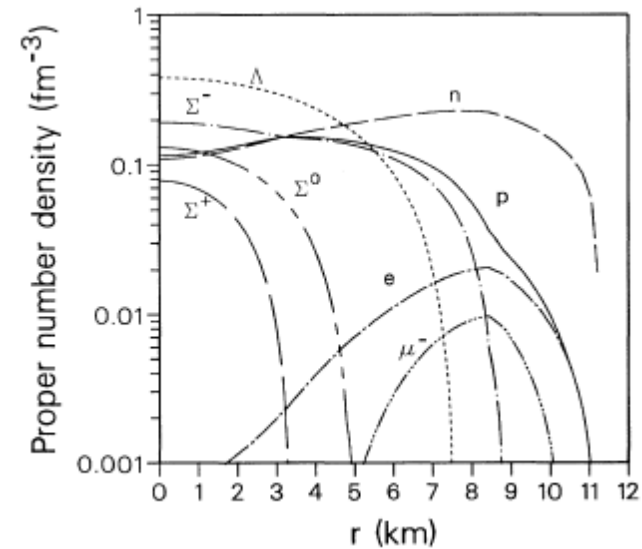
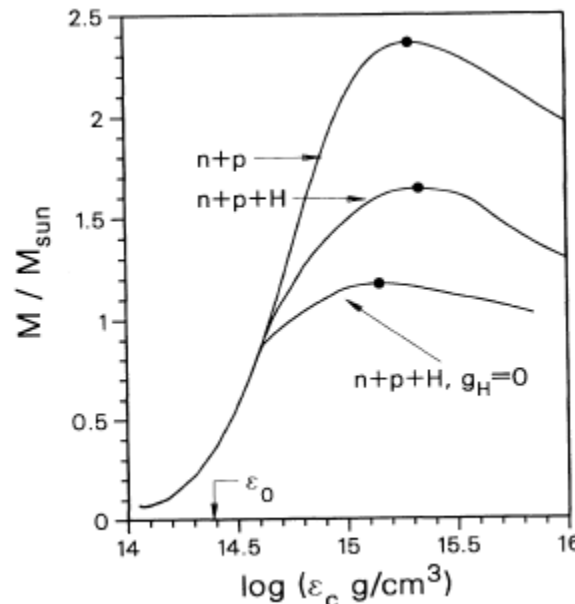
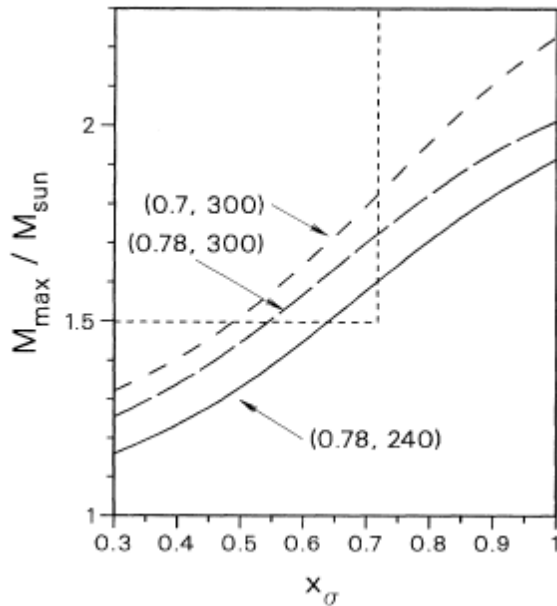
$x_\sigma = 0.6 \rightarrow m^*/m = 0.7, x_\omega = 0.653$

(similar to quark number counting result, $x = 2/3$)

TABLE I. Values of the hyperon-to-nucleon scalar and vector coupling that are compatible with the binding of -28 MeV for Λ hyperons in nuclear matter for two values of the nucleon (Dirac) effective mass at saturation density.

x_σ	$m^*/m = 0.7$	x_ω	$m^*/m = 0.78$
0.2	0.131		0.091
0.3	0.261		0.233
0.4	0.392		0.375
0.5	0.522		0.517
0.6	0.653		0.568
0.7	0.783		0.800
0.8	0.913		0.942
0.9	1.04		1.08
1	1.17		1.23

$M_{\text{max}} \sim 1.6 M_{\text{sun}}$

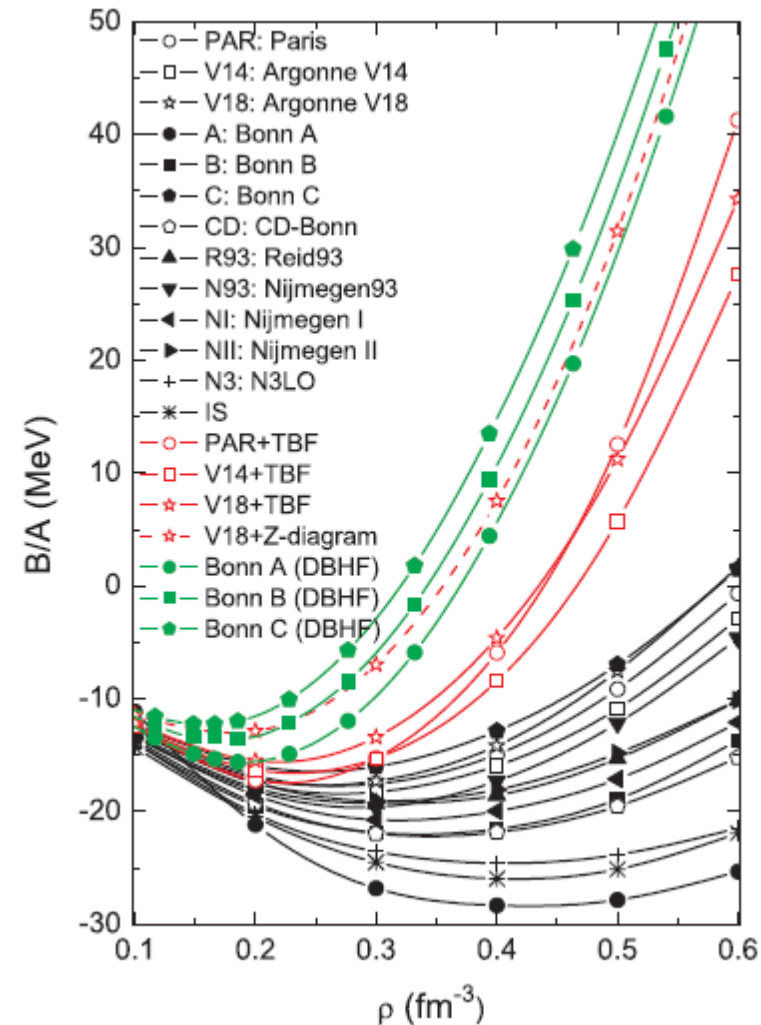
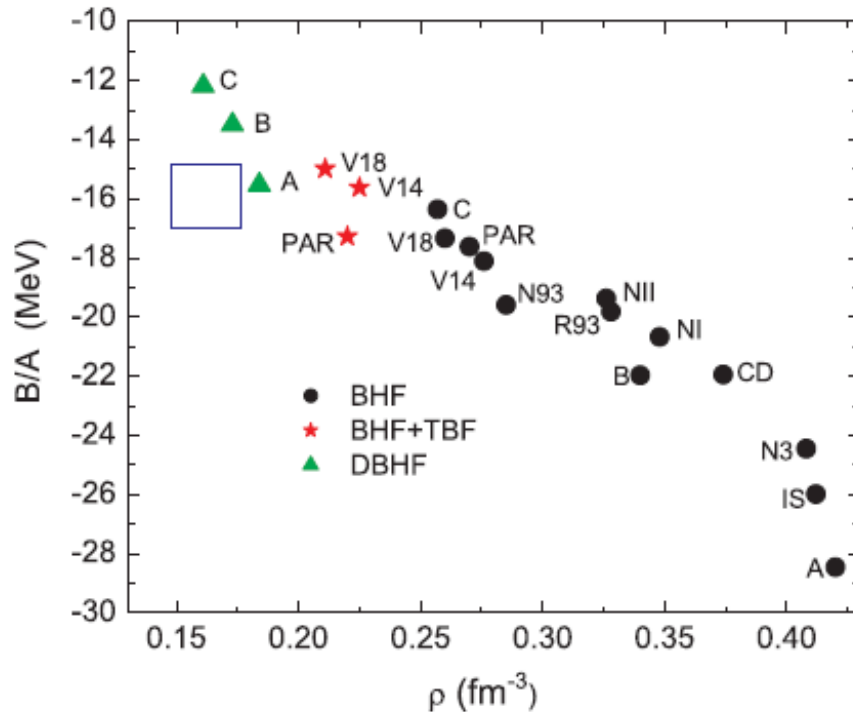


N.K.Glendenning, S.A.Moszkowski, PRL67('91)2414

Bruckner-Hartree-Fock理論

■現実的核力からスタートして、
有効相互作用(G-matrix)と一粒子エネルギー
をself-consistentに決定。

■飽和点を再現するには、3体力が必要。
→ 藤田・宮沢タイプ(バリオン共鳴経由)の
3体力(2 π 交換)
+ 理論的3体力(or 相対論効果)



Z.H.Li, U. Lombardo, H.-J. Schulze, W. Zuo, L. W. Chen, H. R. Ma, PRC74('06)047304.

BHF with Hyperons

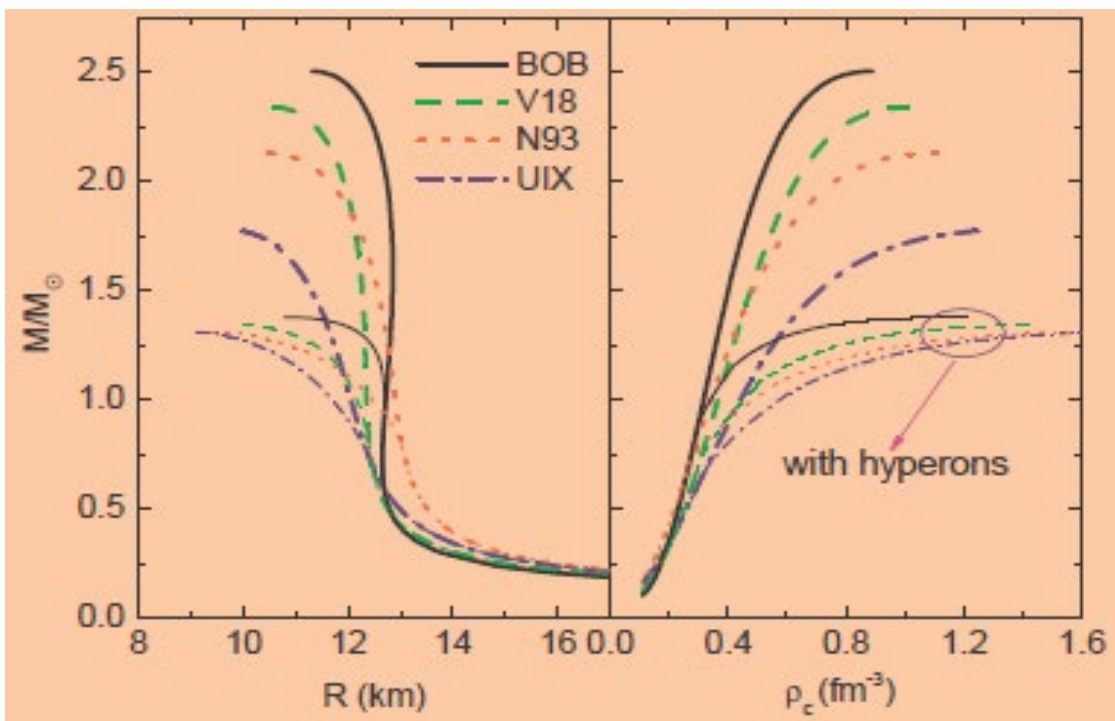
■現実的NN, NY 力から構成した有効相互作用(微視的有効相互作用)

*3体力(現象論を含む)

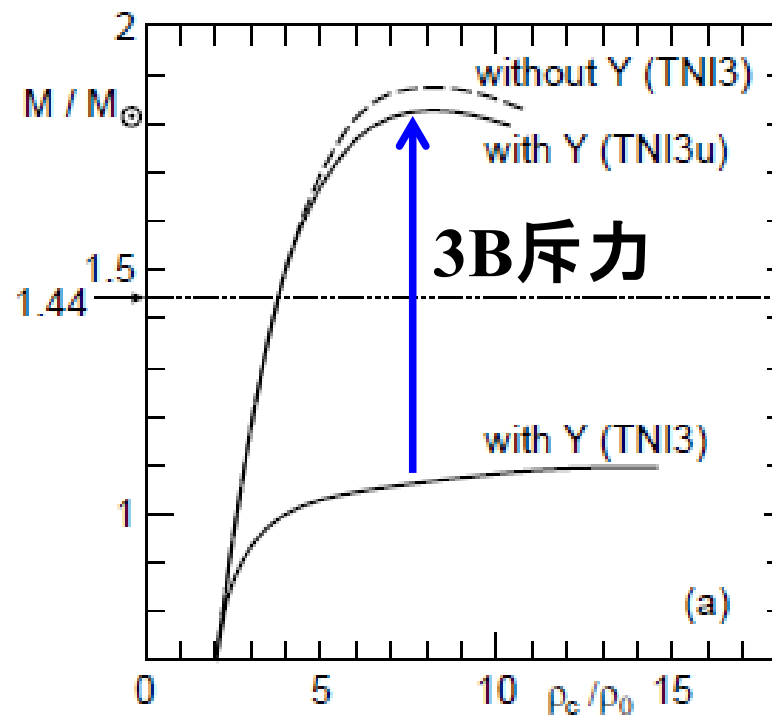
●相互作用依存性 (V18, N93, ...) 大 → ハイパー核情報が必要。

E.Hiyama, T.Motoba, Y.Yamamoto, M.Kamimura / H.Tamura et al.

●3B力を入れないと中性子星はつぶれる。



*H.J.Schulze, A.Polls, A.Ramos, I.Vidana,
PRC73('06),058801.*



*S. Nishizaki, T. Takatsuka,
Y. Yamamoto, PTP108('02)703.*

相対論的平均場理論(Relativistic Mean Field)

■RMFのパラメータ

→ MB 結合定数、中間子質量、非線形結合

●原子核の性質

→ σN , ωN , ρN 結合定数は確立

● σ^3 and σ^4 項 → EOS のソフト化

J. Boguta, A.R. Bodmer NPA292('77)413,

NL1:P.-G.Reinhardt, M.Rufa, J.Maruhn,

W.Greiner, J.Friedrich, ZPA323('86)13.

NL3: G.A.Lalazissis, J.Konig, P.Ring,

PRC55('97)540.

● ω^4 項 → DBHFの結果をsimulate

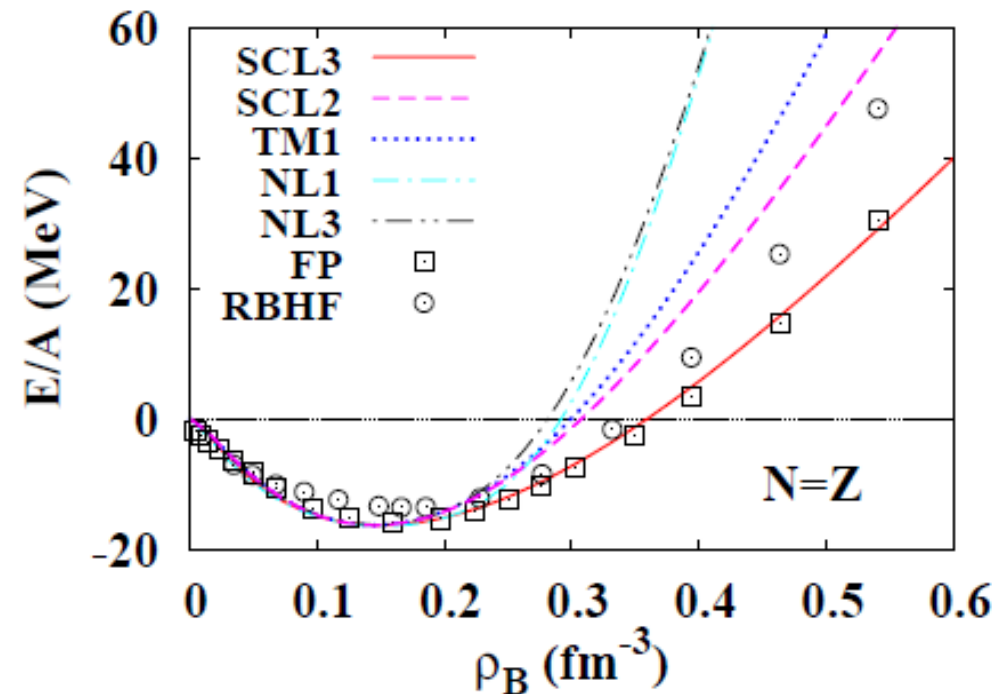
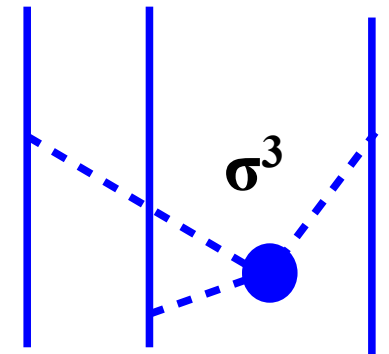
TM: Y. Sugahara, H. Toki,

NPA579('94)557;

R. Brockmann, H. Toki, PRL68('92)3408.



→ 高密度領域では大きな違い

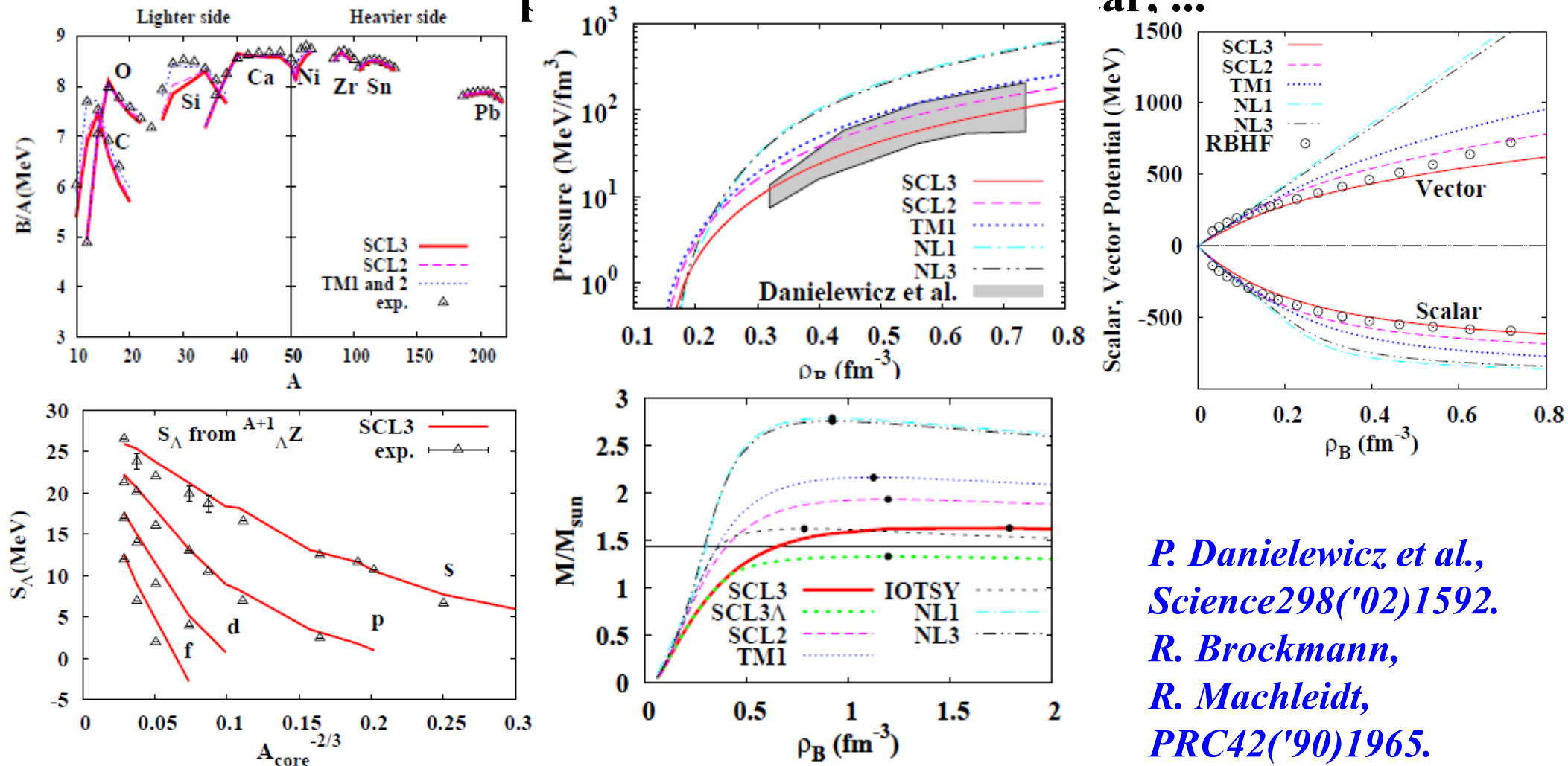


K. Tsubakihara, H. Maekawa, H. Matsumiya, AO, PRC81('10)065206.

Fit as many as known observables

K. Tsubakihara, H. Maekawa, H. Matsumiya, AO, PRC81('10)065206.

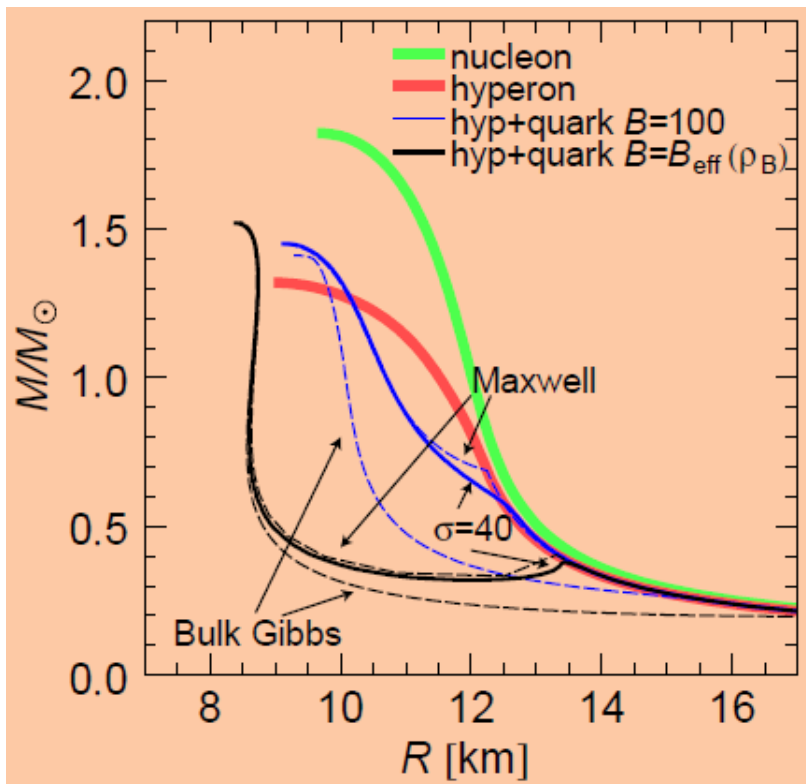
EOS, Nuclear B.E., High density EOS from HIC, Vector potential in DDME δ , Hypernuclear Separation Energy Neutron Star, ...



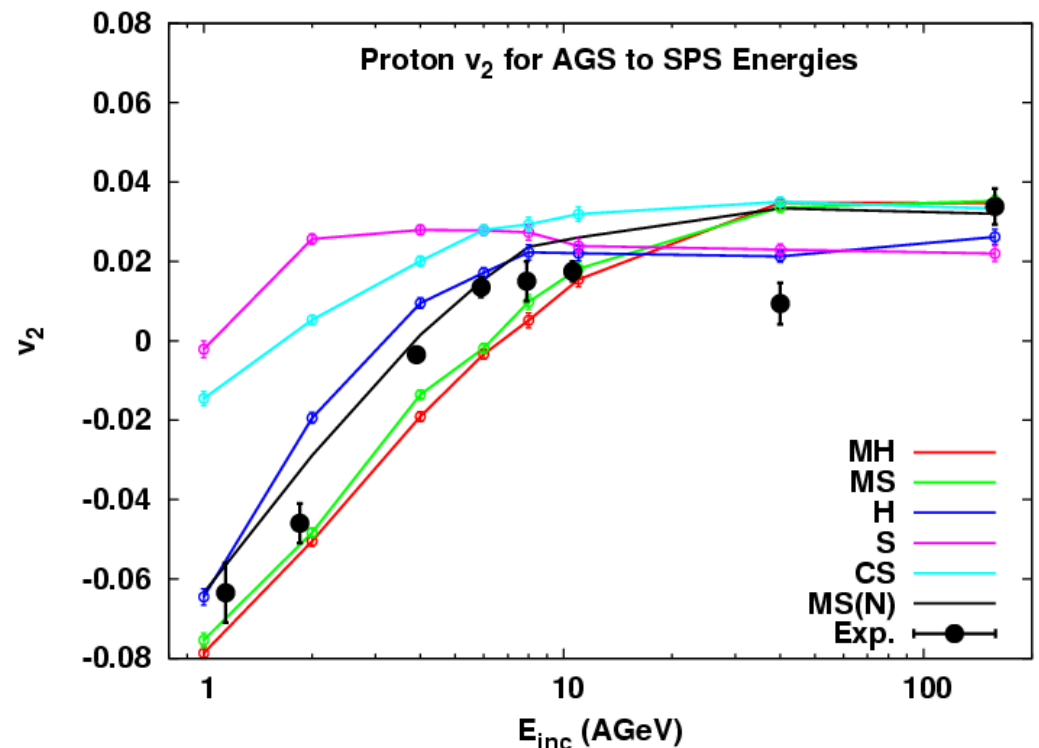
*P. Danielewicz et al.,
Science 298('02)1592.
R. Brockmann,
R. Machleidt,
PRC42('90)1965.*

How can we solve it ?

- No Hyperons, No Kaons → How can it be consistent with YN int ? (μ_B in NS ~ 1650 MeV in core in TM1)
- Stiff nuclear matter EOS + transition to quark matter at small ρ_B → How can it be consistent with HIC data at AGS-SPS energies ?
- Three-body force for baryons, quarks, ...



H.-J. Schulze, NFQCD10



M. Isse, A.O., N. Otuka, P. K. Sahu, Y. Nara, PRC72 ('05)064908

RMFへのハイペロンの導入

■中間子・ハイペロン結合

- フレーバー・スピン(SU(6))対称性
~ クォーク数カウンティング

Glendenning ('81)

$$x_{\sigma\Lambda} \equiv g_{\sigma\Lambda}/g_{\sigma N} = 2/3$$

$$x_{\omega\Lambda} \equiv g_{\omega\Lambda}/g_{\omega N} = 2/3$$

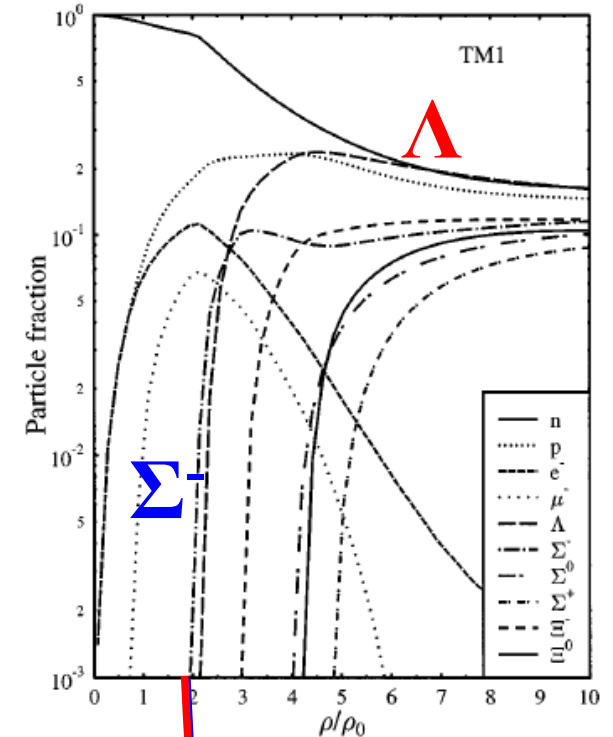
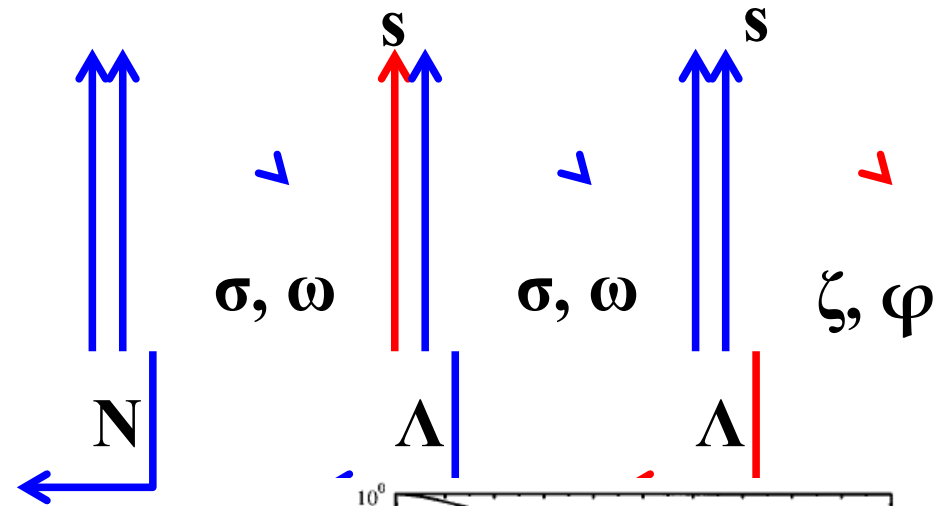
→ 核物質中のポテンシャルの比
($U_{\Lambda} \sim 2/3 U_N$) と対応。

c.f. π 交換をもとに考えると $x_{\sigma\Lambda} \sim 1/3$

Brockmann, Weise ('77)

- ss からなるスカラー、ベクトル中間子
(ζ, φ)との結合を導入

- 高密度物質中の大きなフェルミエネルギー、
弱い斥力により、(2-4) ρ_0 でハイペロンが出現

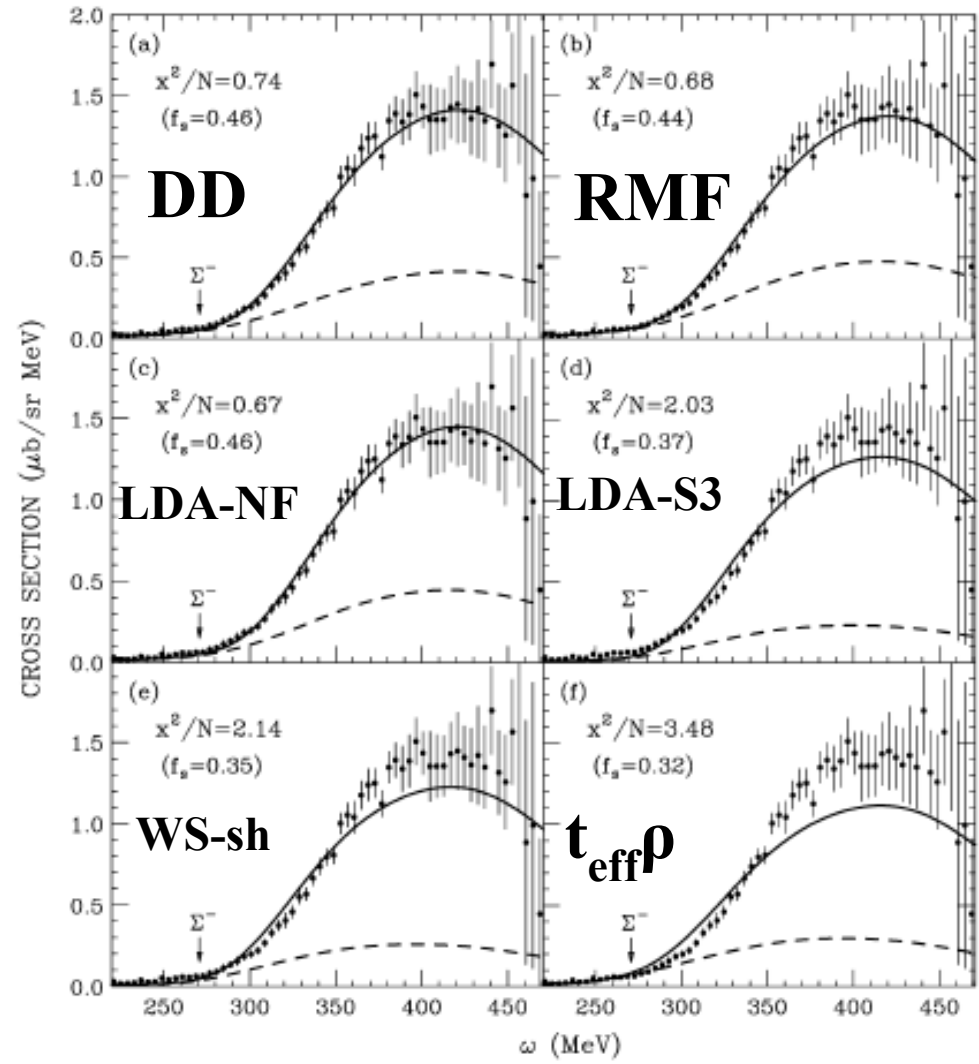
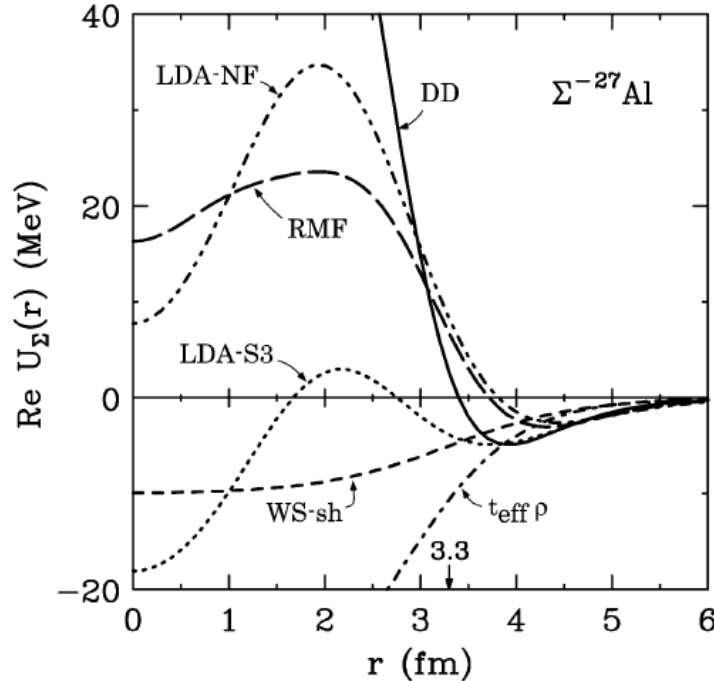


*J. Schaffner, I. N. Mishustin,
PRC 53('96)1416*

RMFへのハイペロンの導入

■クォーク数カウンティングに従うと、
 $U_{\Sigma} \sim U_{\Lambda} \sim 2/3 U_N \sim -30 \text{ MeV}$
 のはず。

■ Σ バリオン生成反応データを
 分析すると、 $U_{\Sigma} > 0$ (斥力)



Harada, Hirabayashi ('05)

ハイペロンを含むRMFでの中性子星

Ishizuka, AO, Tsubakihara, Sumiyoshi, Yamada, *J. Phys. G35(08),085201*

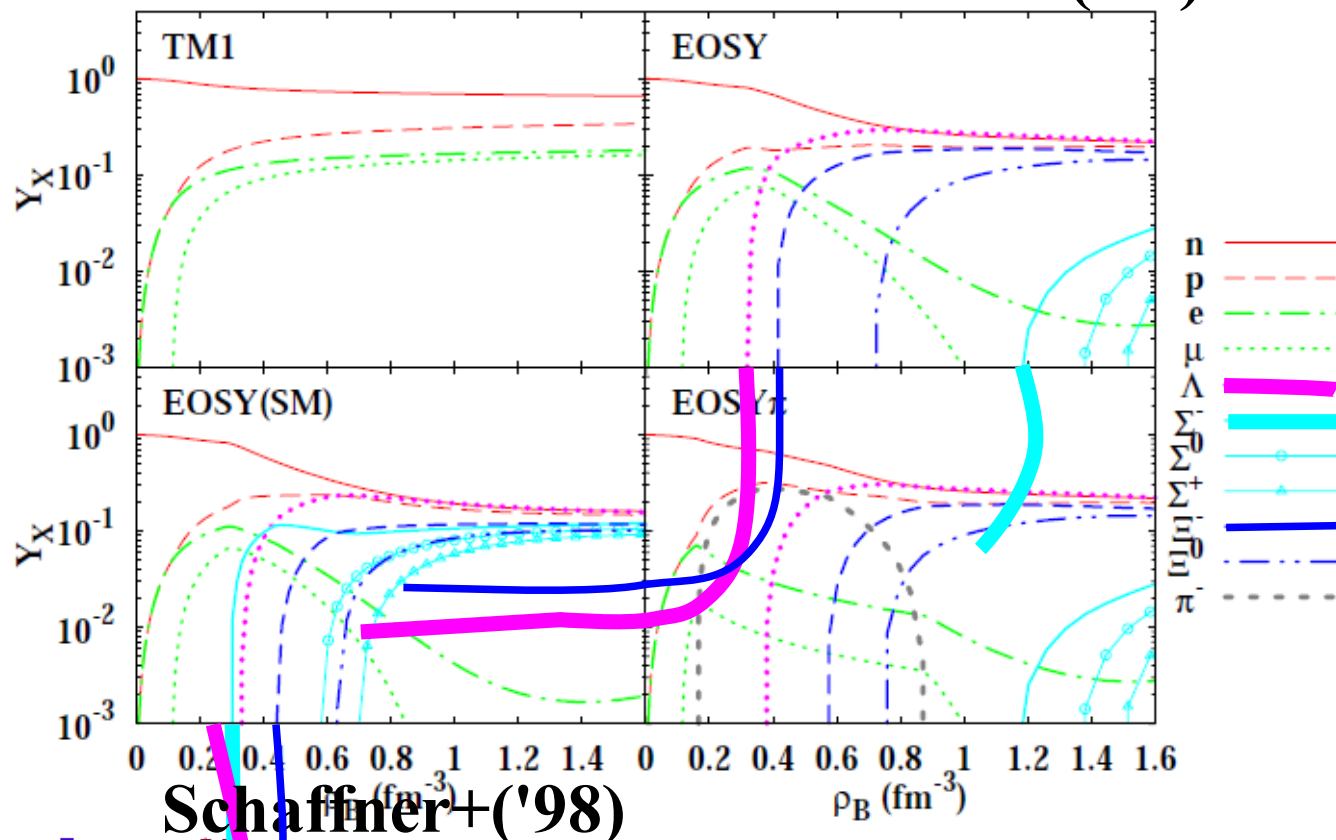
Hyperon Effect is DRASTIC

● $M_{\max} = 2.1 M_{\odot} \rightarrow 1.56 M_{\odot}$

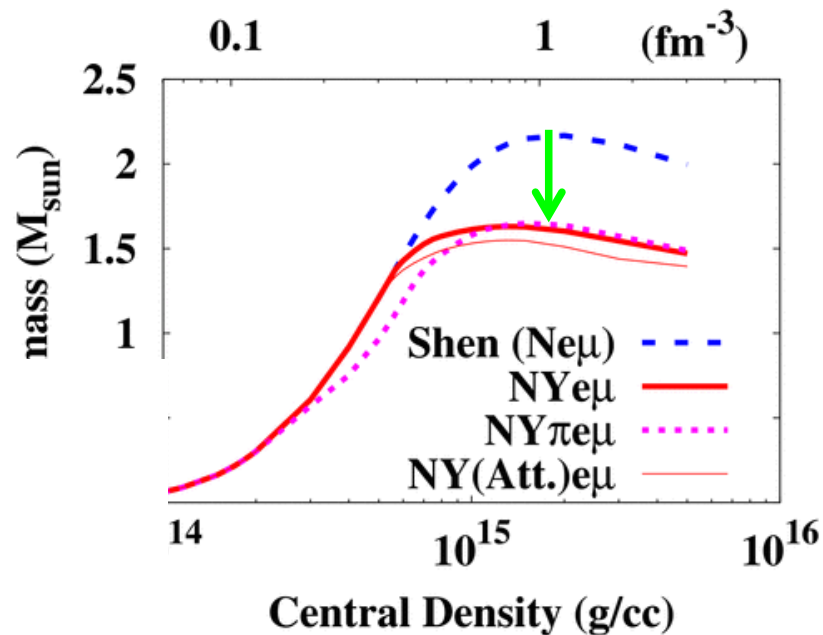
● Composition $Y_{\Lambda} \sim Y_n$

● Large fraction of Ξ

Neutron Star Matter **Ishizuka+('08)**



Schaffner+('98)



c.f. H. Shen+('09)

$\rightarrow n, p, \Lambda$ EOS

何が中性子星を支えるのか？

■ 棄却されたEOS

= SU(3) (or SU(6))対称性に基づく中間子交換起源の2体斥力による平均場の状態方程式

Glendenning, Moszkowski ('91)

● 相対論効果を含めても、 $\omega\Lambda$ 結合 $\sim (\omega N \text{ 結合}) \times (2/3)$ とすると、 $1.97 M_{\odot}$ は支えられない。

→ **ベクトル中間子交換以外の起源の斥力がある！**

■ 高密度での斥力の起源は？

● 3体斥力の導入

Nishizaki, Takatsuka, Yamamoto ('02)

● 高次項の導入 *Bednarek, Haensel et al.('11)*

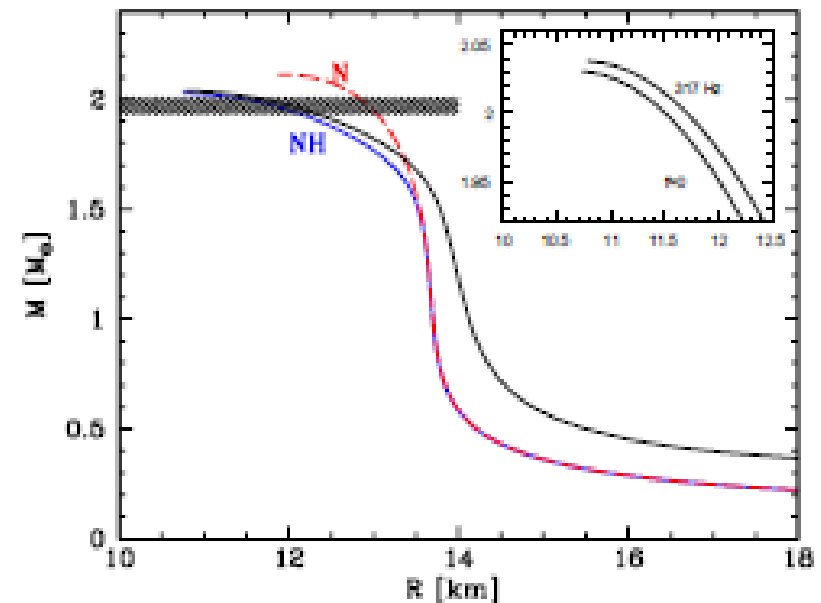
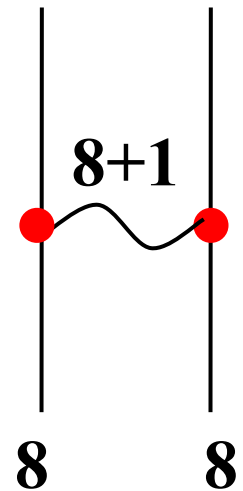
● Vector 結合にSU(6)の破れを導入

Weisenborn, Chatterjee, Schaffner-Bielich ('11)

● クォーク物質への相転移

この学会での講演5件！

(高塚、益田、山崎、李、上田)



Bednarek, Haensel et al.('11)

3体力を含むRMF

3体力を含む相互作用項

$$\delta L = -U_\sigma(\sigma) - \frac{1}{2} c_{\sigma\omega} \sigma \omega_\mu \omega^\mu - \frac{1}{4} c_{\omega\omega} (\omega_\mu \omega^\mu)^2$$

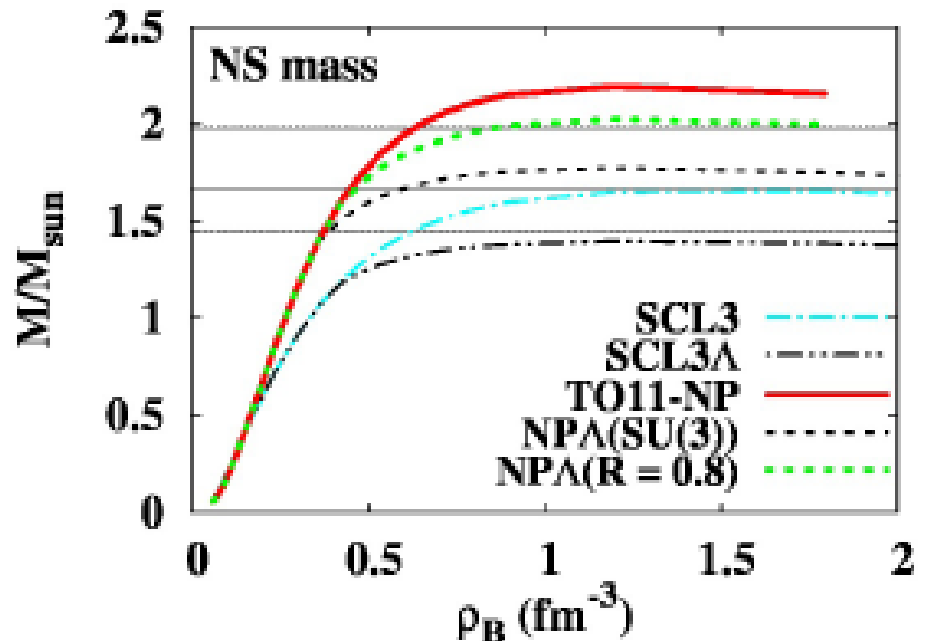
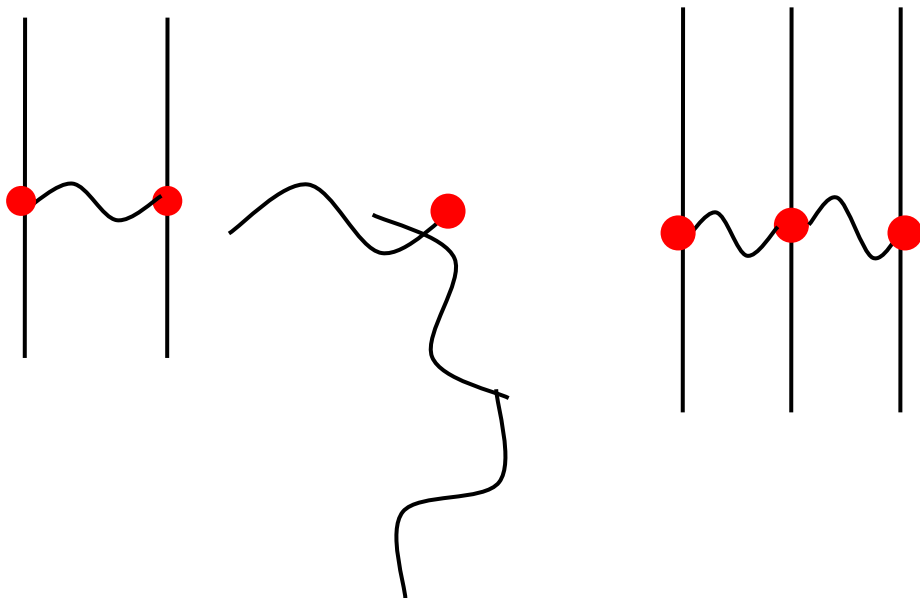
$$- \sum_B \bar{\Psi}_B [g_{\sigma\sigma B} \sigma^2 + g_{\sigma\omega B} \sigma \omega_\mu \gamma^\mu + g_{\omega\omega B} \omega_\mu \omega^\mu] \Psi_B$$

BBMM相互作用項は標準的なRMFでは無視

(場の再定義により他の項に吸収可能) *Furnstahl, Serot, Tang ('97)*

しかし場の再定義はNaive dimensional analysis (NDA)の次数を変えず

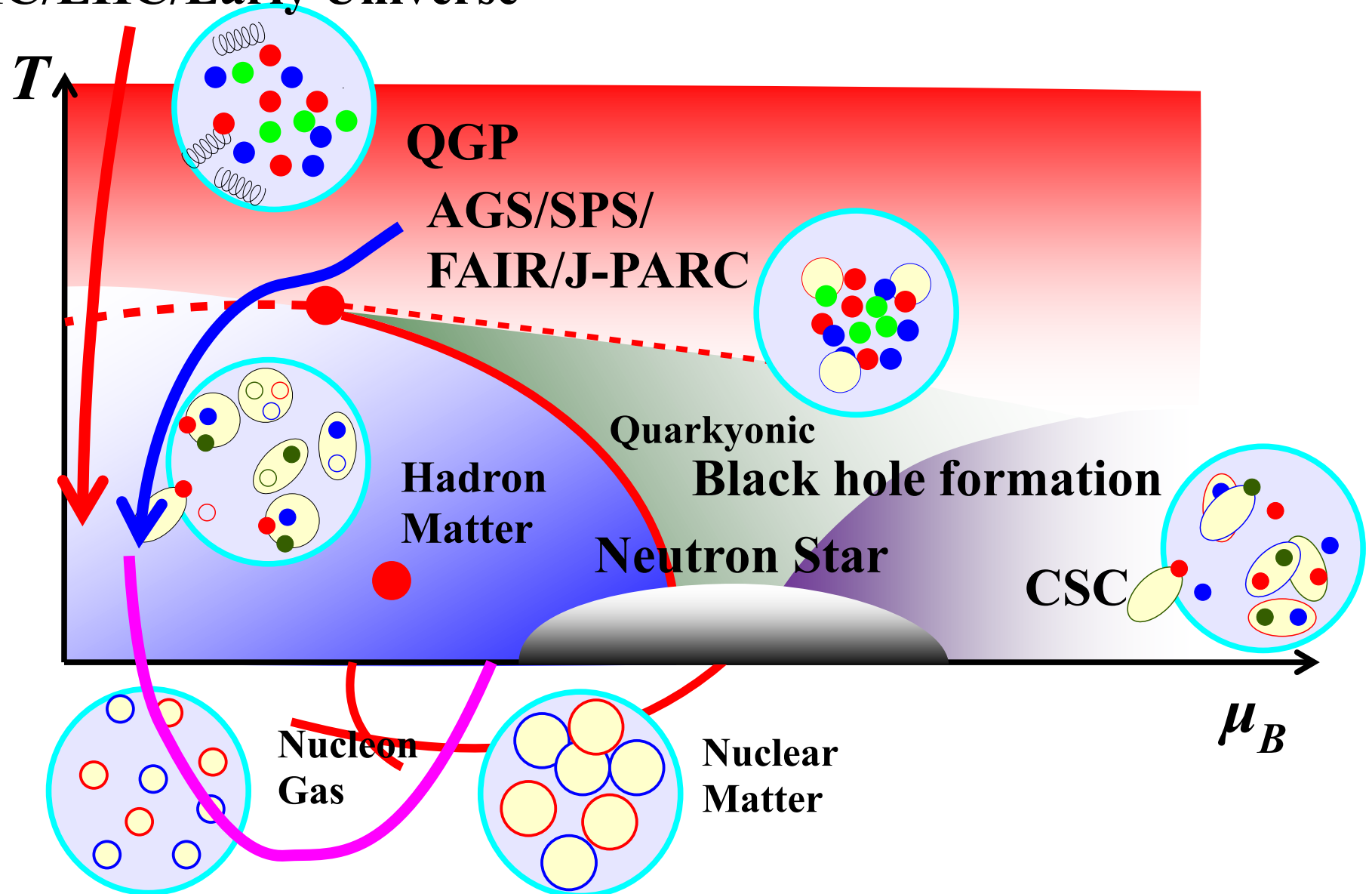
$$n = B/2 + M$$



Tsubakihara, AO, in prep.

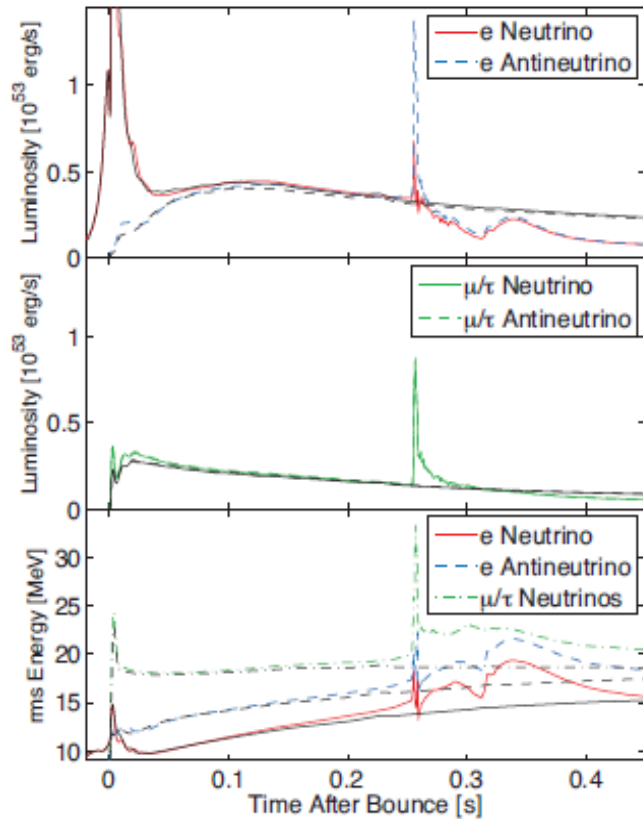
QCD Phase Diagram

RHIC/LHC/Early Universe



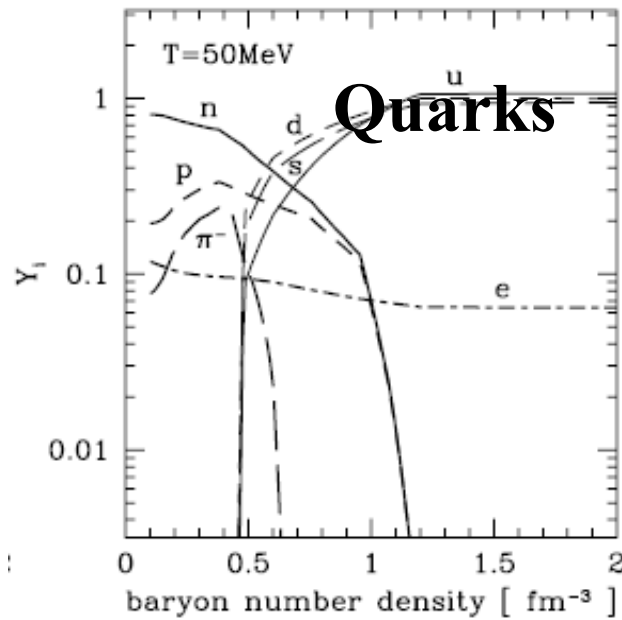
Can we detect Quark Matter ?

- Transition to Strange Quark Star during Supernovae → Second Shock (*Hatsuda, 1987; Sagert et al., 2009*)
- Earlier Collapse to Black Hole with Quark-Hadron Coexistence (*Nakazato, Sumiyoshi, Yamada, 2008*)



Sagert et al., 2009

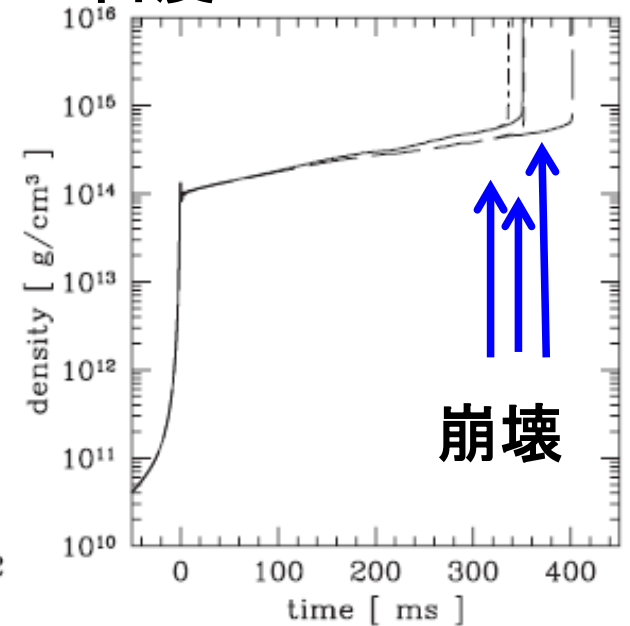
粒子比



密度

Nakazato, Sumiyoshi, Yamada

密度

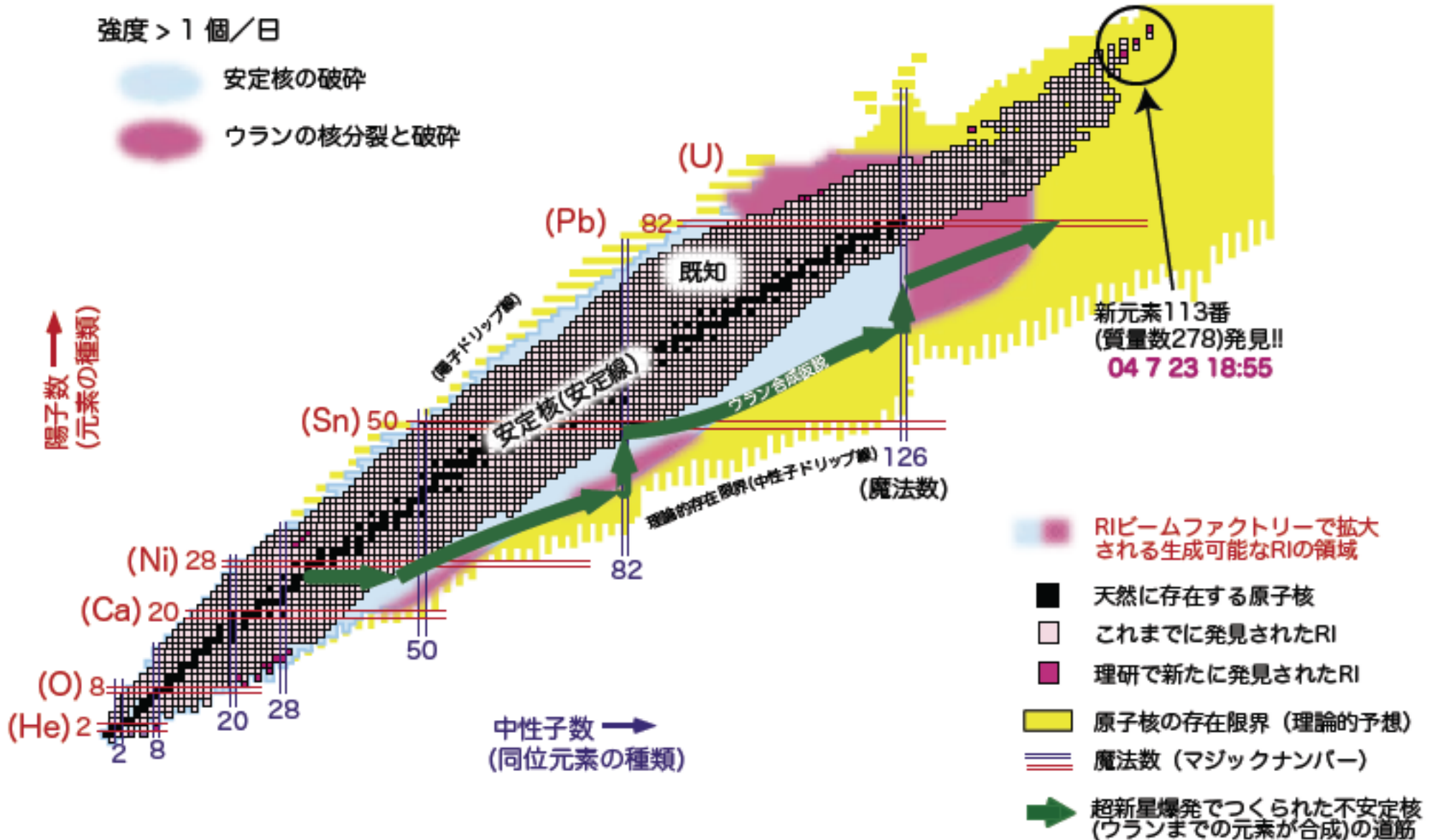


崩壊

時間

原子核の存在領域の拡大

Nishina Center RIBF Pamph.



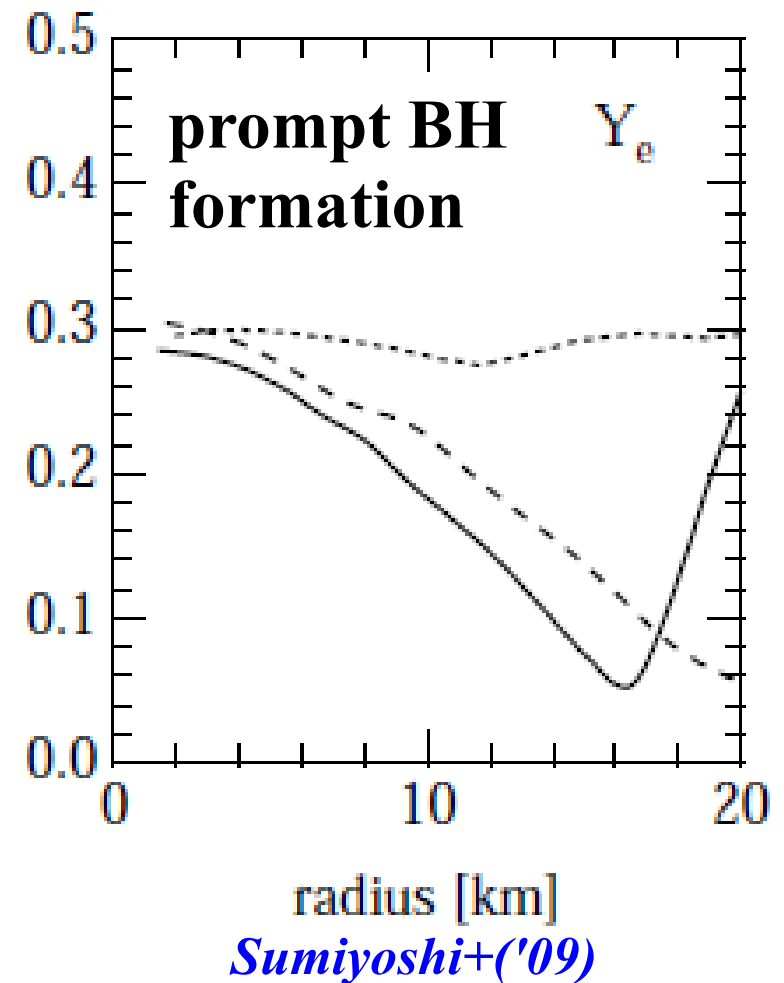
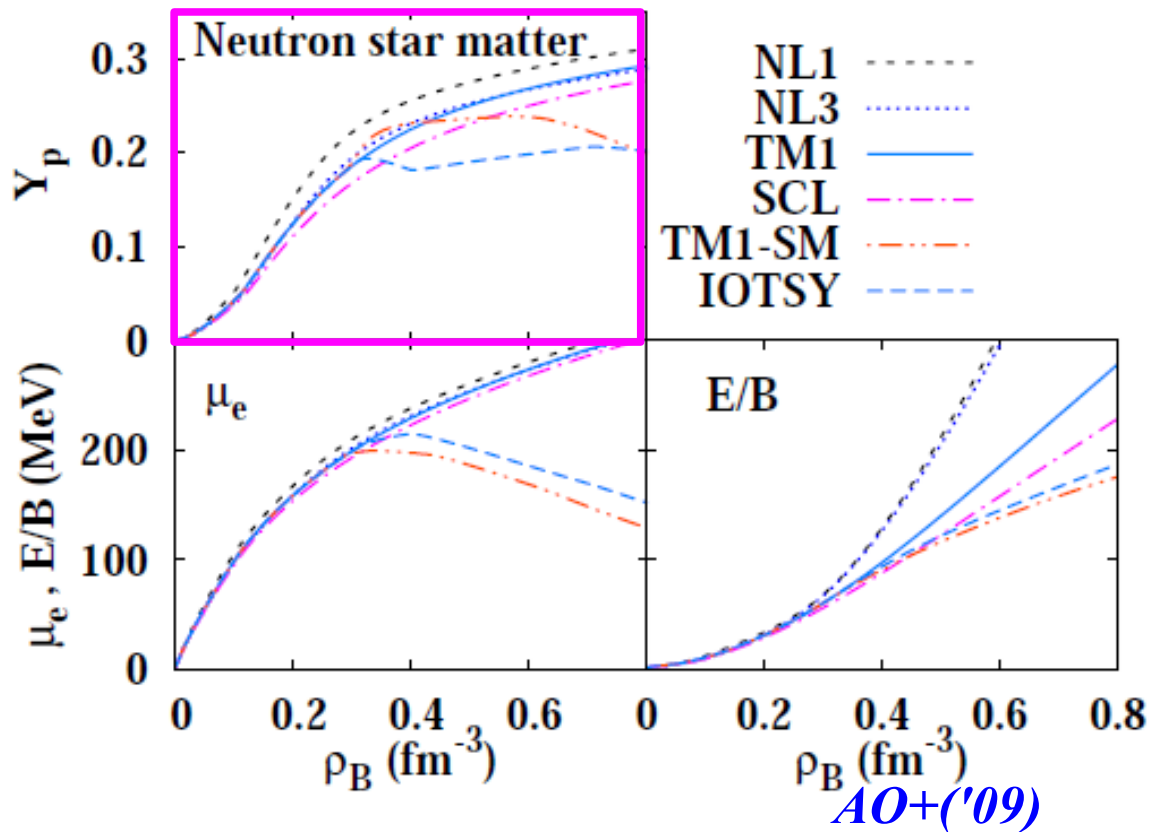
Compact Star Matter is Neutron Rich

Proton fraction in Compact Stars

Neutron star $Y_p \sim 0.1$ ($\rho_B \sim \rho_0$)

Supernova $Y_p \sim 0.3$ (bounce) (c.f. H. Suzuki's talk)

Black hole formation $Y_p \sim (0.1-0.3)$



中性子星コアの状態

■コア領域では様々な可能性

●ストレンジクォークを含むバリオン(ハイペロン)を含む物質

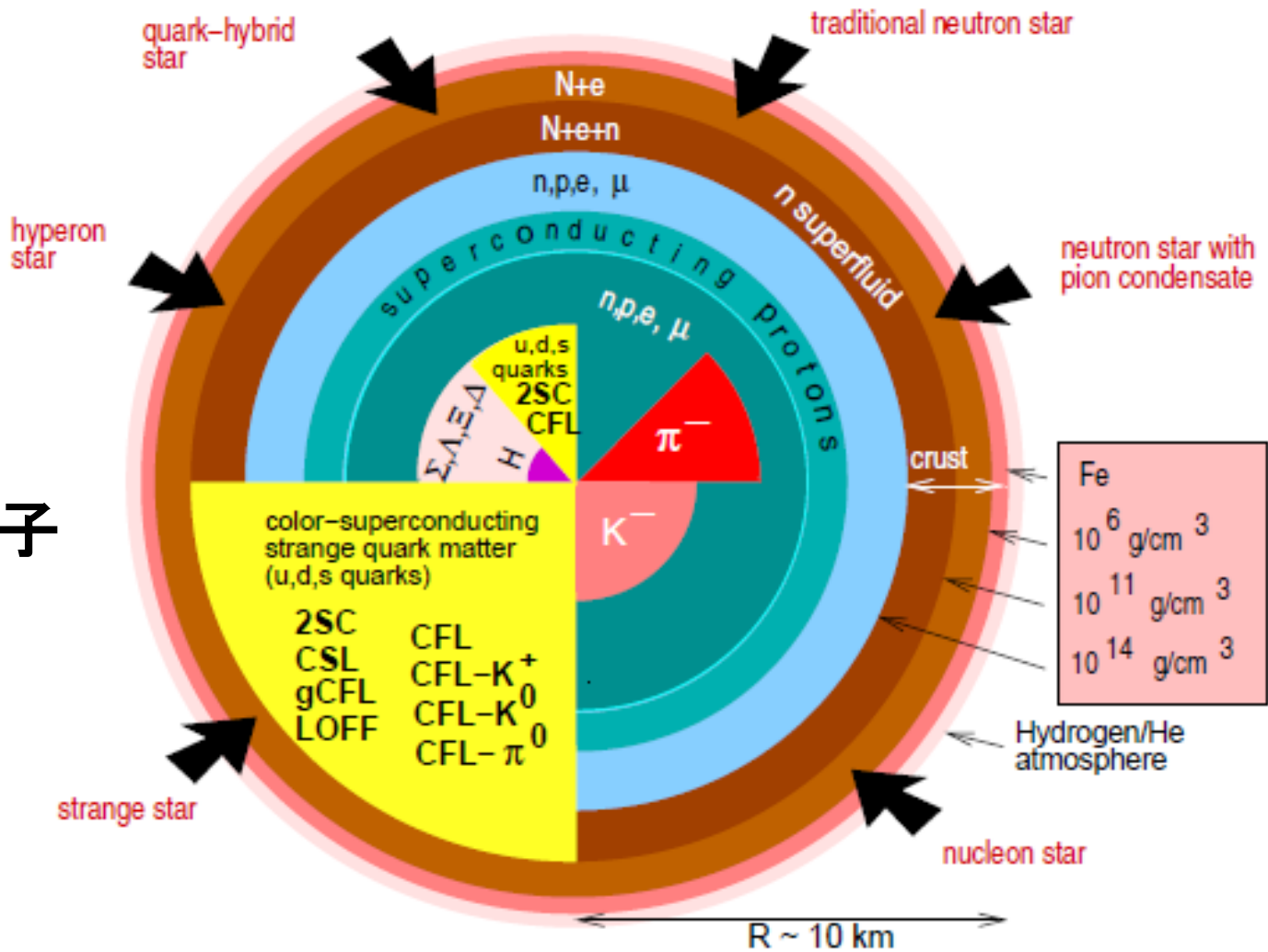
d u d u
 u s
 陽子 Δ ハイペロン

●中間子凝縮(K, π)

π 中間子 (反) K 中間子

●クォーク物質

●クォーク対凝縮状態 (カラー超伝導)

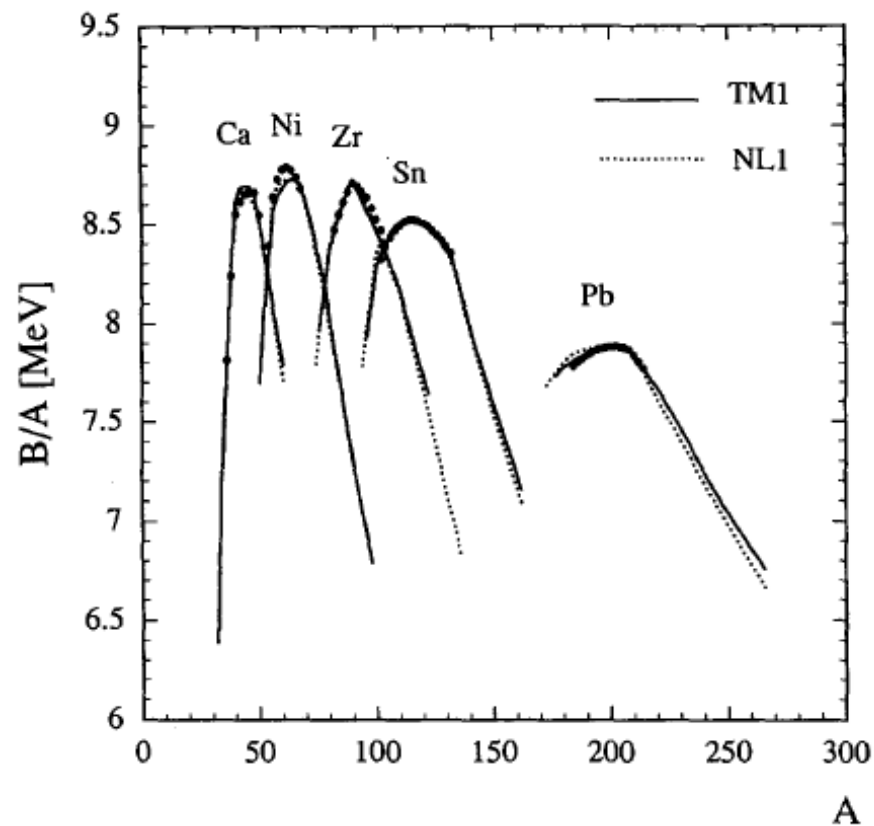
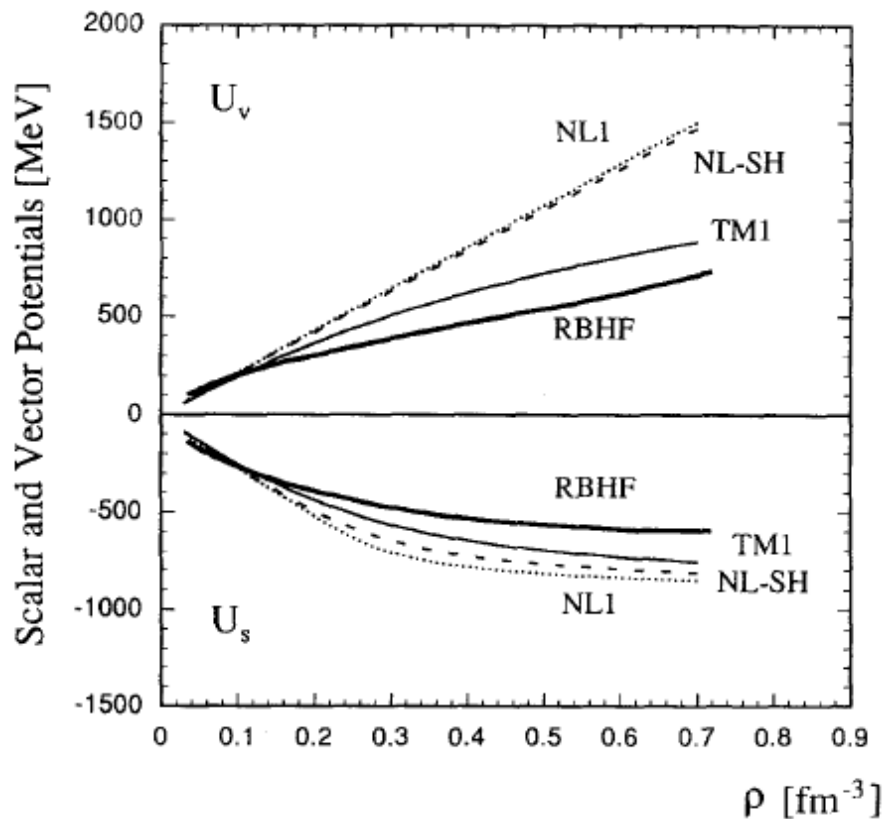


F. Weber, Prog. Part. Nucl. Phys. 54 (2005) 193



RMF with meson self-interaction

- 最も単純な RMF ($\sigma\omega$ 模型) ではEOSが硬すぎる($K > 600 \text{ MeV}$)
- Self-interaction term of mesons
- ω^4 の導入 \rightarrow 第一原理計算(DBHF)のベクトル・ポテンシャルを模倣
- σ^3, σ^4 の導入 \rightarrow 柔らかい状態方程式が可能



TM1: Sugahara, Toki ('94)

High Quality RMF models

いくつかのRMFパラメータによる計算は、「質量公式」に迫る精度で原子核質量を記述！

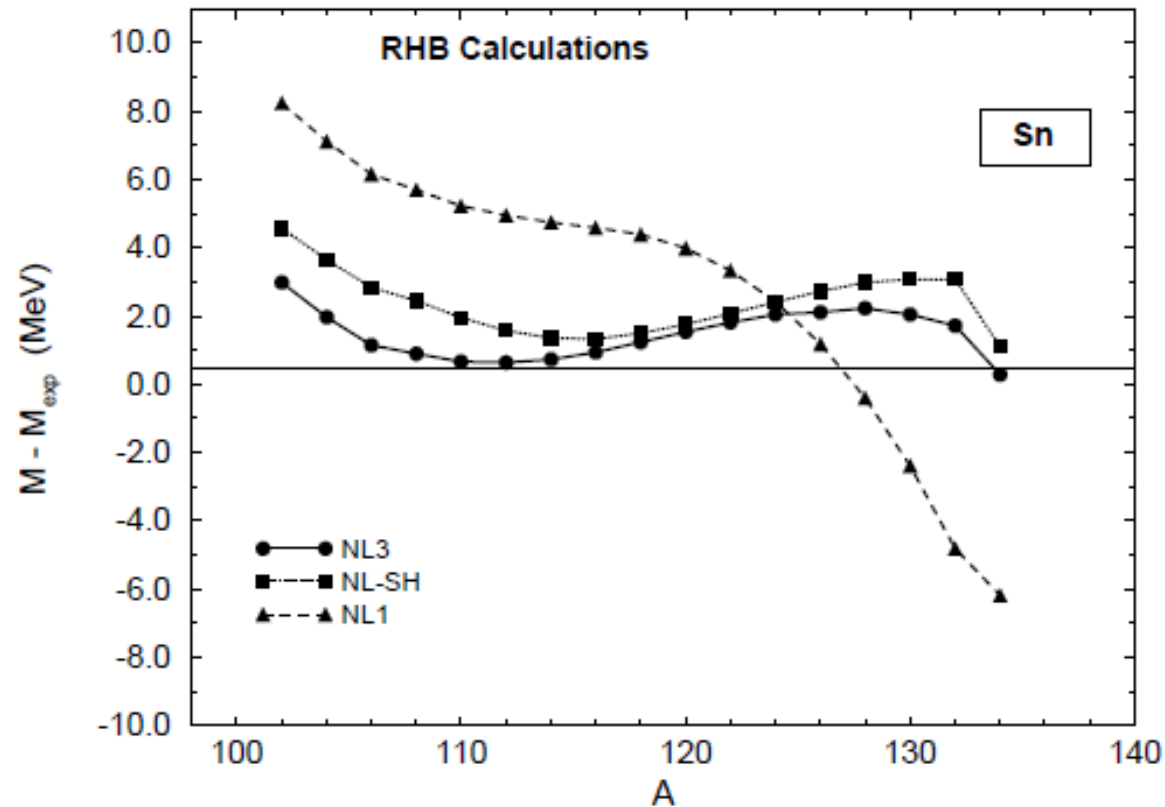
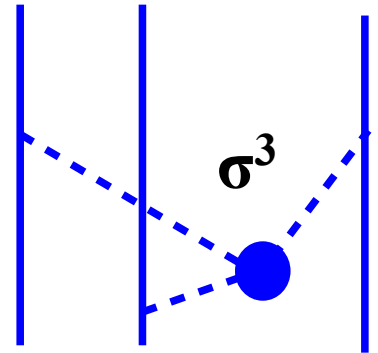
→ High Quality RMF models.

TM, NL1, NL3,

●全質量で1, 2 MeV の誤差 (NL3)

●Linear coupling (σN , ωN , ρN), self-energy in σ , ω

●場合によっては結合定数の密度依存性を導入。



NL3: Lalazissis, Konig, Ring, PRC55 ('97)540

Symmetry Energy

Summary of Nuclear Symmetry Energy workshop

NuSym11 <http://www.smith.edu/nusym11>

$$E_{\text{sym}}(\rho_0) = 31\text{-}34 \text{ MeV}, L = 50\text{-}110 \text{ MeV}$$

extracted from various observations.

TM1: barely OK

● Mass formula Moller ('10)

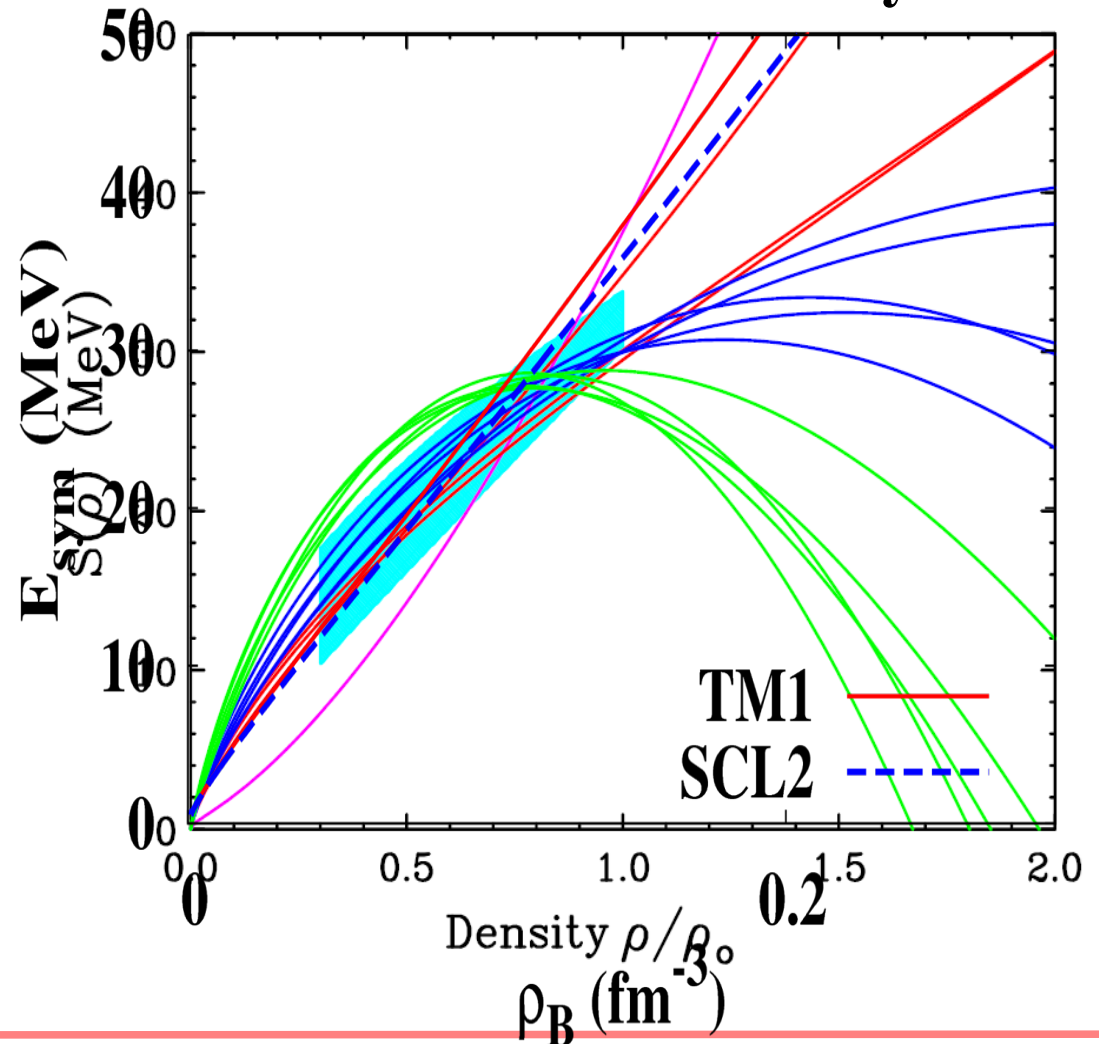
● Isobaric Analog State
Danielewicz, Lee ('11)

● Pygmy Dipole Resonance
Carbone+ ('10)

● Isospin Diffusion
NSCL/MSU group

● Neutron Skin thickness
J.Zenihiro+ ('10)

● 注意: これらは全て ρ_0 以下の
密度での E_{sym} に敏感。



Density dependence of Symmetry Energy

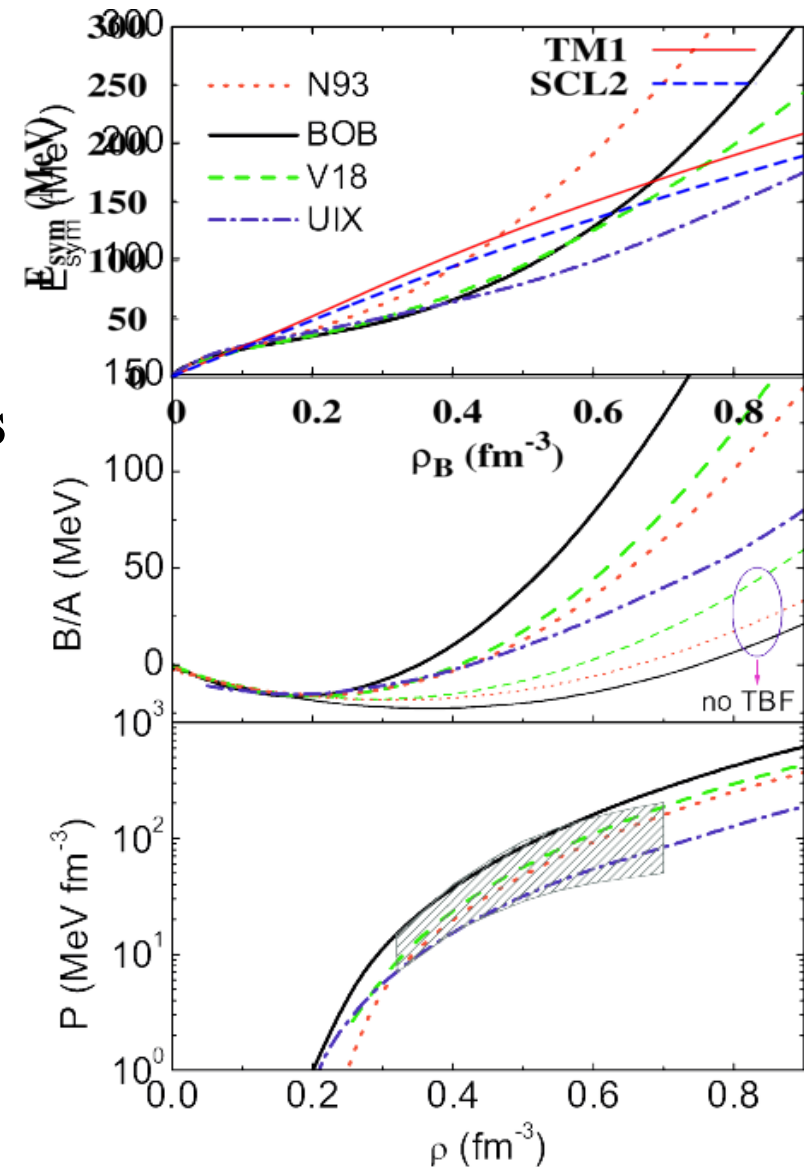
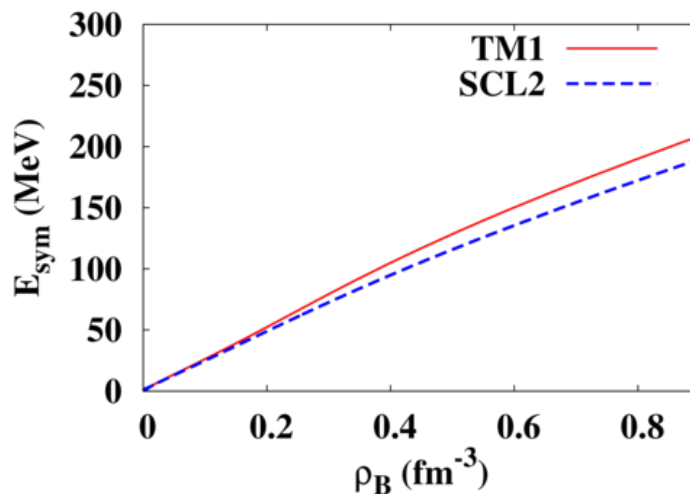
RMFs have small ambiguity in E_{sym} .

Is it true ?

RMF E_{sym} is determined to fit finite nuclear BE, thus reflects average values in the $\rho_B < \rho_0$ region.

Nuclear effective potential (g-matrix) suggests S-curve behavior of E_{sym} , while RMF gives E_{sym} almost linear in ρ_B .

→ RMF may overestimate E_{sym} at high density.

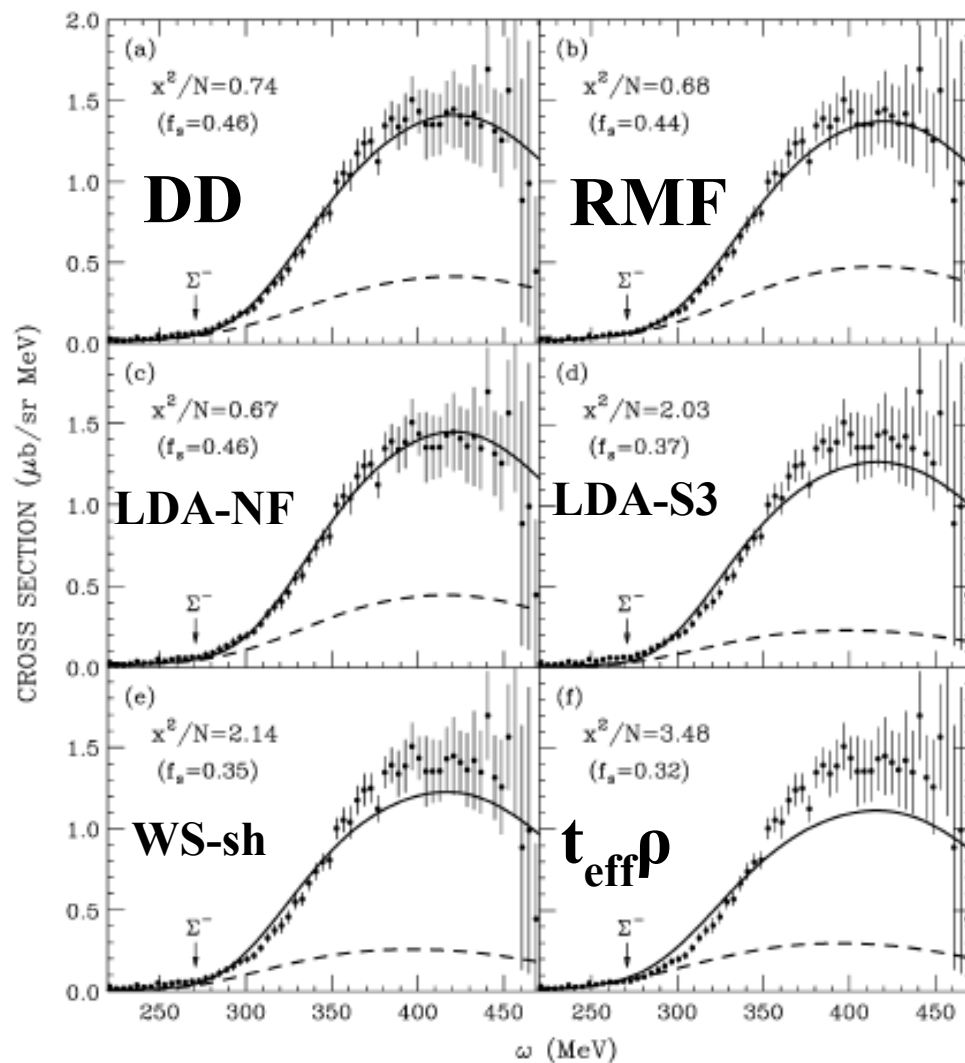
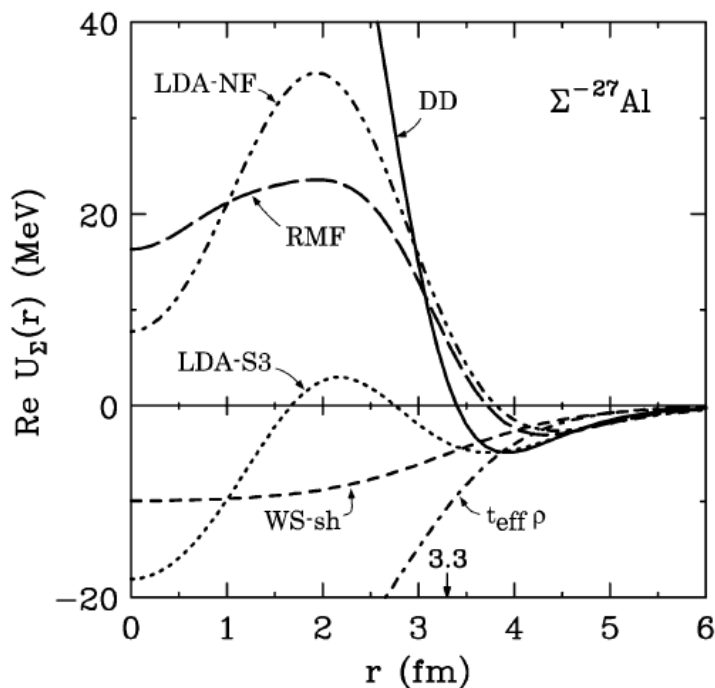


Lombardo, DCEN slide

RMFへのハイペロンの導入(2)

■クォーク数カウンティングに従うと、
 $U_{\Sigma} \sim U_{\Lambda} \sim 2/3 U_N \sim -30 \text{ MeV}$
 のはず。

■ Σ バリオン生成反応データを
 分析すると、 $U_{\Sigma} > 0$ (斥力)



Harada, Hirabayashi ('05)

$SU(3)_f$ “violating” coupling

■ Naïve RMF assumption = BM coupling follows $SU(3)_f$

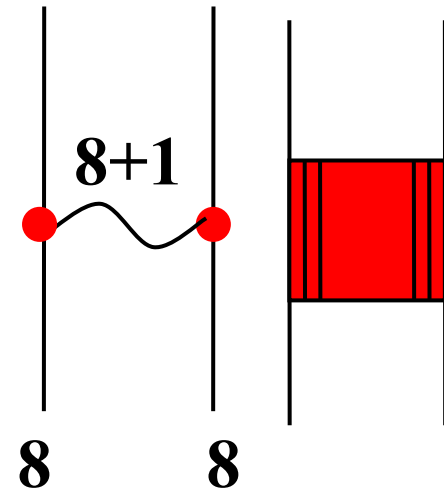
■ Short range BB interaction comes from quark Pauli blocking + one-gluon exch.

Oka, Yazaki; Faessler et al.; Fujiwara et al.; HAL QCD collab.

■ Short-range BB repulsion is sensitive to (S,T)

in the s-channel. When we include those interactions in the 8 bosonized form, BM coupling violates $SU(3)_f$.

$$V = \sum_{\alpha,\beta} (\bar{\psi}\bar{\psi})_{\alpha} \Gamma_{\alpha\beta} (\psi\psi)_{\beta} \rightarrow -\frac{1}{2} \sum_{\alpha} m_{\alpha}^2 \omega_{\alpha}^2 + \sum_{\alpha} g_{\alpha} \omega_{\alpha} (\psi\Gamma\psi)_{\alpha}$$



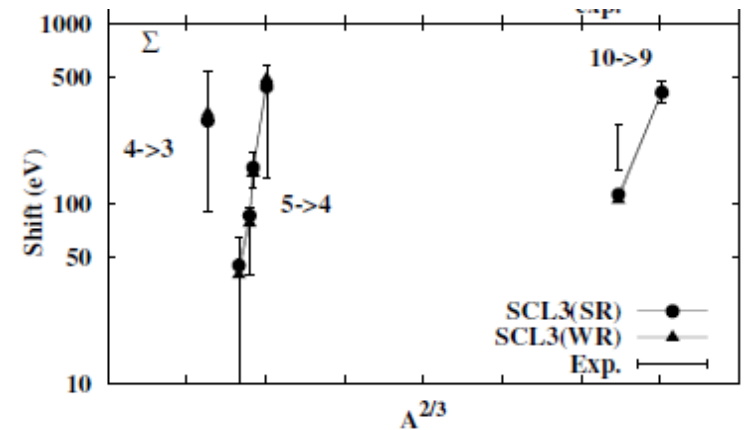
E.g., Σ atomic shift

$\rightarrow g_{\sigma\Sigma} \sim g_{\sigma\Sigma} (SU(3)) \times (0.2-0.3)$

■ Finite size of baryons would lead to

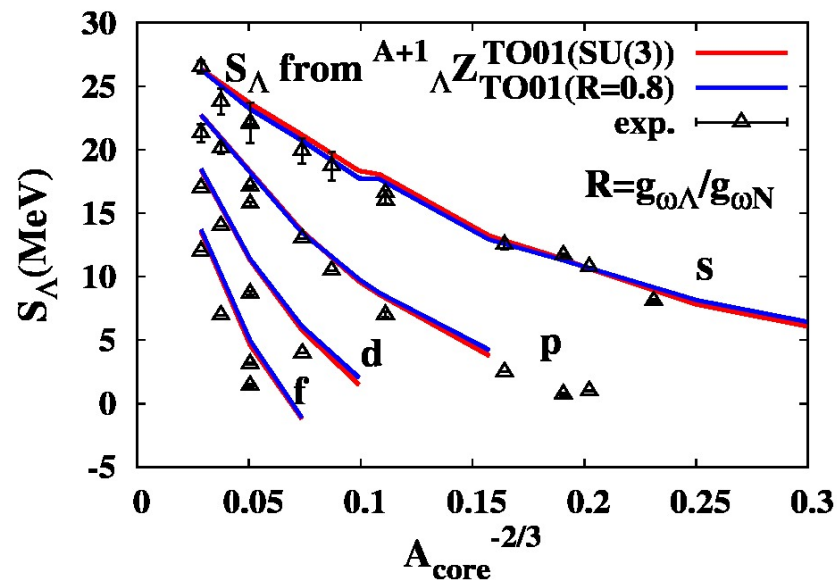
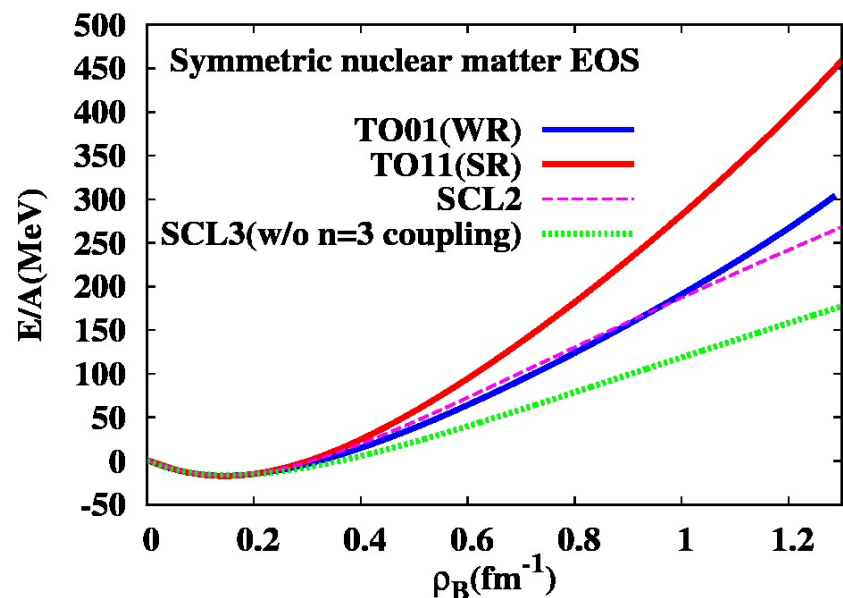
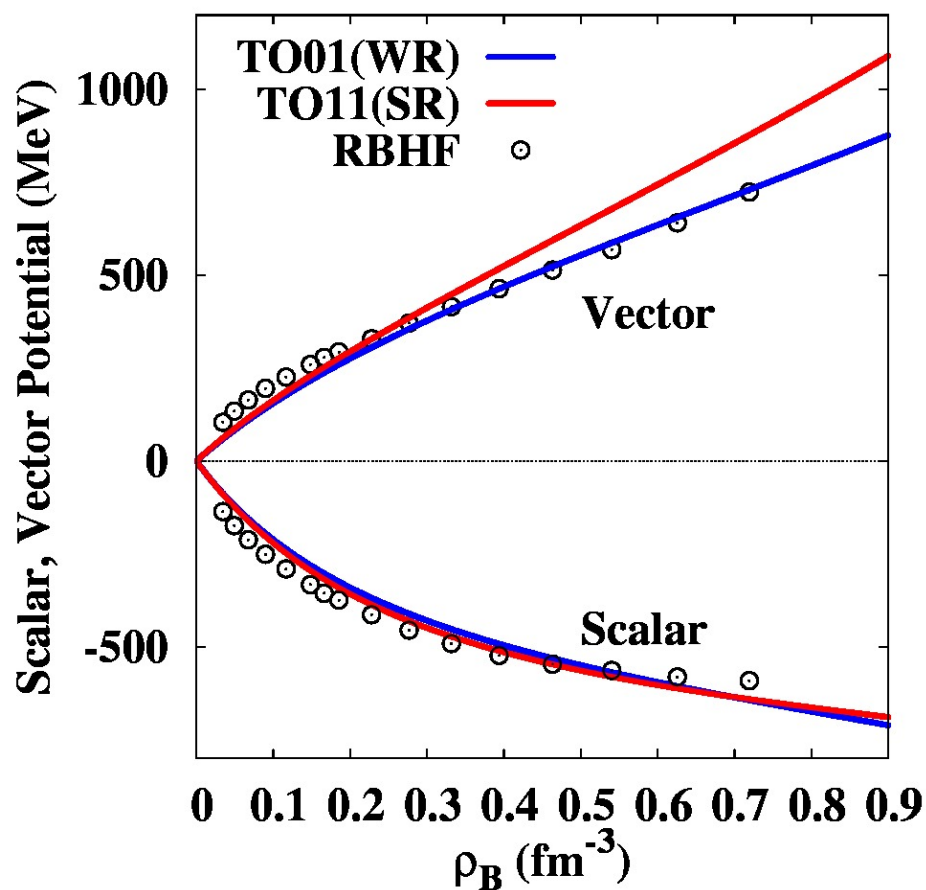
excluded volume effects $\rightarrow \mu - \nu P$

(flavor singlet vector-like effects)



Tsubakihara et al., (2010)

■ Nucleon vector potential $U_v(\rho)$
 in DBHF: Non-linear behavior in ρ_B .
 → EOS becomes gradually stiffer



RMF with 3BF + $SU(3)_f$ “violation”

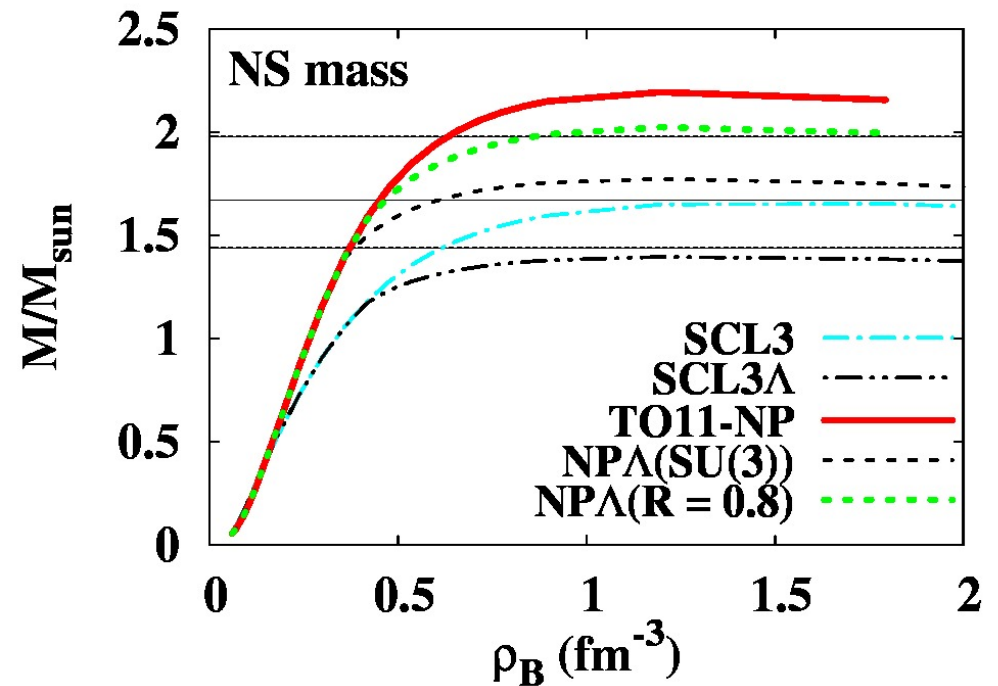
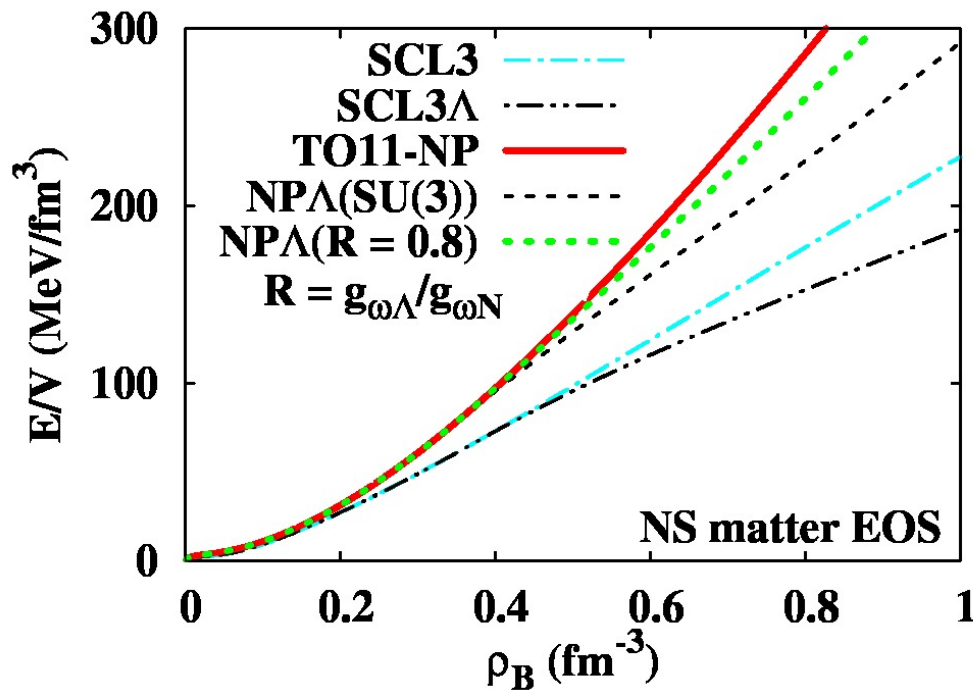
Tsubakihara et al., in prep.

Two types of modification

3-baryon repulsion \rightarrow EOS becomes stiff gradually at high density.
(Fitting meson mass (E325) and U_v in RBHF)

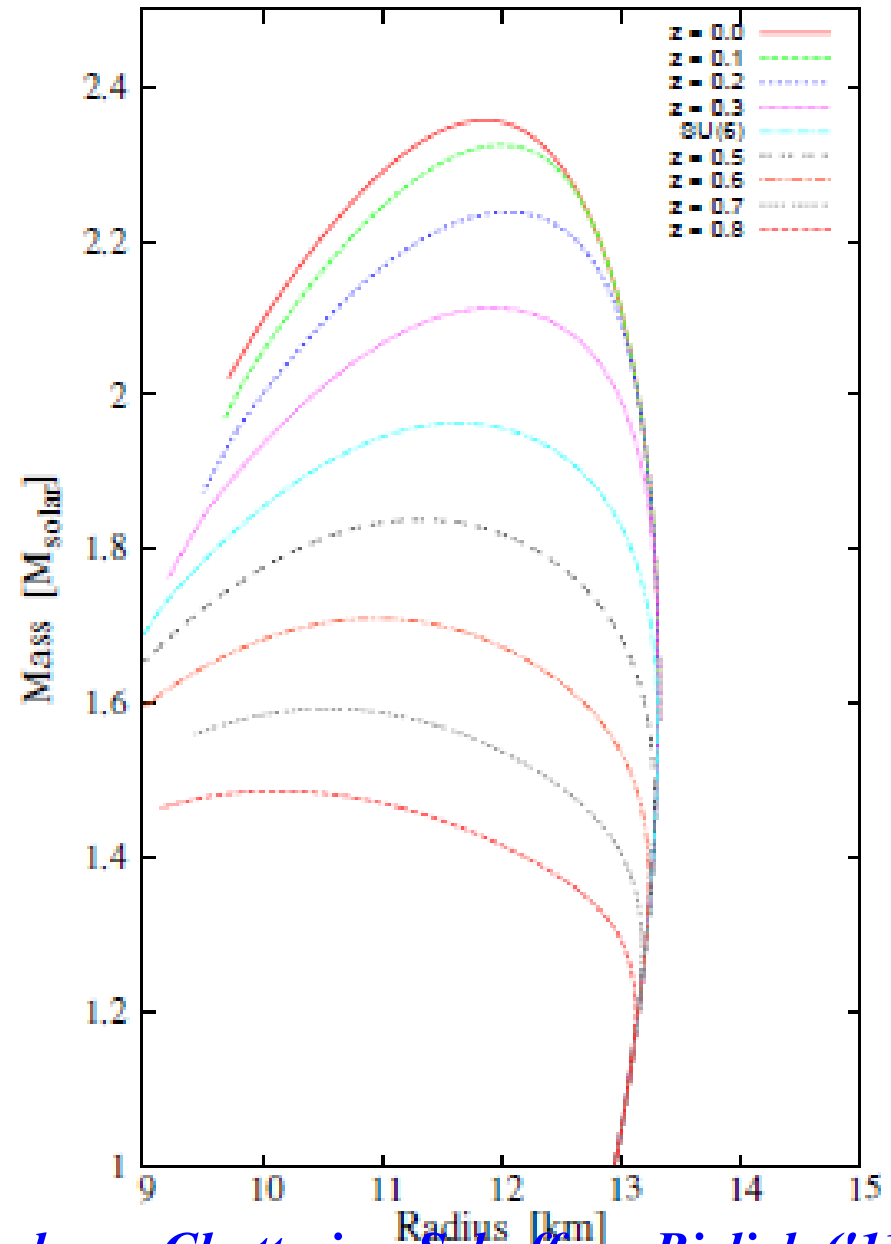
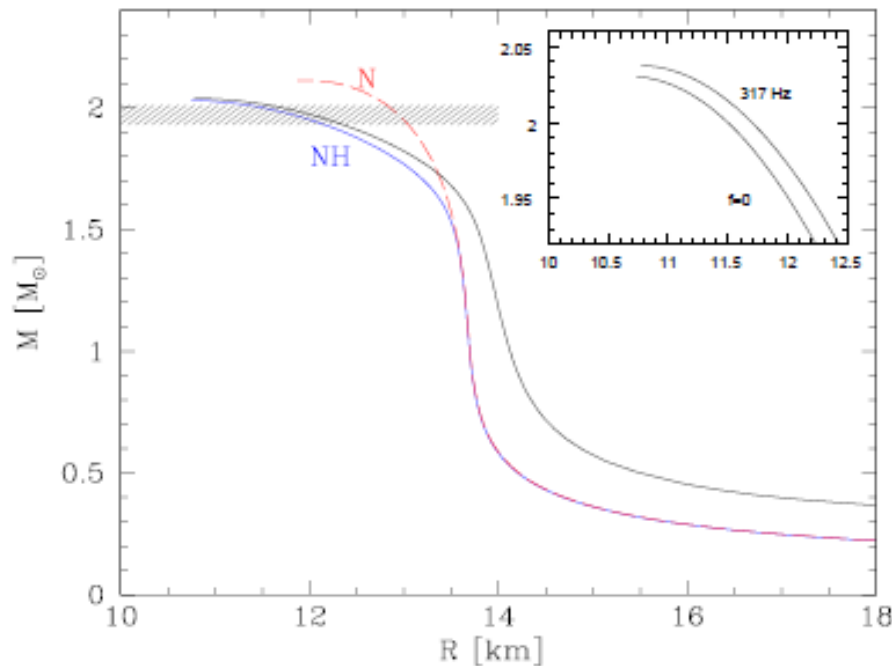
$R = g_{\omega\Lambda} / g_{\omega N} \sim 0.8$ ($> 2/3$ (SU(3)))

$\rightarrow M_{\max} \sim 2.02 M_{\odot}$ with hyperons ($\sim 1.4 M_{\odot}$ w/o 3BF, violation)



他の解決方法

- Hidden strange meson の4次
- $\zeta^4, \zeta^2(\omega^2 + \rho^2)$ を導入
- Λ 間の引力を小さく見積もる
- SU(6)関係式は保持
- Vector 結合にSU(6)の破れを導入



Bednarek, Haensel et al. ('11)

Weisenborn, Chatterjee, Schaffner-Bielich ('11)

Swept Region of Phase Diagram during BH formation

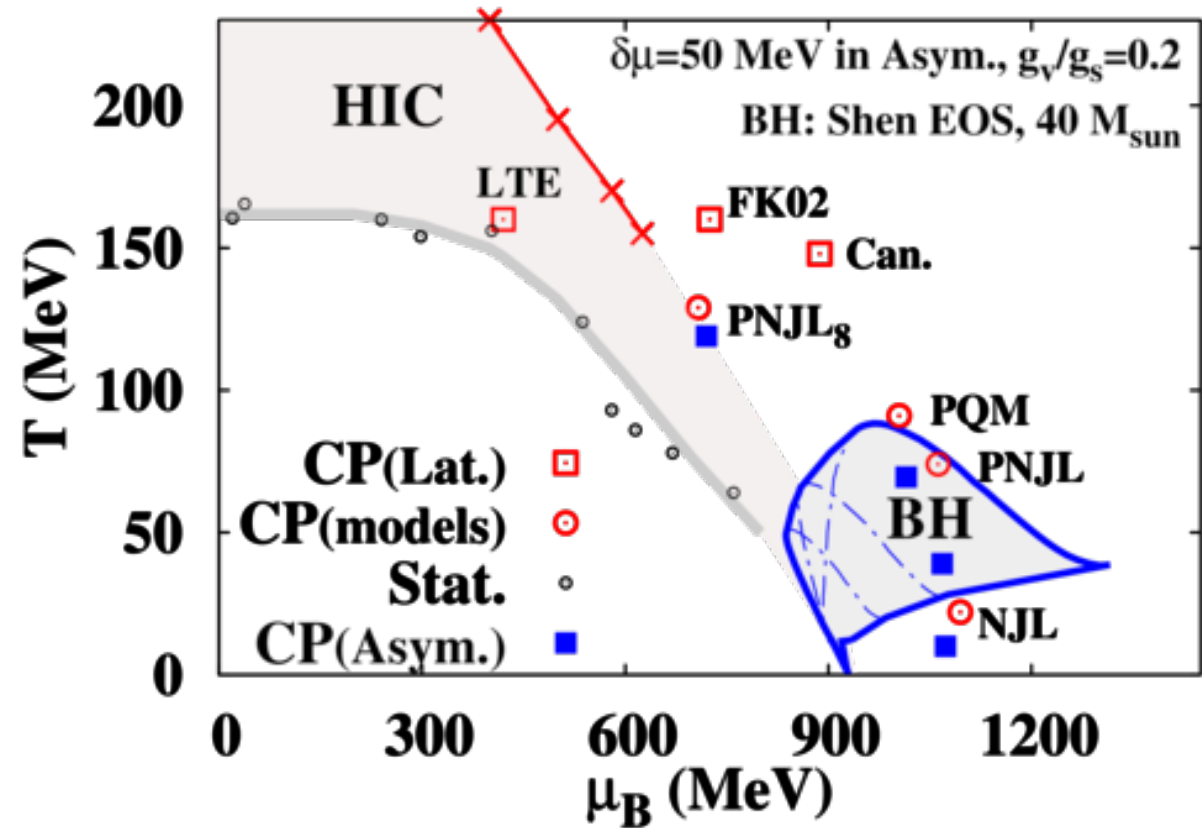
■ CP location
in Symmetric Matter

● Lattice QCD
 $\mu_{CP} = (400-900)$ MeV

● Effective models
 $\mu_{CP} = (700-1050)$ MeV

■ CP in Asymmetric Matter
(E.g. $\delta\mu = 50$ MeV)

● T_{CP} decreases at finite $\delta\mu$.
→ Accessible (T, μ_B) region
during BH formation



M.A.Stephanov, Prog.Theor.Phys.Suppl.153 ('04)139;
FK02:Z. Fodor, S.D.Katz, JHEP 0203 (2002) 014
LTE:S. Ejiri et al., Prog.Theor.Phys.Suppl. 153 (2004) 118;
Can: S. Ejiri, PRD78 (2008) 074507
Stat.:A. Andronic et al., NPA 772('06)167

ハイペロン-ハイペロン相互作用

■中性子星のハイペロン

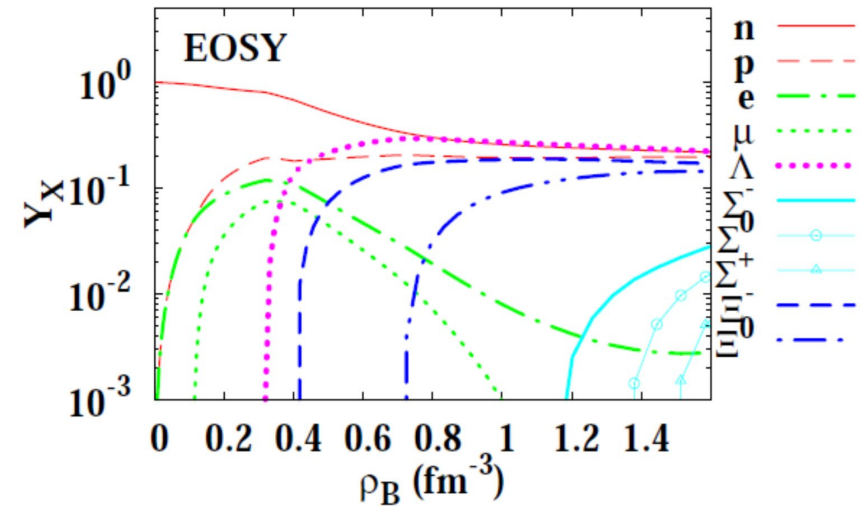
●コア領域での化学ポテンシャル

$$\mu_B \sim 1650 \text{ MeV} \gg M_\Lambda \text{ (Shen EOS)}$$

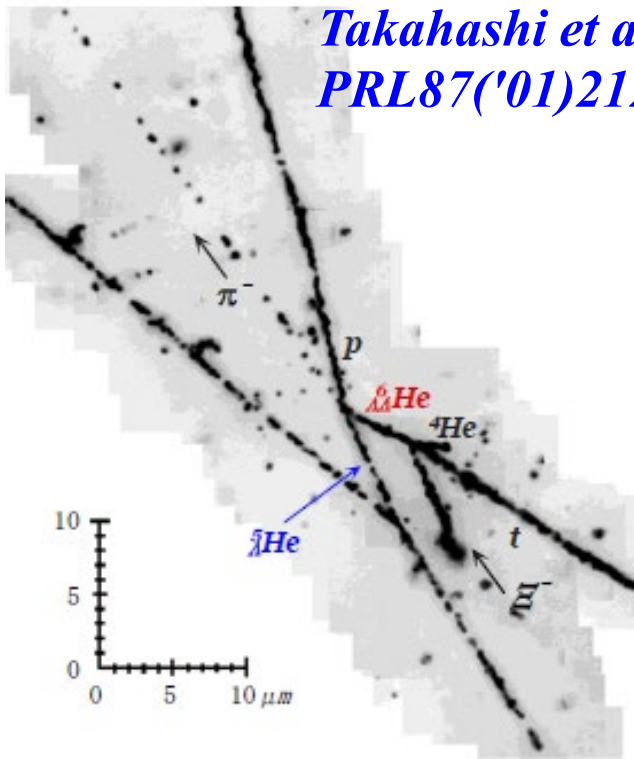
→ ハイペロンが出てくるのが自然

● $\Lambda\Lambda$ 相互作用は？

... ダブル Λ ハイパー核、 $\Lambda\Lambda$ corr.

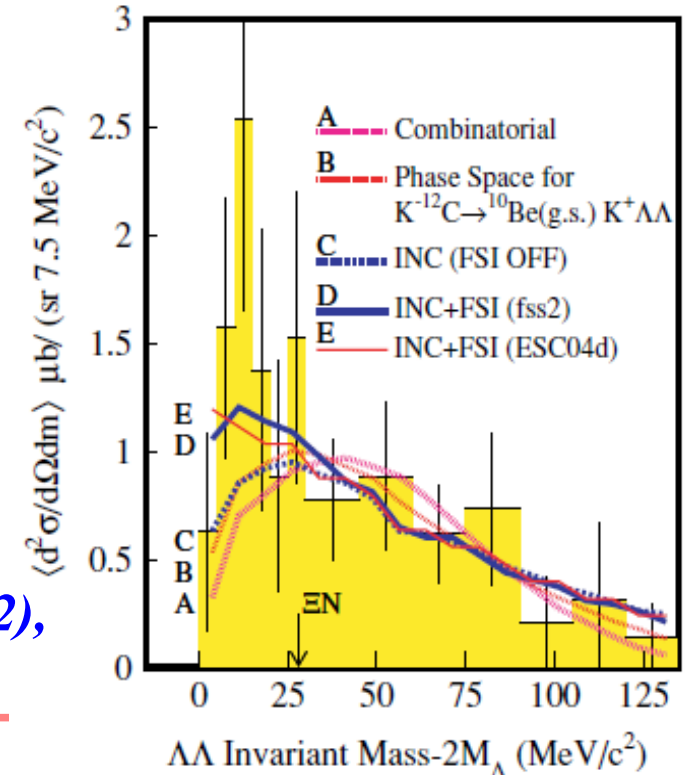


Ishizuka, AO, Tsubakihara, Sumiyoshi, Yamada, JPG35('08)085201



Takahashi et al. (KEK-E373), PRL87('01)212502

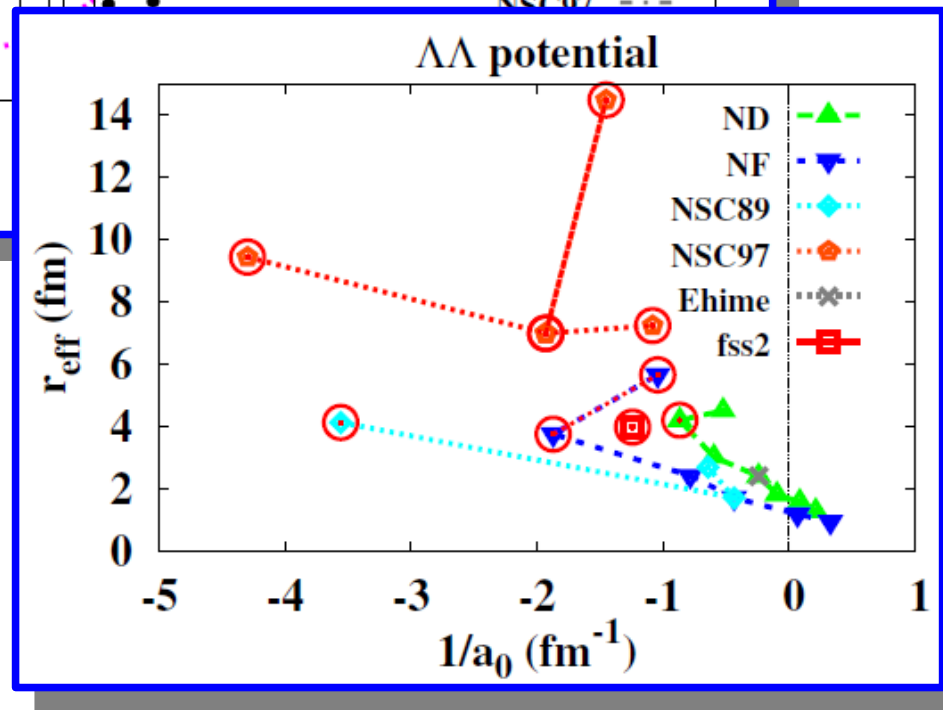
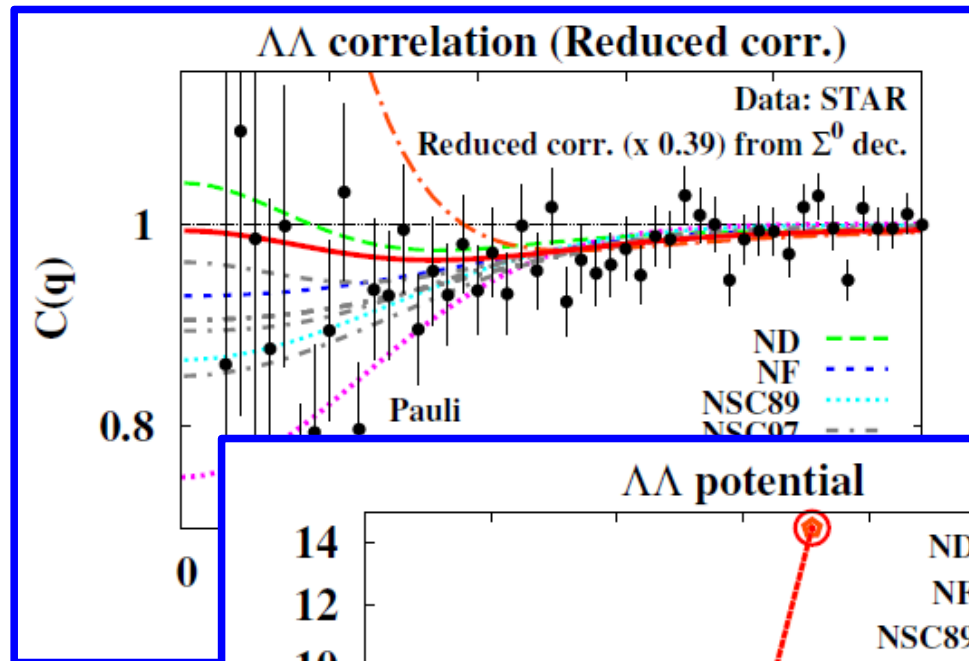
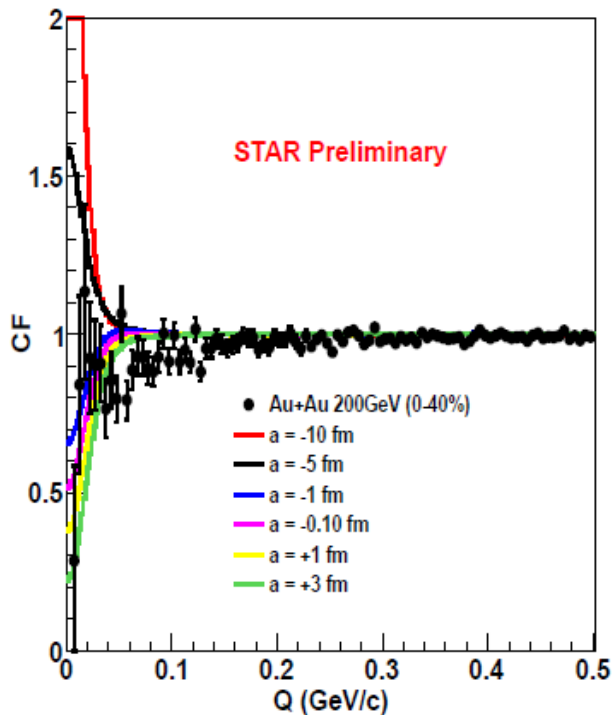
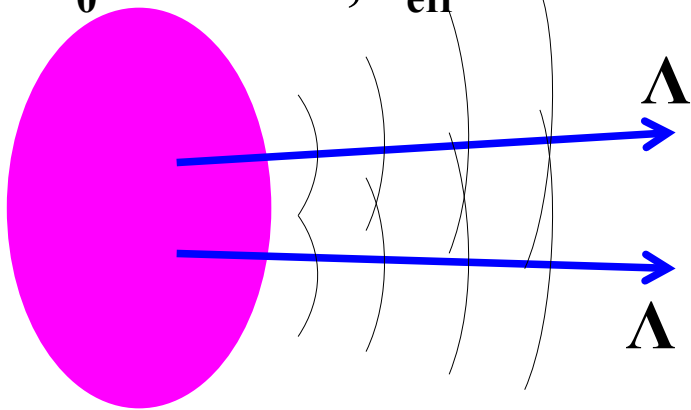
C.J. Yoon et al., (KEK-E522), PRC75 (2007) 022201(R)



Λ Λ correlation from heavy-ion collisions

■ RHIC-STAR measured $\Lambda\Lambda$ correlation !

→ $1/a_0 < -1 \text{ fm}^{-1}$, $r_{\text{eff}} > 3 \text{ fm}$



Shah et al. (STAR collab.), arXiv:1112.0590

AO, Furumoto, HHI workshop @ BNL